

เครื่องรับวิทยุเอฟเอ็มที่สามารถถอดรหัสอาร์ดีเอสได้  
FM RECEIVER RDS SYSTEM



โดย  
นายพิชัย งามพริ้ง  
นายพูนทวี สังข์จันทร์

เลขหมู่.....  
เลขทะเบียน..... 42171  
วัน, เดือน, ปี 14 พ.ค. 2545

b.....  
i.....

ปริญญาานิพนธ์นี้เป็นส่วนหนึ่งของการศึกษาตามหลักสูตรปริญญาอุตสาหกรรมศาสตรบัณฑิต  
สาขาเทคโนโลยีโทรคมนาคม ภาควิชาเทคนิคอุตสาหกรรม  
คณะวิศวกรรมศาสตร์  
สถาบันเทคโนโลยีพระจอมเกล้าเจ้าคุณทหารลาดกระบัง  
ปีการศึกษา 2543

เอกสารนี้เป็นเอกสารที่สงวนไว้สำหรับการใช้งานเพื่อการศึกษาเท่านั้น ไม่อนุญาตให้นำไปใช้ประโยชน์ด้านการค้า  
ไม่ว่ากรณีใดๆ ทั้งสิ้น อีกทั้งห้ามมิให้ตัดแปลงเนื้อหา และต้องอ้างอิงถึงเจ้าของเอกสารทุกครั้งที่มีการนำไปใช้

หัวข้อปริญญานิพนธ์	เครื่องรับเอฟเอ็มที่สามารถถอดรหัสอาร์ซีเอสได้		
ชื่อนักศึกษา	นายพิชัย	งามพริ้ง	รหัสประจำตัว 42015609
	นายพูนทวี	สังขะจันทร์	รหัสประจำตัว 42015610
อาจารย์ที่ปรึกษา	อ. กฤดากร กล่อมการ		
ระดับการศึกษา	ปริญญาอุตสาหกรรมศาสตรบัณฑิต		
	สาขาวิชาเทคโนโลยีโทรคมนาคม		
ภาควิชา	เทคนิคอุตสาหกรรม		
ปีการศึกษา	2543		

คณะวิศวกรรมศาสตร์ สถาบันเทคโนโลยีพระจอมเกล้าเจ้าคุณทหารลาดกระบัง อนุมัติให้  
ปริญญานิพนธ์ฉบับนี้เป็นส่วนหนึ่งของการศึกษาตามหลักสูตรปริญญาอุตสาหกรรมศาสตรบัณฑิต

หัวหน้าภาควิชาเทคนิคอุตสาหกรรม

(ผศ. อุทัย ศรีธีระวิโรจน์)

คณะกรรมการสอบปริญญานิพนธ์

อ.ที่ปรึกษา

(อ. กฤดากร กล่อมการ)

กรรมการ

( )

กรรมการ

( )

กรรมการ

( )

กรรมการ

( )

ลิขสิทธิ์ของคณะวิศวกรรมศาสตร์ สถาบันเทคโนโลยีพระจอมเกล้าเจ้าคุณทหารลาดกระบัง

เอกสารนี้เป็นเอกสารที่สงวนไว้สำหรับการใช้งานเพื่อการศึกษาเท่านั้น ไม่อนุญาตให้นำไปใช้ประโยชน์ด้านการค้า  
ไม่ว่ากรณีใดๆ ทั้งสิ้น อีกทั้งห้ามมิให้ตัดแปลงเนื้อหา และต้องอ้างอิงถึงเจ้าของเอกสารทุกครั้งที่มีการนำไปใช้

Thesis title                    FM receiver RDS system

Student                         Mr. Pichai      Ngampring

                                       Mr. Poontawee   Sungkhachan

Thesis advisor                 Mr. Kitdakorn   Klomkarn

Level of study                 Bachelor degree of industrial technology telecommunication

Department                    Industrial Technology

Academic year                 2000

Accepted by the faculty of engineering, King mongkul's institute of technology  
ladkrabang in partial fulfillment of the requirements for the bachelor's degree

Project report committee

Chairman

(Asst.Prof.Uthai   Sritheeravirojana)

Advisor

(Mr. Kitdakorn   Klomkarn)

Member

( \_\_\_\_\_ )

Member

( \_\_\_\_\_ )

Member

( \_\_\_\_\_ )

Member

( \_\_\_\_\_ )

เอกสารนี้เป็นเอกสารที่สงวนไว้สำหรับการใช้งานเพื่อการศึกษาเท่านั้น ไม่อนุญาตให้นำไปใช้ประโยชน์ด้านการค้า  
ไม่ว่ากรณีใดๆ ทั้งสิ้น อีกทั้งห้ามมิให้ตัดแปลงเนื้อหา และต้องอ้างอิงถึงเจ้าของเอกสารทุกครั้งที่มีการนำไปใช้

## เครื่องรับวิทยุเอฟ เอ็ม ที่สามารถถอดรหัสอาร์ ดี เอส ได้

โดย นายพิชัย งามพริ้ง  
นายพูนทวี สังขะจันทร์

อาจารย์ที่ปรึกษา อ. กฤดากร กลุ่มการ

ปีการศึกษา 2543

บทคัดย่อ

ปฏิญานិพนธ์ฉบับนี้ นำเสนอระบบอาร์ดีเอส รวมทั้งการออกแบบ การทดลองและ การสร้างเครื่องรับของระบบนี้ โดยที่ข้อมูลที่รับเข้ามาจะถูกประมวลผลด้วยไมโคร คอนโทรลเลอร์ที่ได้รับมาบนจอขนาดเล็ก

## FM RECEIVER RDS SYSTEM

**BY** Mr.Pichai Ngampring  
Mr.Poontawee SungKhachan

**ADVISOR** Mr.Kitdakron Klomkarn

**YEAR** 2000

---

### Abstract

This thesis presents the RDS system designing proposed method. The receiver is also built the received data has processed by a microcontroller , which can be displayed on mini monitor.



เอกสารนี้เป็นเอกสารที่สงวนไว้สำหรับการใช้งานเพื่อการศึกษาเท่านั้น ไม่อนุญาตให้นำไปใช้ประโยชน์ด้านการค้า  
ไม่ว่ากรณีใดๆ ทั้งสิ้น อีกทั้งห้ามมิให้ตัดแปลงเนื้อหา และต้องอ้างอิงถึงเจ้าของเอกสารทุกครั้งที่มีการนำไปใช้

## กิตติกรรมประกาศ

ปริญญานิพนธ์ฉบับนี้ได้จัดทำขึ้นเป็นผลสำเร็จ ทางคณะผู้จัดทำต้องขอขอบพระคุณ ท่านบูรพาจารย์ทั้งหลายท่านผู้เขียนเอกสารและตำราอ้างอิงต่างๆ โดยเฉพาะอาจารย์ที่ปรึกษา อ.กฤดากร กล่อมการ เป็นอย่างสูงที่ช่วยกรุณาถ่ายทอดความรู้ดูแลและเอาใจใส่กระผมเป็นอย่างดี จนทำให้โครงการชิ้นนี้สำเร็จลุล่วงไปได้ด้วยดี และขอบพระคุณบิดา - มารดา ที่เฝ้าตรากตรำทำงานส่งเสียให้พวกเราเรียนจนสำเร็จ ขอขอบคุณสำหรับกำลังใจจากเพื่อนๆ ที่ช่วยเหลือและคอยให้กำลังใจมาโดยตลอด ทั้งนี้คณะผู้จัดทำต้องขอขอบพระคุณภาควิชาเทคนิคอุตสาหกรรม คณะวิศวกรรมศาสตร์ สถาบันเทคโนโลยีพระจอมเกล้าเจ้าคุณทหารลาดกระบังที่ให้โอกาสคณะผู้จัดทำได้มีโอกาสเข้ามาศึกษา ณ สถาบันแห่งนี้

สุดท้ายนี้ทางคณะผู้จัดทำ ขอขอบพระคุณท่านอาจารย์ทุกท่านที่กรุณาประสิทธิ์ประสาทวิชาความรู้ รวมถึงแนวทางความคิดและแนวทางปฏิบัติให้แก่คณะผู้จัดทำ จนทำให้ปริญญานิพนธ์ฉบับนี้สำเร็จผลตามเป้าหมายทุกประการ

นายพิชัย งามพริ้ง  
นายพูนทวี สังขะจันทร์

เอกสารนี้เป็นเอกสารที่สงวนไว้สำหรับการใช้งานเพื่อการศึกษาเท่านั้น ไม่อนุญาตให้นำไปใช้ประโยชน์ด้านการค้า ไม่ว่าจะกรณีใดๆ ทั้งสิ้น อีกทั้งห้ามมิให้ตัดแปลงเนื้อหา และต้องอ้างอิงถึงเจ้าของเอกสารทุกครั้งที่มีการนำไปใช้

## สารบัญ

เรื่อง	หน้า
บทคัดย่อภาษาไทย	ก
บทคัดย่อภาษาอังกฤษ	ข
กิตติกรรมประกาศ	ค
สารบัญ	ง
สารบัญภาพ	ฉ
บทที่1 บทนำ	1
1.1 จุดมุ่งหมายของโครงการ	1
1.2 กล่าวนำ	1
บทที่2 ทฤษฎีและหลักการ	3
2.1 Radio data system(RDS)	3
2.1.1 คลื่นพาห่อย่อยของข้อมูล(Data sub-carrier)	3
2.1.2 สัญญาณข้อมูล(Data signal)	4
2.2 หลักการเครื่องรับวิทยุ	6
2.2.1 การเลือกความถี่ IF และออสซิลเลเตอร์	7
2.2.2 การตัดสัญญาณอิมเมจ	8
2.2.3 ความไวในการกำจัดช่องข้างเคียง	9
2.2.4 การควบคุมขยายอัตโนมัติ	11
2.3 การมอดูเลชั่นทางความถี่	13
2.3.2 เอฟเอ็มแบนด์แคบ	15
2.3.3 เอฟเอ็มแบนด์กว้าง	19
2.3.4 การสร้างสัญญาณเอฟเอ็มแบนด์กว้าง	22
2.3.5 การดีมอดูเลตสัญญาณเอฟเอ็ม	26
2.3.6 การใช้วงจรพีเอ็มพีซีเอสและวงจรถิเอ็มพีซีเอสในระบบเอฟเอ็ม	29
2.4 รายละเอียดโดยสังเขปของไอซี SAA6579	34
2.4.1 ส่วนของฟิลเตอร์(Filter part)	34
2.4.2 ส่วนของดิจิทัล(Digital part)	34
2.4.3 ส่วนของเวลา	35

เอกสารนี้เป็นเอกสารที่สงวนไว้สำหรับการใช้งานเพื่อการศึกษาเท่านั้น ไม่อนุญาตให้นำไปใช้ประโยชน์ด้านการค้า ไม่ว่าจะกรณีใดๆ ทั้งสิ้น อีกทั้งห้ามมิให้ตัดแปลงเนื้อหา และต้องอ้างอิงถึงเจ้าของเอกสารทุกครั้งที่มีการนำไปใช้

## สารบัญ(ต่อ)

เรื่อง	หน้า
บทที่3 หลักการและการออกแบบ	36
3.1 แนวคิดและที่มา	36
3.2 ขั้นตอนการออกแบบ	36
3.2.1 ชุดจำลองข้อมูล	37
3.2.2 ภาครับ	38
บทที่4 การทดลอง	39
4.1 ขั้นตอนการทดลอง	39
4.1.1 ชุดจำลองข้อมูล	40
4.1.2 วงจรคีมอคูเลเตอร์	41
4.1.3 ภาคประมวลผลและแสดงข้อมูล	42
บทที่5 บทสรุปและวิจารณ์	43
บรรณานุกรม	ช
ภาคผนวก	

เอกสารนี้เป็นเอกสารที่สงวนไว้สำหรับการใช้งานเพื่อการศึกษาเท่านั้น ไม่อนุญาตให้นำไปใช้ประโยชน์ด้านการค้า ไม่ว่าจะกรณีใดๆ ทั้งสิ้น อีกทั้งห้ามมิให้ตัดแปลงเนื้อหา และต้องอ้างอิงถึงเจ้าของเอกสารทุกครั้งที่มีการนำไปใช้

สารบัญภาพ

รูปที่	หน้า
รูปที่ 2.1.1 แสดงสเปกตรัมของสัญญาณคอม โพลิต ออคิโอและสัญญาณ RDS	3
รูปที่ 2.1.2 สเปกตรัมของ Bi-phase code	4
รูปที่ 2.1.3 ชุดเข้ารหัสของระบบ RDS	5
รูปที่ 2.2.1 (a) เครื่องรับวิทยุซูเปอร์เฮเทอโรโรไดน์ (b) สัญญาณสเปกตรัมของเครื่องรับ	6
รูปที่ 2.2.2 (a) วงจรจูนแบบขนาน (b) การตัดความถี่อิมเมจ	9
รูปที่ 2.2.3 ความไวในการกำจัดช่องข้างเคียง	10
รูปที่ 2.2.4 การควบคุมการขยายอัตโนมัติ	12
รูปที่ 2.3.1 การสร้างสัญญาณเอฟเอ็มและพีเอ็ม โดยอาศัยวงจรมอดูเลเตอร์	15
รูปที่ 2.3.3 แผนผังของระบบการสร้างสัญญาณเอฟเอ็มและพีเอ็มชนิดแบนด์แคป	19
รูปที่ 2.3.4 ระบบการผลิตสัญญาณเอฟเอ็ม โดยอ้อมตามวิธีการอาร์มสตรอง	23
รูปที่ 2.3.5 แผนผังของวงจรเพิ่มความถี่และวงจรย้ายความถี่	25
รูปที่ 2.3.6 การคิมออคเลตสัญญาณเอฟเอ็ม	28
รูปที่ 2.3.7 ค่าพีเอสดีของสัญญาณรบกวนในระบบเอฟเอ็มก่อนและหลัง การใช้วงจรพีเอ็มฟาซีต-ดีเอ็มฟาซีต	29
รูปที่ 2.3.8 พีเอ็มฟาซีต-ดีเอ็มฟาซีตที่ใช้ RC และภาพวาดของ โบ	30
รูปที่ 2.3.9 การเขียนเวกเตอร์หมุนและเฟเซอร์แสดงผลที่เกิดจากการแทรกสอด ของสัญญาณในระบบเอฟเอ็ม	32
รูปที่ 3.1 (ก) บล็อกไดอะแกรมภาคส่ง (ข) บล็อกไดอะแกรมภาครับ	36
รูปที่ 3.2 บล็อกไดอะแกรมของชุดจำลองข้อมูล	37
รูปที่ 3.3 โพลีชาร์ตการประมวลผลข้อมูล	38
รูปที่ 4.1 รูปสัญญาณจากชุดจำลองข้อมูล(CH1)และสัญญาณนาฬิกา(CH2)	39
รูปที่ 4.2 รูปสัญญาณนาฬิกาของเครื่องเข้ารหัส(CH1)และสัญญาณจากขา16 ของไอซีSAA6579	40

เอกสารนี้เป็นเอกสารที่สงวนไว้สำหรับการใช้งานเพื่อการศึกษาเท่านั้น ไม่อนุญาตให้นำไปใช้ประโยชน์ด้านการค้า  
ไม่ว่ากรณีใดๆ ทั้งสิ้น อีกทั้งห้ามมิให้ตัดแปลงเนื้อหา และต้องอ้างอิงถึงเจ้าของเอกสารทุกครั้งที่มีการนำไปใช้

## สารบัญภาพ(ต่อ)

รูปที่

หน้า

รูปที่ 4.3 รูปสัญลักษณ์ของเอทพุทชุดจำลองข้อมูล(CH1)และสัญลักษณ์จากขา2  
ของไอซี SAA6579

41



เอกสารนี้เป็นเอกสารที่สงวนไว้สำหรับการใช้งานเพื่อการศึกษาเท่านั้น ไม่อนุญาตให้นำไปใช้ประโยชน์ด้านการค้า  
ไม่ว่ากรณีใดๆ ทั้งสิ้น อีกทั้งห้ามมิให้ตัดแปลงเนื้อหา และต้องอ้างอิงถึงเจ้าของเอกสารทุกครั้งที่มีการนำไปใช้

# บทที่ 1

## บทนำ

### 1.1 จุดมุ่งหมายของโครงการ

เพื่อศึกษาระบบ RDS (Radio Data System) และสร้างเครื่องรับวิทยุเอฟเอ็ม(FM)ระบบ RDS ได้

### 1.2 กล่าวนำ

ความบันเทิงและการศึกษาคือจุดประสงค์หลักขององค์กรที่แพร่ภาพและเสียงมีอยู่หลายระบบที่สถานีแพร่ภาพใช้ในการส่ง เช่น ในกรณีของสัญญาณโทรทัศน์จะทำการสำรองช่องเวลาใช้งานอย่างอื่นด้วยเช่น เทเลเท็กซ์ ( Teletext ) โดยที่ไม่รบกวนสัญญาณภาพหรือเสียงเลย

ในการกระจายเสียงสัญญาณวิทยุไม่ได้มีการสำรองช่องเวลานี้ไว้ดังนั้นหากจะเพิ่มเข้าไปจะต้องเพิ่มคลื่นพาห่อย่อย (Sub-Carrier) เข้าไปซึ่งสามารถเพิ่มได้ทั้งทางด้านต่ำกว่าหรือสูงกว่าสัญญาณเสียงก็ได้ ข้อมูลที่ส่งไปจะมีอัตราที่จำกัดเนื่องจากการมอดดูเลตทางเฟส (Phase Modulation) ของคลื่นพาห่อย่อย เช่นระบบ “Teleswitching” ซึ่งใช้ในสหราชอาณาจักร

เครื่องส่งที่มีการมอดดูเลตทางความถี่ (FM) อย่างเช่นที่ 90 kHz แต่ต้องการย่านความถี่แบบสเตอริโอ (Stereo) ที่ 53 kHz นั่นคือสำหรับช่องของข้อมูลข่าวสารใช้คลื่นพาห่อย่อยที่สูงกว่า 53 kHz อย่างไรก็ตามการพิจารณาการใช้ช่องสัญญาณร่วมกันจะต้องลดการรบกวนระหว่างช่องสัญญาณให้น้อยที่สุดจนเป็นที่ยอมรับได้

หลายปีที่ผ่านมาในเยอรมันนี้ได้มีการให้บริการข้อมูลข่าวสาร โดยมีเงื่อนไขในการเคลื่อนที่เข้ามาเกี่ยวข้องกับข้อมูลข่าวสารโดยการใช้งานนี้จะทำการกดคลื่นพาห่อย่อย (Suppressed Carrier) ในความถี่ 57 kHz (สามเท่าของสัญญาณนำร่อง (Pilot tone) ) การบริการนี้เรียกว่า Autofahrer Rundfunk Information (ARI) ซึ่งใช้งานได้ดีในการสื่อสารข้อมูลบนรถยนต์ที่มีเครื่องรับที่ได้ติดตั้งดีโคเดอร์ (Decoder)เอาไว้

ในช่วงปี 1974 ถึง 1982 ได้มีการจัดตั้งองค์กร European Broadcasting Union (EBU) เป็นการรวมกันขององค์กรกระจายเสียงหลายองค์กรด้วยกันจุดประสงค์เพื่อความแน่นอนของ

เอกสารนี้เป็นเอกสารที่สงวนไว้สำหรับการใช้งานเพื่อการศึกษาเท่านั้น ไม่อนุญาตให้นำไปใช้ประโยชน์ด้านการค้าไม่ว่ากรณีใดๆ ทั้งสิ้น อีกทั้งห้ามมิให้ตัดแปลงเนื้อหา และต้องอ้างอิงถึงเจ้าของเอกสารทุกครั้งที่มีการนำไปใช้

ระบบส่งและมีคลื่นพาห်บ่อยที่หมาะสมตลอดทั้งย่านความถี่ของการแพร่กระจาย (ในย่านความถี่ VHF-FM)

องค์กรนี้ได้ทำการออกแบบและทดสอบระบบจนเป็นที่ยอมรับและออกมาเผยแพร่ในเอกสารที่ชื่อว่า Tech. Specification 3244-E หรือที่รู้จักกันในชื่อ Radio Data System (RDS) โดยมี CCIR รับรองและในปัจจุบันได้ทำการเผยแพร่เอกสารทางเทคนิคออกมา (Technical Document 3260) ในขณะที่กำลังพัฒนาระบบนี้อยู่จากเอกสารที่ EBU ได้เผยแพร่ออกมาได้กำหนดรูปร่างของข้อมูลในระบบ RDS ในการส่งซึ่งมีการใช้งานที่หลากหลายดังนั้นการสร้างเครื่องรับจะต้องสร้างให้เครื่องทำหน้าที่ได้อย่างถูกต้องการใช้งานหลักๆนั้นมีอยู่สี่อย่างดังนี้

- 1.) ระบบวิทยุบนรถยนต์(Car radio) ที่มีการจูนอัตโนมัติ(auto-tuning)
- 2.) เครื่องรับวิทยุตาม ที่อยู่อาศัยที่มีการแสดงชื่อสถานีและง่ายต่อการจูนคลื่นและมีเวลาแสดงค้วย
- 3.) วิทยุเพจจิ่ง(Radio paging) ที่มีการแสดงหมายเลขโทรศัพท์หรือข้อความสั้นๆได้
- 4.) ระบบเรดิโอเท็กซ์(Radio text system) ขอมให้แสดงข้อความหรือข่าวสารบนจอ LCD เล็กๆได้

ในการใช้งานสามชนิดแรกได้มีการผลิตเครื่องรับออกมามากแล้วซึ่งการผลิตเครื่องรับเหล่านี้ได้บรรจุดีโคเดอ์และชุดคำสั่งสำหรับการประมวลผลข้อมูลไว้ด้วยและนอกจากนี้ยังได้ติดตั้ง พอร์ต RS 232 เป็นเอาท์พุทที่สามารถเชื่อมต่อกับคอมพิวเตอร์ส่วนบุคคลได้ ในระบบโมเด็มสื่อสารทางเดียว และเพื่อการขยายการใช้งานในอนาคตจึงยังไม่มีการกำหนดจำนวนพื้นที่ใช้งานและเป็นาง่ายที่จะออกแบบรหัสที่ใช้ส่งตามรายละเอียดของเอกสาร ที่EBU ได้เผยแพร่ออกมา(3244-E)

ในโครงการนี้จะทำการออกแบบเครื่องรับเครื่องรับให้มีการใช้งานได้แบบสุดท้ายคือระบบ เรดิโอเท็กซ์ ที่สามารถแสดงข้อความหรือข่าวสารบนจอ LCD เล็กๆได้

เอกสารนี้เป็นเอกสารที่สงวนไว้สำหรับการใช้งานเพื่อการศึกษาเท่านั้น ไม่อนุญาตให้นำไปใช้ประโยชน์ด้านการค้าไม่ว่ากรณีใดๆ ทั้งสิ้น อีกทั้งห้ามมิให้ตัดแปลงเนื้อหา และต้องอ้างอิงถึงเจ้าของเอกสารทุกครั้งที่มีการนำไปใช้

## บทที่ 2

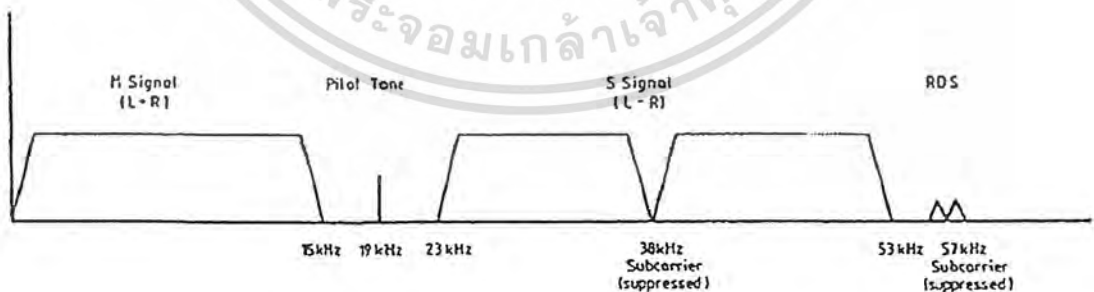
### ทฤษฎีและหลักการ

#### 2.1 Radio Data System (RDS)

##### 2.1.1 คลื่นพหุย่อยของข้อมูล (Data sub-carrier)

ความถี่ที่เลือกมาเป็นคลื่นพหุย่อยของข้อมูลคือ 57 kHz ซึ่งมีค่าเป็นสามเท่าของความถี่นำร่องและจะซิงโครไนซ์ (Synchronized) ในฮาโมนิกที่สามของการกระจายเสียงแบบสเตอริโอ ในขณะที่การกระจายเสียงแบบโมนอฟอนิก (Monophonic) จะไม่ซิงโครไนซ์แต่ย่านความถี่จะกว้างออกไป

คลื่นพหุย่อยนี้จะถูกมอดูเลตด้วย รหัสไบเฟส (Bi-phase Code) ซึ่งเป็นเหมือนกับข้อมูลชนิดไบนารี (Binary) โดยระบบจะใช้ Two-phase Phase-shift keying (PSK) ที่มีเฟสต่างกัน  $90^\circ$  กำลังงานของระบบทั้งหมดจะมาอยู่ที่คู่ของย่านด้านข้าง (Side band) โดยมีความถี่ของคลื่นพหุย่อยเป็นความถี่กลาง ซึ่งรูปร่างของสเปกตรัมนี้จะคล้ายคลึงกันกับระบบ ARI ของเยอรมันที่ใช้ โทน (Tone) ประมาณ 57kHz

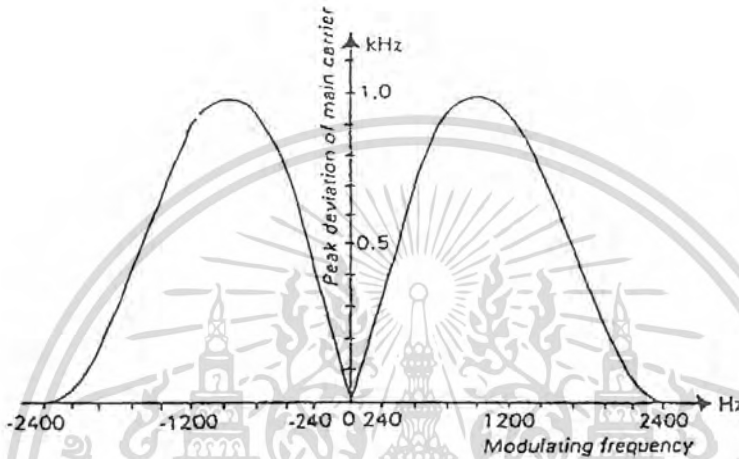


รูปที่ 2.1.1 แสดงสเปกตรัมของสัญญาณคอมโพสิต ออดิโอ (Composite audio)

และสัญญาณ RDS

เอกสารนี้เป็นเอกสารที่สงวนไว้สำหรับการใช้งานเพื่อการศึกษาเท่านั้น ไม่อนุญาตให้นำไปใช้ประโยชน์ด้านการค้า ไม่ว่าจะกรณีใดๆ ทั้งสิ้น อีกทั้งห้ามมิให้ตัดแปลงเนื้อหา และต้องอ้างอิงถึงเจ้าของเอกสารทุกครั้งที่มีการนำไปใช้

รูปที่ 2.1.1 แสดงสเปกตรัมของสัญญาณคอมโพสิต ออคิโอ (Composite audio) และสัญญาณ RDS ส่วนในรูปที่ 2.1.2แสดงรายละเอียดของสเปกตรัมขนาดของสัญญาณข้อมูลมีความสำคัญมากเพราะถ้ามีขนาดใหญ่ก็จะทำให้ง่ายต่อการรับแต่สัญญาณที่มีขนาดเพิ่มขึ้นเนื่องจากสัญญาณรบกวนนั้นไม่ควรจะเกิดขึ้นเกินกว่า 3% ของขนาดสัญญาณ



รูปที่ 2.1.2 สเปกตรัมของ Bi-phase code

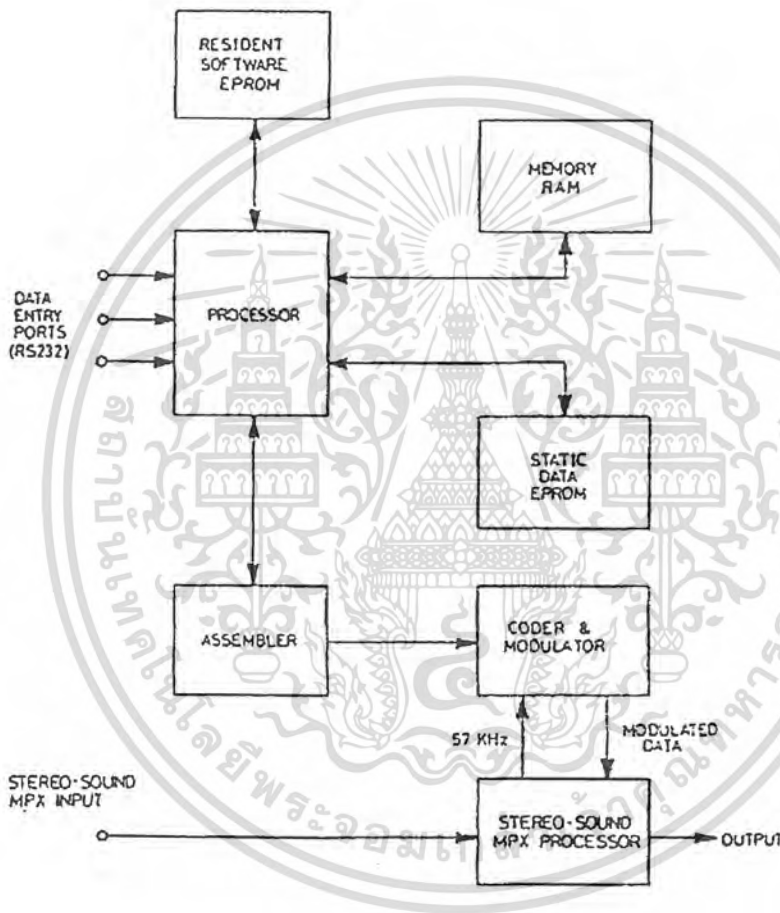
## 2.1.2 สัญญาณข้อมูล (Data Signal)

อัตราการส่งข้อมูลที่ทำการมอดูเลตด้วยคลื่นพาหีย่อยจะมีค่าเท่ากับ 1187.5 บิตต่อวินาที ซึ่งได้มาจากการหารความถี่ของคลื่นพาหีย่อยด้วย 48 และเพื่อความสะดวกในการออกแบบดีโค้ดเดอร์จึงกำหนดให้มีการถือค (Lock) สัญญาณทั้งหมดข้อมูลจะถูกแบ่งออกเป็นสองส่วนคือส่วนของข้อมูลคงที่ (Fixed data) ซึ่งเป็นส่วนที่ให้รายละเอียดเกี่ยวกับความถี่ส่งและระบุสถานีส่ง อีกส่วนหนึ่งคือส่วนของข้อมูลที่แปรผันได้ (Variable data) เป็นส่วนที่ใช้สำหรับการใช้งานหรือการบริการอื่นๆที่แตกต่างออกไป

ชุดวงจรเข้ารหัสของระบบ RDS (RDS Coder) โดยปกติจะอยู่ที่ภาคส่งสัญญาณ สัญญาณข้อมูลที่แปรผันได้จะถูกป้อนเข้ามาผ่านทาง การเชื่อมต่อเทเลคอม (telecom link) ส่วนข้อมูลที่คงที่ จะถูกเก็บไว้ในหน่วยความจำชนิดอ่านอย่างเดียว (EROM) ของชุดเข้ารหัส ในรูปที่ 2.1.3 แสดงการทำงานในส่วนต่างๆในชุดเข้ารหัสของ RDS จะเห็นว่าข้อมูลที่แปรผันได้ซึ่งเป็นข้อมูลของการให้

บริการที่แตกต่างออกไปจะผ่านเข้ามาทางพอร์ต (Port) ที่ต่ออยู่กับระบบของตัวประมวลผล (Processor) จากนั้นตัวประมวลผลก็จะนำเอาชุดคำสั่งที่เก็บไว้ในหน่วยความจำมาประมวลผลข้อมูลนั้น

ทางด้านรับก็จะต้องมีดีโคเดอร์เพื่อใช้ในการถอดรหัสที่ส่งมา การทำงานของระบบจะคล้ายคลึงกับระบบของโมเด็ม(Modem)สื่อสารทางเดียว



รูปที่ 2.1.3 ชุดเข้ารหัสของระบบ RDS

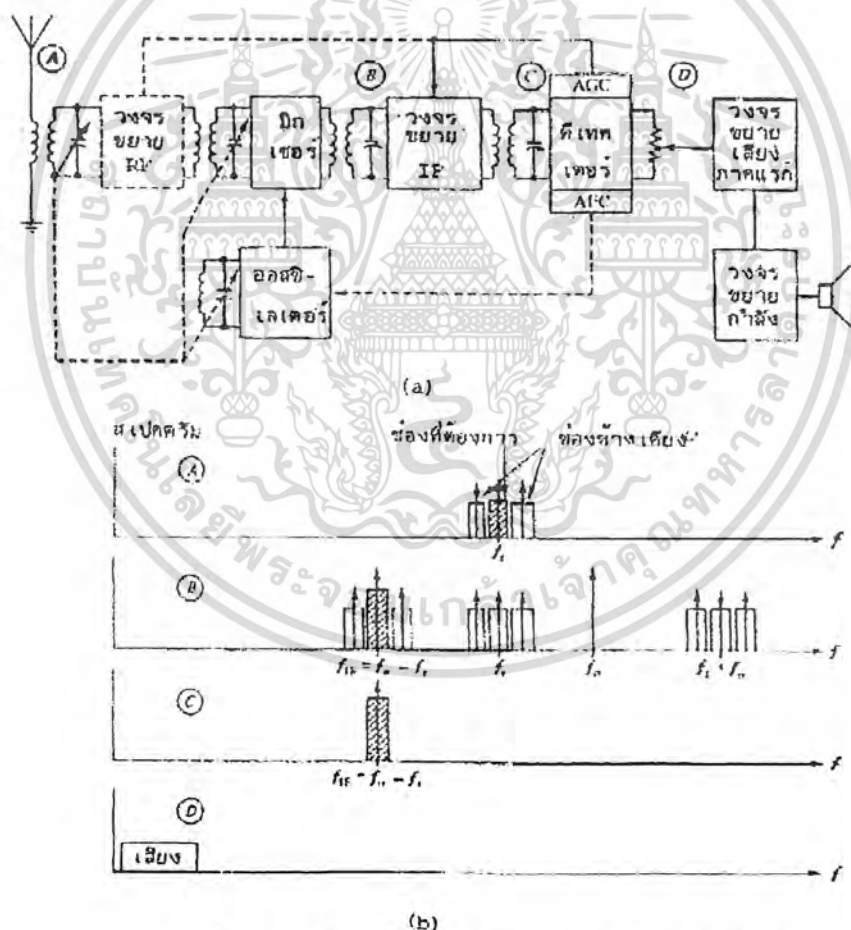
ในรูปที่ 2.1.3 ในส่วน MPX Processor จะทำหน้าที่สองอย่างคือเลือกความถี่นำร่องคือความถี่ 19 kHz และทำการถือคเฟสคลื่นพาห้ของระบบ RDS (57 kHz) สัญญาณคลื่นพาห้นี้จะนำมาใช้ในการมอดูเลตสัญญาณ RDS โดยจะเพิ่มสัญญาณเสียง stereo-sound MPX ผลลัพธ์ที่ได้จากหน่วยนี้จะนำไปยังเครื่องส่ง

เอกสารนี้เป็นเอกสารที่สงวนไว้สำหรับการใช้งานเพื่อการศึกษาเท่านั้น ไม่อนุญาตให้นำไปใช้ประโยชน์ด้านการค้า ไม่ว่าจะกรณีใดๆ ทั้งสิ้น อีกทั้งห้ามมิให้ตัดแปลงเนื้อหา และต้องอ้างอิงถึงเจ้าของเอกสารทุกครั้งที่มีการนำไปใช้

## 2.2 หลักการเครื่องรับวิทยุ

เครื่องรับวิทยุมีหน้าที่แยกสัญญาณวิทยุที่ต้องการจากสัญญาณวิทยุอื่นๆ ที่รับจากสายอากาศหลังจากนั้นจะขยายสัญญาณที่แยกมาได้ให้มีระดับสูงพอเหมาะ สุดท้ายก็จะแยกสัญญาณที่ต้องการนี้ออกจากสัญญาณคลื่นพาห้ (Carrier)

เครื่องรับวิทยุแบบซูเปอร์เฮเทอโรไดน์ ( Superheterodyne receiver ) นี้ออกแบบมาเพื่อให้มีความไวในการรับดีขึ้นโดยเพิ่มภาคขยายความถี่กลาง ( IF ) หลักการเบื้องต้นก็คือเมื่อมีสัญญาณไซน์สองสัญญาณที่มีความถี่แตกต่างกันผสมกันเข้ามาจะได้สัญญาณออกซึ่งเป็นผลบวกหรือผลต่างของความถี่ทั้งสอง แล้วจึงนำมาขยายในภาค IF



รูปที่ 2.2.1 (a) เครื่องรับวิทยุซูเปอร์เฮเทอโรไดน์

(b) สัญญาณสเปกตรัมของเครื่องรับ

จากรูป 2.2.1 (a) ภาคแรกคือภาคขยายสัญญาณวิทยุ ( RF Amplifier ) เพื่อให้อัตราส่วน S/N ดีขึ้น เพิ่มความไวในการรับสัญญาณพร้อมทั้งลดการกระจาย ( Radiation ) ที่ย้อนกลับมาออก เอกสารนี้เป็นเอกสารที่สงวนไว้สำหรับการใช้งานเพื่อการศึกษาเท่านั้น ไม่นุญาตให้นำไปใช้ประโยชน์ด้านการค้า ไม่ว่าจะกรณีใดๆ ทั้งสิ้น อีกทั้งห้ามมิให้ตัดแปลงเนื้อหา และต้องอ้างอิงถึงเจ้าของเอกสารทุกครั้งที่มีการนำไปใช้

ทางสายอากาศของออสซิลเลเตอร์ในภาคผสมสัญญาณ ( Mixer ) สัญญาณที่ได้ออกมาจะไปผสมกับ สัญญาณออสซิลเลเตอร์ในภาคผสมสัญญาณในปกติค่าของความถี่ของออสซิลเลเตอร์นี้จะเปลี่ยน โดย ค่าของคาปาซิเตอร์ ( Capacitor ) และโดยปกติค่าของคาปาซิเตอร์ ทั้งสามตัวนี้จะถูกเปลี่ยนค่าไป พร้อมกันโดยการหมุนปุ่มเพียงปุ่มเดียว ( ที่หาคณิศน์วิทยุ )

สัญญาณที่ได้จากหลังภาคผสมสัญญาณนี้ ( ผลต่างของสัญญาณ ) จะส่งไปยังภาคขยาย IF ซึ่งมีอยู่ 2 ภาค และผ่านไปยังภาคกรองสัญญาณ ( Detector ) หรือ ภาคคีมอคูเลเตอร์ ( Demodulator ) ในเวลาเดียวกันภาคนี้ก็จะสร้างสัญญาณการควบคุมการขยายอัตโนมัติ ( Automatic Gain Control ) หรือ AGC ในเครื่องรับวิทยุ AM ( Amplitude modulation ) และการควบคุมความถี่อัตโนมัติ ( Automatic frequency control ) หรือ AFC ในเครื่องรับวิทยุ FM ( Frequency Modulation ) สัญญาณ AGC นี้จะถูกส่งไปยังภาค IF และภาค RF เพื่อควบคุมการขยายในขณะ เดียวกันสัญญาณ AFC ก็จะถูกส่งไปควบคุมความถี่ของออสซิลเลเตอร์ในภาคผสมสัญญาณ สัญญาณ เสียงที่ได้ออกมาจะไปเข้าภาคขยายสัญญาณเสียงซึ่งใช้ไวโอลุ่ม ( Volume ) ควบคุมความดังของเสียง และสุดท้ายสัญญาณเสียงที่ต้องการก็จะไปเข้าลำโพง

### 2.2.1 การเลือกความถี่ IF และออสซิลเลเตอร์

โดยปกติจะเลือกความถี่ IF ให้ต่ำกว่าสัญญาณที่เข้ามา มิในกรณีพิเศษเท่านั้นที่เลือกด้าน ความถี่สูง การเลือกเช่นนี้จะทำให้ความไวในการรับดีขึ้นและสามารถตัดสัญญาณที่ไม่ต้องการออก ได้สะดวกกว่าอย่างไรก็ตามถ้าใช้สัญญาณความถี่สูงก็สามารถตัดสัญญาณอิมเมจ (Image) ออกได้ ช่วงระยะ ( Range ) ความถี่ออสซิลเลเตอร์นี้เปลี่ยนโดยค่าคาปาซิเตอร์ซึ่งมีอัตราส่วนในการเปลี่ยน คือ

$$\text{ช่วงระยะ} = \frac{C_{\text{สูงสุด}}}{C_{\text{ต่ำสุด}}} = \left( \frac{f_{\text{max}}}{f_{\text{min}}} \right)^2 \quad (2.2.1)$$

ความถี่ออสซิลเลเตอร์สามารถใช้ความถี่ให้สูงหรือต่ำกว่าความถี่สัญญาณ ( Signal frequency )  $f_s$  ได้ ถ้าจะให้ต่ำกว่า

$$IF = f_s - f_o \quad (2.2.2a)$$

ถ้าจะให้สูงกว่า

$$IF = f_o - f_s \quad (2.2.2b)$$

### 2.2.2 การตัดสัญญาณอิมเมจ

ภาควงจรผสมสัญญาณจะให้สัญญาณออกมาเป็น  $f_s - f_o$  และ  $f_o - f_s$  ถ้าความถี่ในการรับของภาค RF ไม่ดีพอ เมื่อปรับมาถึงความถี่  $f_o - IF$  แล้วสัญญาณ  $f_o + IF$  ก็จะเข้ามามีผลด้วยสัญญาณนี้เรียกว่าความถี่ของอิมเมจ  $f_i$  ซึ่งจะได้

$$f_i = f_s \pm 2IF \quad (2.2.3)$$

เครื่องหมายบวกใช้เมื่อ  $f_o > f_s$  และเครื่องหมายลบใช้ เมื่อ  $f_o < f_s$  ความถี่อิมเมจนี้สามารถตัดออกได้โดยวงจรจูน (Tuned circuit) ก่อนจะเข้าภาคผสมสัญญาณ

ภาค RF ของเครื่องรับวิทยุนี้ทำหน้าที่เหมือนวงจรกรอง (Filter) ซึ่งประกอบด้วยวงจรนรีโซแนนซ์หนึ่งหรือมากกว่าตามรูป 2.2.2 (a) เป็นวงจรจูนแบบขนานซึ่งใช้แหล่งกระแสที่  $I_s$  และให้โวลเตจออก  $V_o$  ค่าของความสูงแอดมิทแตนซ์ (Admittance magnitude) จะได้

$$|Y| = Y_o \sqrt{\left(\frac{\omega}{\omega_o}\right)^4 + (YQ)^2}$$

$$\cong Y_o \sqrt{1 + (YQ)^2}$$

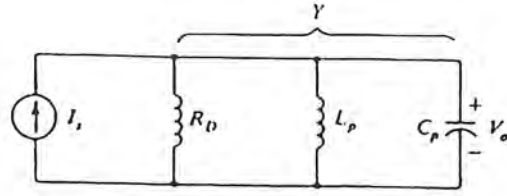
และ

$$= \frac{\omega}{\omega_o} - \frac{\omega_o}{\omega}$$

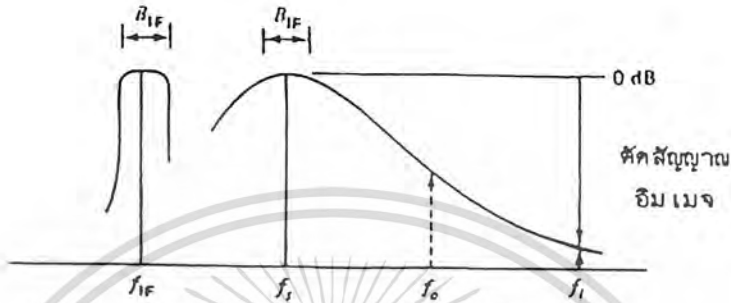
ถ้า  $\omega$  มีค่ามากหรือน้อยกว่า  $\omega_o$  หนึ่งหลักโวลเตจออกในช่วงความถี่นี้คือ

$$|V_o| = \frac{|I_s|}{|Y|} = \frac{|I_s|}{Y_o \sqrt{1 + (YQ)^2}} \quad (2.2.4)$$

เอกสารนี้เป็นเอกสารที่สงวนไว้สำหรับการใช้งานเพื่อการศึกษาเท่านั้น ไม่อนุญาตให้นำไปใช้ประโยชน์ด้านการค้า ไม่ว่าจะกรณีใดๆ ทั้งสิ้น อีกทั้งห้ามมิให้ตัดแปลงเนื้อหา และต้องอ้างอิงถึงเจ้าของเอกสารทุกครั้งที่มีการนำไปใช้



(a)



(b)

รูปที่ 2.2.2 (a) วงจรจูนแบบขนาน

(b) การตัดความถี่อิมเมจ

ที่ความถี่รีโซแนนซ์จะได้  $a_{(res)} = I_s / Y_o$  และจะได้รับความสัมพันธ์

$$A_r = \frac{|V_o|}{V_{o(res)}} = \frac{1}{\sqrt{1 + (\nu Q)^2}} \quad (2.2.5)$$

ถ้าใช้วงจรจูนหลายๆ วงจรรวมกัน จะได้รับความสัมพันธ์เป็นผลคูณคือ

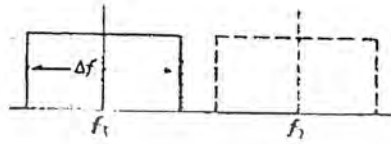
$$A_r = A_r(1)A_r(2) \quad (2.2.5)$$

ตามรูปที่ 2.2.2 (b) แสดงถึงวงจรจูนสัมพันธ์กับความถี่สูงสุดอยู่ที่  $f_s$  ซึ่งลักษณะจะลาดลงมาจากข้อจำกัดของวงจร กรองผ่าน IF (IF Bandpass) ออกซิเลเตอร์  $f_o$  จะอยู่ที่  $f_s + IF$  และอิมเมจอยู่ที่  $f_s + 2IF$  ค่าของการเอาสัญญาณอิมเมจออกนี้มีหน่วยเป็นเดซิเบลซึ่งจะลดลงจากจุดรีโซแนนซ์มาก

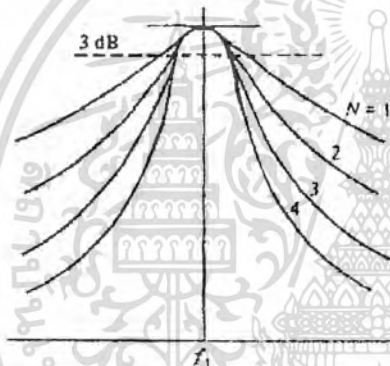
### 2.2.3 ความไวในการกำจัดช่องข้างเคียง

เอกสารนี้เป็นเอกสารที่สงวนไว้สำหรับการใช้งานเพื่อการศึกษาเท่านั้น ไม่อนุญาตให้นำไปใช้ประโยชน์ด้านการค้า ไม่ว่าจะกรณีใดๆ ทั้งสิ้น อีกทั้งห้ามมิให้ตัดแปลงเนื้อหา และต้องอ้างอิงถึงเจ้าของเอกสารทุกครั้งที่มีการนำไปใช้

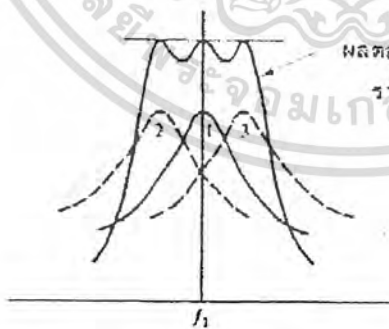
ความไวของภาค RF ในการรับสัญญาณขึ้นอยู่กับความถี่ ในช่วงความถี่ต่ำจะมีความไวดีกว่าความถี่สูง และเป็นการยากที่จะออกแบบวงจรให้มี Q สูงมากๆ ดังนั้นเครื่องรับวิทยุส่วนมากยังมีความไวไม่ดีพอในภาค RF ต้องใช้ภาค IF ช่วยอีกภาคหนึ่งด้วย



(a)



(b)



(c)

รูปที่ 3.2.3 ความไวในการกำจัดช่องข้างเคียง (a) การกรองแบบอุดมคติ (b) คุณสมบัติของวงจรจูนต่อแบบคาสเคดกัน (c) คุณสมบัติของวงจรต่อแบบสแตคเกอร์

เอกสารนี้เป็นเอกสารที่สงวนไว้สำหรับการใช้งานเพื่อการศึกษาเท่านั้น ไม่อนุญาตให้นำไปใช้ประโยชน์ด้านการค้า ไม่ว่าจะกรณีใดๆ ทั้งสิ้น อีกทั้งห้ามมิให้ตัดแปลงเนื้อหา และต้องอ้างอิงถึงเจ้าของเอกสารทุกครั้งที่มีการนำไปใช้

การอนุญาตให้มีสถานีส่งวิทยุหลายๆ ทำให้เกิดสเปกตรัมอยู่ติดกันอย่างมากมาข ปกติจะให้ห่างกัน 10kHz สำหรับสถานีส่ง AM ในช่วง Medium Frequency และ High Frequency ของ FM จะกว้างกว่านี้ สำหรับโทรทัศน์และไมโครเวฟจะกว้างมากกว่านี้ คุณลักษณะของ IF แสดงตามรูป 2.2.3 ( a )

สำหรับ IF อุดมคตินี้จะไม่มีความสูญเสียจากช่องข้างเคียง เข้ามารบกวนสัญญาณ  $f$  ได้ในทางปฏิบัติยังไม่สามารถสร้างวงจรกรองแบบอุดมคติได้ อย่างไรก็ตามเราก็ยังยอมให้มีค่ามากหรือน้อยกว่านี้ได้ เครื่องรับที่ดีจะต้องมีการตัดช่องใกล้เคียงออกประมาณ 60 ถึง 80dB สำหรับการกระจายเสียงที่คุณภาพดีจะมีค่ามากกว่านี้ วงจร IF โดยทั่วไป จะใช้วงจรจูนง่ายๆ โดยใช้วงจรขยายหลายๆ วงจรให้จูนที่ความถี่เดียวกันตามรูป 2.2.3 ( b ) วงจรจูนยิ่งมากขึ้นยิ่งชันขึ้นอย่างไรก็ตามวิธีนี้ จะมีความเพี้ยนทางความถี่สูงและเฟส

เพื่อลดความเพี้ยนลงเราจึงใช้วงจรที่หลากหลาย ความถี่โดยให้อยู่ที่ความถี่ตรงกลาง ( Center frequency ) วงจรหนึ่งที่เหลือก็ไปจูนที่ความถี่อื่นๆ ให้ได้ช่วงกว้างคลื่อนตามที่เราต้องการ วิธีนี้เรียกว่าสแตกเกอร์ตามรูป 3.2.3 ( c ) จะเห็นว่ามีจุดสูงสุด ( Peak ) อยู่หลายๆ จุดทำให้เกิดเป็นคลื่อน ( Ripple ) ที่จุดยอดของแบนซึ่งสามารถทำให้เรียบขึ้นอีกโดยใช้วงจรจูนให้ใกล้ชิดกันเข้ามาอีก ความชันของเส้นโค้งขึ้นอยู่กับจำนวนวงจรจูน

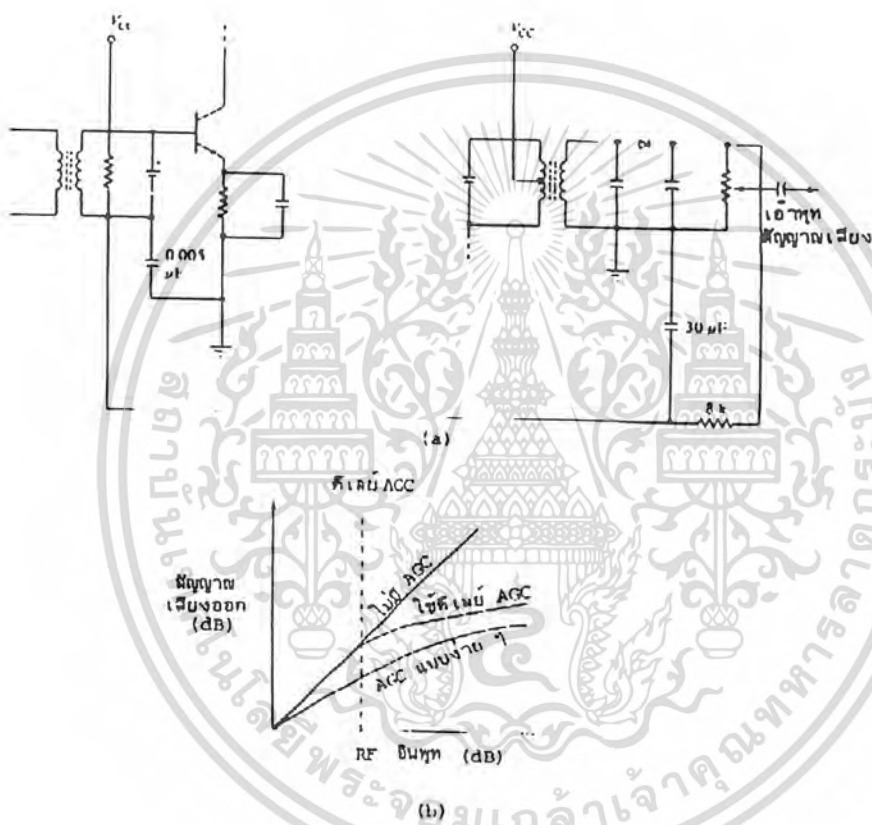
#### 2.2.4 การควบคุมขยายอัตโนมัติ

เครื่องรับวิทยุที่ไม่มีวงจรควบคุมการขยายอัตโนมัติ ( Automatic Gain Control ) อยู่เมื่อรับสัญญาณแรงๆ จะทำให้ภาค IF และภาคขยายสัญญาณเสียงเกิดการโอเวอร์โหลด ( Over - load ) จะทำให้สัญญาณที่ได้เพี้ยนไปจากความจริงมาก สาเหตุเช่นนี้สามารถป้องกันได้โดยใช้วงจร AGC สัญญาณ AGC จะแปรตามค่าเฉลี่ยของความแรงสัญญาณเข้ามาและจะไปควบคุมการขยายของวงจร IF หรือวงจร RF เมื่อระดับค่าเฉลี่ยของความแรงสัญญาณเพิ่มขึ้น ขนาดของ AGC ก็จะเพิ่มขึ้นด้วยการขยายของวงจรที่ไปควบคุมลดลง วงจรขยายจะขยายสูงสุดเมื่อสัญญาณ AGC เท่ากัน

AGC แบบง่ายจะนิยมใช้วิทยุราคาถูกโดยทั่วไป โดยใช้วงจร RC แบบเรกติฟายครึ่งคลื่น ซึ่งจะได้ระดับแรงดันไฟตรงแปรตามค่าเฉลี่ยระดับสัญญาณหลังจากเอาสัญญาณเสียงออกโดยใช้วง

จรกรองผ่านความถี่ต่ำแล้วจะได้แรงดันไฟตรงซึ่งไปไบอัสให้กับเบสของทรานซิสเตอร์ในวงจรขยาย IF หรือ RF

จากรูป 2.2.4 ( a ) จะเห็นได้ว่าค่านล่างของขอตูดิขภูมิ ต่อเข้ากับ AGC และมี C ต่ออยู่เพื่อแยกออกจากวงจรความถี่ต่ำที่ต่อจาก -VCC มีไว้เพื่อให้กระแสไบอัสกับเบสของทรานซิสเตอร์สำหรับสัญญาณอ่อนหรือไม่มีสัญญาณเลขเพื่อการขยายของ Class A



รูปที่ 2.2.4 การควบคุมการขยายอัตโนมัติ

- ( a ) วงจร AGC แบบง่าย
- ( b ) เครื่องรับวิทยุที่มี AGC ดีเลย์และแบบง่าย ๆ

สำหรับเครื่องมือสื่อสาร ที่มีประสิทธิภาพจะใช้ดีเลย์ AGC ( Delayed AGC ) ซึ่งคุณสมบัติของดีเลย์ AGC จะดีกว่าเมื่อเปรียบเทียบกับ AGC แบบง่ายและแบบไม่มี AGC ดูตามรูป 2.2.4 ( b )

เอกสารนี้เป็นเอกสารที่สงวนไว้สำหรับการใช้งานเพื่อการศึกษาเท่านั้น ไม่อนุญาตให้นำไปใช้ประโยชน์ด้านการค้า ไม่ว่าจะกรณีใดๆ ทั้งสิ้น อีกทั้งห้ามมิให้ตัดแปลงเนื้อหา และต้องอ้างอิงถึงเจ้าของเอกสารทุกครั้งที่มีการนำไปใช้

## 2.3 การมอดูเลชันทางความถี่ (FREQUENCY MODULATION)

สมการคลื่นพาห์ที่ยัง ไม่มีการมอดูเลตคือ

$$\phi(t) = A_c \cos(\omega_c t + \theta) \quad (2.3.1)$$

ตามปรกติค่า  $\theta$  ตาม (2.3.1) จะมีชื่อเรียกว่า เฟส ของคลื่นรูปไซน์  $\phi(t)$  ทั้งนี้โดยอ้างอิงเทียบกับสัญญาณ  $\cos(\omega_c t)$  ดังนั้นการทำให้  $\theta$  แปรผันตามค่า  $m(t)$  ได้กล่าวคือ

$$\theta = k m(t) \quad (2.3.2)$$

เมื่อ  $k_p$  คือ ค่าคงที่ เราจะกล่าวว่าสัญญาณ  $\phi(t)$  ตามสมการ (2.3.1) นั้นเป็นสัญญาณชนิดมอดูเลตเฟส (phase modulated signal) ซึ่งเรียกย่อว่า สัญญาณพีเอ็ม (PM signal)

อย่างไรก็ดี ถ้าเราสามารถที่จะทำให้ค่า  $\theta$  นี้ แปรผันตามค่าอินทิเกรตของสัญญาณข่าวสารได้ กล่าวคือ

$$\theta = k_f \int_{-\infty}^t m(\tau) d\tau \quad (2.3.3)$$

โดยในที่นี้  $k_f$  คือ ค่าคงที่ เราจะเรียกสัญญาณที่เกิดขึ้นว่าเป็นสัญญาณชนิดมอดูเลตความถี่ (frequency modulated signal) ซึ่งเรียกย่อว่า สัญญาณเอฟเอ็ม (FM signal) สาเหตุที่ได้ชื่อเช่นนี้ก็เพราะว่า ค่าเฟสชั่วขณะ (instantaneous phase)  $\theta_i$  นั้นมีความสัมพันธ์กับค่า ความถี่ชั่วขณะ (instantaneous frequency)  $\omega_i$  ดังนี้ คือ

$$\omega_i(t) = \frac{d\theta_i(t)}{dt} \quad (2.3.4)$$

หรือ

$$\theta_i(t) = \int \omega_i(\tau) d\tau \quad (2.3.5)$$

จะพบว่า ค่าความถี่ของคลื่นตามสมการ(2.3.1) ภายหลังจากการมอดูเลตความถี่แล้วจะมีส่วนเปลี่ยนแปลงของความถี่ไปจากความถี่  $\omega_c$  เท่ากับ ส่วนที่เกิดจากการทำอนุพันธ์เทียบกับเวลาของสมการ(2.3.3) กล่าวคือ

เอกสารนี้เป็นเอกสารที่สงวนไว้สำหรับการใช้งานเพื่อการศึกษาเท่านั้น ไม่อนุญาตให้นำไปใช้ประโยชน์ด้านการค้า ไม่ว่าจะกรณีใดๆ ทั้งสิ้น อีกทั้งห้ามมิให้ตัดแปลงเนื้อหา และต้องอ้างอิงถึงเจ้าของเอกสารทุกครั้งที่มีการนำไปใช้

$$\Delta\omega_r(t) = k_f m(t) \quad (2.3.6)$$

นั่นคือ ความถี่ในส่วนที่ต่างจาก  $\omega_c$  ของ  $\phi(t)$  นั้น จะแปรผันโดยตรงกับค่าความแรงของ สัญญาณข่าวสาร  $m(t)$  ด้วยเหตุนี้เองที่ทำให้คลื่น  $\phi(t)$  ภายหลังการมอดูเลตแล้วมีชื่อว่าสัญญาณ เอฟเอ็ม ดังกล่าว

จาก สมการ(2.3.1) และ (2.3.2) จะได้สมการ พีเอ็ม คือ

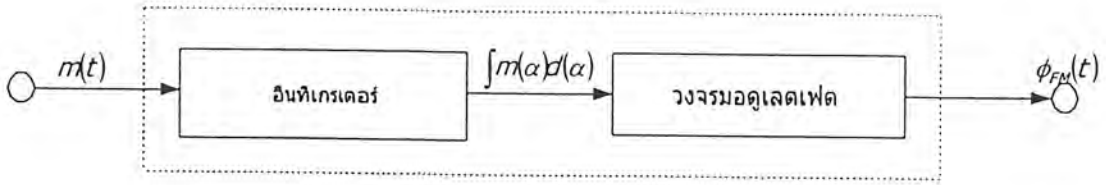
$$\phi_{PM}(t) = A_c \cos\{\omega_c t + k_p m(t)\} \quad (2.3.7)$$

จากสมการ (2.3.1) และสมการ (2.3.3) จะได้สมการของเอฟเอ็ม คือ

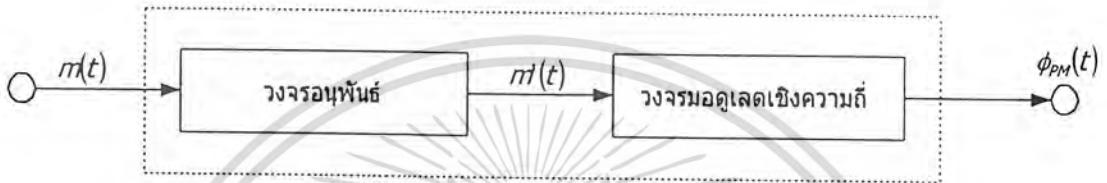
$$\phi_{FM}(t) = A_c \cos\left\{\omega_c t + k_f \int_{-\infty}^t m(\tau) d\tau\right\} \quad (2.3.8)$$

จะเห็นว่าทั้งคลื่นเอฟเอ็ม และคลื่นพีเอ็ม ต่างเกิดจากการมอดูเลตที่เกี่ยวกับการควบคุมค่า มุมหรือค่าเฟสของ  $\phi(t)$  ทั้งสิ้น ดังนั้นเราจึงเรียกการมอดูเลตทั้งสองวิธีนี้ว่า การมอดูเลตเชิงมุม จาก สมการ(2.3.7) และสมการ (2.3.8) จะพบว่า ถ้าเรานำวงจรมอดูเลตมาเพิ่มขึ้นข้างหน้า วงจรมอดูเลตเฟส ก็จะทำให้วงจรทั้งหมดทำงานเหมือนวงจรมอดูเลตความถี่ (ดูรูปที่2.3.1 (ก) ประกอบ)และ ในทางกลับกัน ถ้าเรานำวงจรถ่ายอนุพันธ์สัญญาณมาเพิ่มไว้ข้างหน้าวงจรมอดูเลต ความถี่ ดังแสดงในรูป 2.3.1ข ก็จะทำให้วงจรรวมทั้งหมดทำงานเป็นวงจรมอดูเลตเฟสได้ การสร้าง สัญญาณเอฟเอ็ม และพีเอ็มด้วยวิธีการเช่นนี้ เรียกกันว่า การสร้างสัญญาณ เอฟเอ็มและพีเอ็มทาง อ้อม (indirect FM and indirect PM) ตามลำดับ

จะเห็นว่าสัญญาณพีเอ็ม และเอฟเอ็มนั้นมีความสัมพันธ์กันอย่างใกล้ชิดสามารถที่จะแปลง กลับหากันไปได้โดยง่าย ดังนั้นพฤติกรรมของสัญญาณพีเอ็ม และเอฟเอ็มนั้น จึงมีส่วนคล้ายกัน อย่างยิ่ง เพราะฉะนั้นการที่เรารู้พฤติกรรมของสัญญาณแบบหนึ่ง ก็จะทำให้เราเข้าใจถึงพฤติกรรม ของสัญญาณอีกแบบหนึ่งได้ด้วยโดยง่าย ด้วยเหตุนี้ต่อจากนี้ไปเราจะอธิบายถึงพฤติกรรมของ สัญญาณเอฟเอ็มเป็นหลักไว้เพียงอย่างเดียว



ก. การสร้างสัญญาณเอฟเอ็ม จากวงจรมอดูเลตเฟต



ข. การสร้างสัญญาณพีเอ็ม จากวงจรมอดูเลตเชิงความถี่

รูปที่ 2.3.1 การสร้างสัญญาณ เอฟเอ็ม และพีเอ็ม โดยอาศัยวงจรมอดูเลเตอร์ แบบพีเอ็ม และเอฟเอ็ม ตามลำดับ

### 2.3.2 เอฟเอ็มแบนด์แคบ

การพิจารณาแบนด์วิดท์ของสัญญาณเอฟเอ็ม เมื่อ  $m(t)$  เป็นสัญญาณข่าวสารทั่วไปนั้นทำได้ลำบาก เพราะการมอดูเลตความถี่นั้น ไม่ใช่การมอดูเลตชนิดเชิงเส้น เหมือนสัญญาณเอเอ็ม การพิจารณา  $m(t)$  ในกรณีที่เป็นสัญญาณรูปไซน์ความถี่เดียว นั้น จะทำให้พออนุมานเกี่ยวกับเรื่องนี้ได้ ดังนั้นเราจึงจะพิจารณกรณีเช่นว่านี้ไว้เป็นพื้นฐาน โดยสมมติให้

$$m(t) = a \cos(\omega_m t) \tag{2.3.9}$$

ในกรณีนี้  $m(t)$  จะไปทำให้ค่าความถี่ชั่วขณะของ  $\phi(t)$  เปลี่ยนไปจากค่าความถี่  $\omega_c$  ซึ่งหาได้จาก สมการ(2.3.6) คือ

$$\Delta\omega_i(t) = ak_f \cos(\omega_m t) \tag{2.3.10}$$

เอกสารนี้เป็นเอกสารที่สงวนไว้สำหรับการใช้งานเพื่อการศึกษาเท่านั้น ไม่อนุญาตให้นำไปใช้ประโยชน์ด้านการค้า ไม่ว่าจะกรณีใดๆ ทั้งสิ้น อีกทั้งห้ามมิให้ตัดแปลงเนื้อหา และต้องอ้างอิงถึงเจ้าของเอกสารทุกครั้งที่มีการนำไปใช้

เนื่องจากค่า  $|\cos(\omega_m t)|$  มีค่ามากที่สุด คือ 1 ดังนั้นค่าการเบี่ยงเบนของความถี่จาก  $\omega_c$  มากที่สุดก็คือ

$$\Delta\omega = ak_f \quad (2.3.11)$$

ค่า  $\Delta\omega$  นี้มีชื่อเรียกว่า ค่าความถี่เบี่ยงเบนสูงสุด (peak frequency deviation) ค่าความถี่ชั่วขณะ  $\omega_i(t)$  ของ  $\phi(t)$  ที่เวลาใดๆ จะมีค่าเป็น

$$\omega_i(t) = \omega_c + \Delta\omega \cos(\omega_m t) \quad (2.3.12)$$

โดยอาศัยสมการ (2.3.8) และสมการ (2.3.12) จะได้

$$\begin{aligned} \phi_{FM}(t) &= A_c \cos\left\{\omega_c t + \frac{\Delta\omega}{\omega_m} \sin(\omega_m t)\right\} \\ &= A_c \cos\{\omega_c t + \beta \sin(\omega_m t)\} \end{aligned} \quad (2.3.13)$$

โดยในที่นี้ได้กำหนดให้

$$\beta = \frac{\Delta\omega}{\omega_m} \quad (2.3.14)$$

และดังที่จะได้เห็นต่อไปนี้ว่า ค่า  $\beta$  นี้มีความสำคัญในการกำหนดค่าแบนด์วิดท์ และค่าเอสเอ็นอาร์ในการสื่อสารสัญญาณเอฟเอ็มนี้ จึงได้มีการกำหนดให้ ค่า  $\beta$  นี้เป็น ดัชนีการมอดูเลต (modulation index) ของสัญญาณเอฟเอ็ม

สำหรับในกรณีที่  $\beta$  มีค่าน้อย เราสามารถที่จะกระจายพจน์ทางขวามือของสมการ (2.3.13) โดยใช้อนุกรมเทย์เลอร์ (Taylor's series) ซึ่งจะให้ผลลัพธ์โดยประมาณดังนี้ คือ

$$\phi_{FM}(t) \approx A_c \cos(\omega_c t) - A_c \beta \sin(\omega_m t) \sin(\omega_c t) - \frac{A_c}{2} \beta^2 \sin^2(\omega_m t) \cos(\omega_c t) + K$$

เอกสารนี้เป็นเอกสารที่สงวนไว้สำหรับการใช้งานเพื่อการศึกษาเท่านั้น ไม่อนุญาตให้นำไปใช้ประโยชน์ด้านการค้าไม่ว่ากรณีใดๆ ทั้งสิ้น อีกทั้งห้ามมิให้ตัดแปลงเนื้อหา และต้องอ้างอิงถึงเจ้าของเอกสารทุกครั้งที่มีการนำไปใช้

ในกรณีที่  $\beta$  มีค่าน้อยมากๆ เราสามารถที่จะตัดพจน์ที่มีค่า  $\beta$  กำลังสูงจนอยู่ออกได้ ค่า  $\phi_{FM}(t)$  ในกรณีนี้จะพิจารณาว่าเป็นสัญญาณเอฟเอ็มแบนด์แคบ (narrow band FM) และเขียนแทนด้วย  $\phi_{NBFM}(t)$  ซึ่งจะมีค่าเป็น

$$\phi_{NBFM}(t) = A_c \cos(\omega_c t) - A_c \beta \sin(\omega_m t) \sin(\omega_c t) \quad (2.3.15)$$

และเมื่อใช้ความสัมพันธ์  $\sin(A)\sin(B) = \frac{1}{2} \{\cos(A - B) - \cos(A + B)\}$  จะได้

$$\begin{aligned} \phi_{NBFM}(t) &= A_c \cos(\omega_c t) - \frac{A_c \beta}{2} \cos\{(\omega_c - \omega_m)t\} \\ &\quad + \frac{A_c \beta}{2} \cos\{(\omega_c + \omega_m)t\} \end{aligned} \quad (2.3.16)$$

จะเห็นว่า  $\phi_{NBFM}(t)$  นั้นมีส่วนประกอบของความถี่อยู่ที่ความถี่  $\omega_c - \omega_m$ ,  $\omega_c$  และ  $\omega_c + \omega_m$  ตาม สมการ(2.3.16) ซึ่งหมายความว่าแบนด์วิดท์ของสัญญาณเอฟเอ็มแบนด์แคบมีค่าเท่ากับ  $2\omega_m$  หรือ 2 เท่าของ แบนด์วิดท์ของสัญญาณข่าวสาร  $m(t)$  ซึ่งค่าแบนด์วิดท์นี้จะเท่ากับของสัญญาณเอเอ็ม ซึ่งถือว่าเป็นแบนด์วิดท์ที่แคบ จึงเป็นเหตุที่มาของชื่อของสัญญาณ เอฟเอ็มชนิดนี้ ในทางทฤษฎีจะใช้ค่า

$$\beta < \frac{1}{10} = 0.316 \text{ แต่ในการใช้งาน อาจมีค่าสูงถึง } 0.5$$

เมื่อพิจารณา (2.3.15) มาเขียนใหม่ คือ

$$\phi_{AM}(t) = A_c \cos(\omega_c t) + \mu A_c \cos(\omega_m t) \cos(\omega_c t) \quad (2.3.15)$$

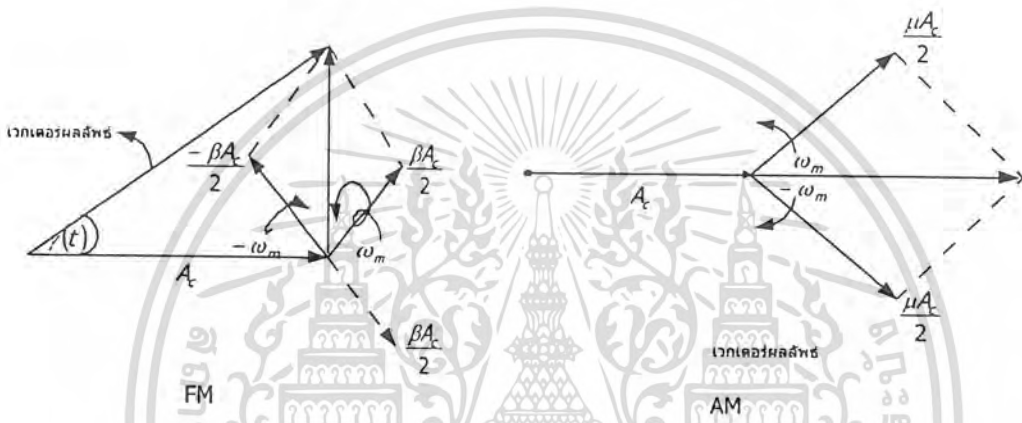
หรือ

$$\begin{aligned} \phi_{AM}(t) &= A_c \cos(\omega_c t) + \frac{\mu A_c}{2} \cos\{(\omega_c - \omega_m)t\} \\ &\quad + \frac{\mu A_c}{2} \cos\{(\omega_c + \omega_m)t\} \end{aligned} \quad (2.3.18)$$

เอกสารนี้เป็นเอกสารที่สงวนไว้สำหรับการใช้งานเพื่อการศึกษาเท่านั้น ไม่อนุญาตให้นำไปใช้ประโยชน์ด้านการค้า ไม่ว่าจะกรณีใดๆ ทั้งสิ้น อีกทั้งห้ามมิให้ตัดแปลงเนื้อหา และต้องอ้างอิงถึงเจ้าของเอกสารทุกครั้งที่มีการนำไปใช้

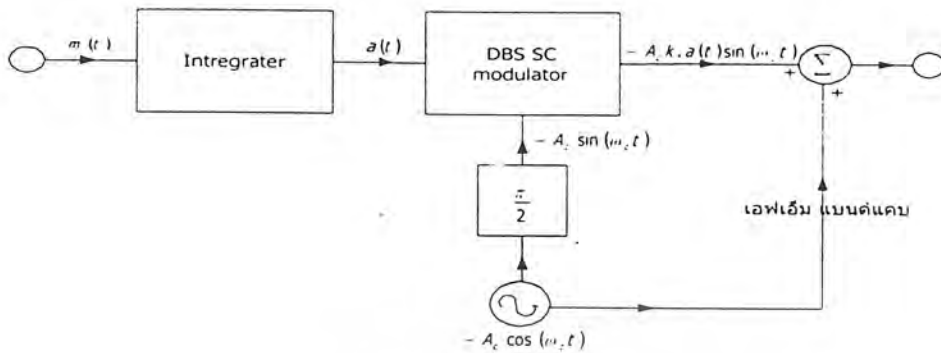
จะเห็นว่าสัญญาณเอฟเอ็มแบนด์แคบจะมีความคล้ายคลึงกับสัญญาณเอเอ็มมาก ดังนั้นจึงอาจอนุมานได้ว่าสัญญาณเอฟเอ็มแบนด์แคบ (รวมทั้งที่เอเอ็มแบนด์แคบ) นั้นมีคุณสมบัติคล้ายกับสัญญาณเอเอ็ม ต่างกันเพียงแต่ค่าเฟสของสัญญาณแถบข้างเท่านั้น

โดยใช้หลักของเฟเซอร์ (phasor) หรือเฟสเวกเตอร์ (phase vector) ของสัญญาณ เมื่อใช้  $e^{j\omega_c t}$  เป็นเวกเตอร์อ้างอิง เราจะได้แผนผังของเฟเซอร์ (phasor diagram) ของ  $\phi_{NBFM} t$  ตามสมการ (2.3.6) ดังแสดงในรูปที่ 2.3.2 และของ  $\phi_{AM}(t)$  ตามสมการ (2.3.18) ดังแสดงในรูปที่ 2.3.2 (ข)

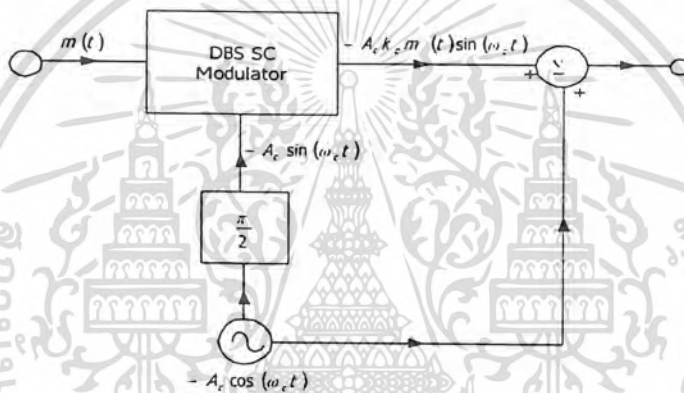


รูปที่ 2.3.2 เฟเซอร์ของสัญญาณเอฟเอ็ม เทียบกับสัญญาณเอเอ็ม

โดยอาศัยสมการ (2.3.15) เมื่อพิจารณาว่า  $\beta \sin(\omega_m t)$  นั้นได้มาจาก  $k_f \int_{-\infty}^t m(\tau) d\tau$  เราสามารถที่จะเขียนแผนผังระบบการสร้างสัญญาณเอฟเอ็มแบนด์แคบได้ดังแสดงในรูปที่ 2.3.3 (ก) และเมื่อเทียบรูปที่ 2.3.1 (ก) กับรูปที่ 2.3.3 (ก) เราจะได้แผนผังระบบการสร้างสัญญาณพีเอ็มแบนด์แคบดังแสดงในรูปที่ 2.3.3 (ข) ข้อดีของการสร้างเอฟเอ็มชนิดนี้ ก็คือ ออสซิลเลเตอร์ที่ใช้เป็นแบบที่ผลิตความถี่คงที่ที่  $\omega_c$  เพียงค่าเดียว ทำให้สร้างออสซิลเลเตอร์ที่มีเสถียรภาพดีได้ง่าย



Block diagram การสร้างสัญญาณแบนด์แคบ



Block diagram การสร้างสัญญาณเฟมแบนด์แคบ

รูปที่ 2.3.3 แผนผังระบบการสร้างสัญญาณเอฟเอ็ม และพีเอ็มชนิดแบนด์แคบ

### 2.3.3 เอฟเอ็มแบนด์กว้าง

เพื่อให้รู้แนวโน้มของการเกิดสเปกตรัมของสัญญาณเอฟเอ็มที่ใช้ค่าดัชนีการมอดูเลต  $\beta$  ค่ามาก เราจะพิจารณาค่าความสัมพันธ์ของ  $\phi_{FM}(t)$  ตาม สมการ(2.3.13) ซึ่งเกิดจากสัญญาณ  $m(t)$  ซึ่งมีลักษณะเป็นคลื่นรูปไซน์ตามสมการ (2.3.9) เราสามารถแทนสมการ (2.3.13) ได้ในรูปแบบของฟังก์ชันเชิงซ้อน ดังต่อไปนี้ คือ

$$\begin{aligned} \phi_{FM}(t) &= \text{Re} \left[ A_c e^{j(\omega_c t + \beta \sin(\omega_m t))} \right] \\ &= \text{Re} \left[ A_c e^{j\omega_c t} e^{j\beta \sin(\omega_m t)} \right] \end{aligned} \tag{6-19}$$

เอกสารนี้เป็นเอกสารที่สงวนไว้สำหรับการใช้งานเพื่อการศึกษาเท่านั้น ไม่อนุญาตให้นำไปใช้ประโยชน์ด้านการค้า ไม่ว่าจะกรณีใดๆ ทั้งสิ้น อีกทั้งห้ามมิให้ตัดแปลงเนื้อหา และต้องอ้างอิงถึงเจ้าของเอกสารทุกครั้งที่มีการนำไปใช้

เพราะเรารู้ว่า  $e^{j\beta \sin(\omega_m t)}$  เป็นสัญญาณเชิงซ้อนที่มีค่าคาบเวลาซึ่งมีค่าความถี่มูลฐานคือ  $\omega_m$  ดังนั้น เราจึงสามารถที่จะกระจายมันออกอยู่ในรูปของอนุกรมฟูริเยร์ได้ คือ

$$e^{j\beta \sin(\omega_m t)} = \sum_{n=-\infty}^{\infty} F_n e^{jn\omega_m t} \quad (2.3.20)$$

โดย  $F_n$  คือ ค่าสัมประสิทธิ์ของอนุกรมฟูริเยร์ คือ

$$F_n = \frac{1}{T} \int_{-\frac{T}{2}}^{\frac{T}{2}} e^{j\beta \sin(\omega_m t)} e^{-jn\omega_m t} dt \quad (2.3.21)$$

โดยอาศัยการเปลี่ยนแปลง ค่าตัวแปร  $x = \omega_m t = \frac{2\pi t}{T}$  จะได้

$$F_n = \frac{1}{2\pi} \int_{-\pi}^{\pi} e^{j(\beta \sin x - nx)} dx \quad (2.3.22)$$

ซึ่งสมการ(2.3.22) นั้นไม่สามารถหาคำตอบในรูปฟังก์ชันสำเร็จได้ คงต้องใช้วิธีการหาค่าเชิงตัวเลข ซึ่งมีการสรุปเป็นกราฟ หรือตารางไว้ ค่า  $F_n$  ตามสมการ(2.3.22) นี้ จะเป็นฟังก์ชันของ  $\beta$  และ  $n$  ซึ่งค่าการอินทิเกรตในรูปแบบนี้มีชื่อเรียกว่า ฟังก์ชันของเบสเซลชนิดที่หนึ่ง (Bessel function of the first kind) ลำดับที่  $n$  ของตัวแปร  $\beta$  ซึ่งใช้สัญลักษณ์แทนด้วย  $J_n(\beta)$  รูปร่างฟังก์ชัน  $J_n(\beta)$  มีดังแสดงในรูปที่ 2.3.4 คุณสมบัติที่สำคัญของ  $J_n(\beta)$  เมื่อ  $n$  เป็นตัวเลขจำนวนเต็ม และ  $\beta$  เป็นค่าจริง ที่ต่อเนื่อง  $J_n(\beta)$  มีค่าจริงจะได้

$$\begin{aligned} \phi_{FM}(t) &= \text{Re} \left\{ A_c e^{j\omega_c t} \sum_{n=-\infty}^{\infty} J_n(\beta) e^{jn\omega_m t} \right\} \\ &= A_c \sum J_n(\beta) \cos\{(\omega_c + n\omega_m)t\} \end{aligned} \quad (2.3.23)$$

จะเห็นว่าสเปกตรัมของ  $\phi_{FM}(t)$  นั้นกระจายออกไปบนแกนความถี่ไม่มีสิ้นสุด ซึ่งหมายความว่าแบนด์วิดท์ของสัญญาณเอพเอ็มตามทฤษฎีนั้นมีค่าอนันต์ แต่อย่างไรก็ตามเมื่อพิจารณาให้ลึกลงไป จะพบว่าค่า  $|J_n(\beta)|$  นี้จะลดลงหายไปอย่างรวดเร็ว เมื่อ  $n > \beta$  โดยเฉพาะอย่างยิ่งเมื่อ  $\beta$  มีค่ามาก กราฟในรูปที่ 2.3.5 แสดงค่าความสัมพันธ์ระหว่างค่า  $\frac{n}{\beta}$  กับค่า  $\beta$  ที่ทำให้ค่า

$|J_n(\beta)| \leq 0.01$  ซึ่งจะเห็นว่าค่า  $n$  มีค่าเข้าใกล้ 1 เมื่อ  $\beta$  มีค่ามาก คุณสมบัติเช่นนี้ ทำให้เราสามารถสรุปได้

เอกสารนี้เป็นเอกสารที่สงวนไว้สำหรับการใช้งานเพื่อการศึกษาเท่านั้น ไม่นิยมนำไปเผยแพร่โดยไม่ได้รับอนุญาต  
ไม่ว่ากรณีใดๆ ทั้งสิ้น อีกทั้งห้ามมิให้ตัดแปลงเนื้อหา และต้องอ้างอิงถึงเจ้าของเอกสารทุกครั้งที่มีการนำไปใช้

ว่า ถ้า แถบข้างที่มีนัยสำคัญ คือ แถบข้างที่มีขนาดเกิน 1% ของขนาดของคลื่นพาห์ที่ยังไม่มีการมอดูเลตแล้ว จะมีไซด์แบนด์ตัวสุดท้าย คือตัวที่  $n \approx \beta$  เมื่อ  $\beta$  มีค่ามาก เพราะฉะนั้น ถ้าคิดโดยนัยสำคัญในทฤษฎีดังกล่าวแล้วจะพบว่าค่าแบนด์วิดท์ ( $BW$ ) ของสัญญาณเอฟเอ็มตาม สมการ (2.3.23) นั้น จะมีค่าประมาณได้ดังต่อไปนี้ คือ

$$\begin{aligned} BW &\approx 2n\omega_m \\ &\approx 2\beta\omega_m = 2\Delta\omega \end{aligned} \quad (2.3.24)$$

นั่นคือ

$$BW \approx 2\Delta\omega \quad \text{สำหรับ } \beta \text{ ค่ามาก} \quad (2.3.25)$$

สำหรับเมื่อ  $\beta$  มีค่าน้อยมากๆ นั้น ซึ่งเป็นกรณีของเอฟเอ็มแบนด์แคบ เราจะสังเกตจากรูปที่ 2.3.4 ได้ว่าขนาดของ  $J_n(\beta)$  ที่มีนัยสำคัญจะมีเพียง  $J_0(\beta)$  และ  $J_1(\beta)$  จะเห็นได้ว่ามันจะมีค่าแบนด์วิดท์เท่ากับค่าที่ทราบกันมาแล้วในหัวข้อที่ 2.3.2 คือ

$$BW \approx 2\omega_m \quad \text{สำหรับ } \beta \text{ ค่าน้อย} \quad (2.3.26)$$

สเปกตรัมของสัญญาณเอฟเอ็ม ตามสมการ (2.3.23) ในกรณีที่  $\beta$  มีค่าต่างๆ มีดังแสดงในรูป 2.3.6

เพื่อสรุปสูตรในการหาแบนด์วิดท์ของสัญญาณเอฟเอ็ม สำหรับการมอดูเลตสัญญาณรูปไซน์ความถี่เดียว หรือที่นิยมเรียกกันว่า โทนมอดูเลชัน (tone modulation) นั้น เจอรัล คาร์สัน (J.R Carson) ได้เสนอสูตรจากการประสมผสานสมการ(2.3.25) และ (2.3.26) ในรูปต่อไปนี้ คือ

$$BW \approx 2(\Delta\omega + \omega_m) \quad (2.3.27)$$

หรือเขียนในรูปใหม่ได้เป็น

$$BW \approx 2\omega_m(\beta + 1) \quad (2.3.28)$$

สมการ (2.3.27) และ (2.3.28) รู้จักกันดีในชื่อของ กฎของคาร์สัน (Carson's rule) อย่างไรก็ดี สำหรับสัญญาณข่าวสารทั่วไป มีรายงานว่า กฎนี้ใช้ได้ดี เมื่อ  $\Delta\omega \ll \omega_m$  เมื่อเงื่อนไข  $\Delta\omega \ll \omega_m$  ไม่เป็นจริง คือ ในกรณีของเอฟเอ็มแบนด์กว้าง (wide band FM : WBFM) หรือแบนด์ปานกลาง ได้มีการเสนอว่าควรใช้

เอกสารนี้เป็นเอกสารที่สงวนไว้สำหรับการใช้งานเพื่อการศึกษาเท่านั้น ไม่อนุญาตให้นำไปใช้ประโยชน์ด้านการค้า ไม่ว่าจะกรณีใดๆ ทั้งสิ้น อีกทั้งห้ามมิให้ตัดแปลงเนื้อหา และต้องอ้างอิงถึงเจ้าของเอกสารทุกครั้งที่มีการนำไปใช้

$$BW \approx 2(\Delta\omega + \omega_m)$$

หรือ

$$BW \approx 2\omega_m(\beta + 2) \quad (2.3.29)$$

จะให้ผลลัพธ์ที่มีประสิทธิภาพกว่าผลลัพธ์จากกฎของคาร์สัน ดังนั้นจึงได้มีการสรุปเป็นสูตรที่มีความชัดเจนว่าแบนด์วิดท์คดขยี้สำคัญของสัญญาณเอฟเอ็ม จะมีค่าที่คำนวณได้จากสูตร

$$BW \approx 2\omega_m(\beta + 2) \text{ เรเดียน/วินาที} \quad (2.3.30)$$

โดย  $k = 1$  เมื่อ  $\beta$  มีค่าน้อย และ  $k = 2$  เมื่อ  $\beta$  มีค่ามาก และถ้าเราคิดว่า  $\omega_m$  คือค่าแบนด์วิดท์ของสัญญาณข่าวสาร  $m(t)$  ซึ่งเท่ากับ  $2\pi B$  เรเดียน/วินาที เราจะพบว่า ค่าแบนด์วิดท์ตามสมการ(2.3.30) จะแปลงเป็นค่าแบนด์วิดท์ในหน่วยของเฮิรตซ์ ได้ดังนี้คือ

$$BW \approx 2f_m(\beta + k) \quad (2.3.31)$$

### 2.3.4 การสร้างสัญญาณเอฟเอ็มแบนด์กว้าง

การผลิตสัญญาณเอฟเอ็มแบนด์กว้าง สามารถทำได้สองวิธีดังต่อไปนี้คือ

#### 2.3.4.1 การสร้างสัญญาณเอฟเอ็มแบนด์กว้างโดยตรง

วิธีการสามัญที่ผลิตสัญญาณเอฟเอ็มโดยตรง ก็คือการใช้สัญญาณ  $m(t)$  มาควบคุมการเปลี่ยนค่าความเหนี่ยวนำ  $L$  หรือค่าความจุ  $C$  ของวงจรออสซิลเลเตอร์ทางอิเล็กทรอนิกส์ ซึ่งเมื่อค่า  $L$  หรือ  $C$  ของวงจรจูน (tune circuit) เปลี่ยนไป มันจะทำให้ค่าความถี่ของการออสซิลเลตคือ

$$\omega_o = \frac{1}{\sqrt{LC}} \text{ เปลี่ยนไป ด้วย และสำหรับการเปลี่ยนแปลงความถี่ค่าน้อยๆ กล่าวคือ } \Delta\omega \ll \omega_m$$

ค่าส่วนกลับรากที่สองนี้สามารถประมาณได้ด้วยการเปลี่ยนแปลงชนิดเชิงเส้นทำให้ได้การเปลี่ยนแปลงของ  $\omega_o$  เป็นไปตามค่าสัญญาณอินพุต  $m(t)$  อย่างเชิงเส้นได้

วิธีการหลายวิธีที่จำทำให้ค่าของ  $L$  และ  $C$  ของวงจรจูนนั้นเปลี่ยนแปลงไป ตามค่าสัญญาณ  $m(t)$  วิธีสามัญทั่วไป เมื่อ  $\omega_o$  อยู่ในย่านความถี่กลาง และความถี่สูง อาจทำได้โดยการใช้  $m(t)$  ไปควบคุมแรงดันกลับ (reverse-biased voltage) ของไดโอดที่เรียกว่า วารีแคป(variable capacitance diode) หรือวาร์เรกเตอร์ไดโอด (varactor diode) ซึ่งจะทำให้ค่า  $C$  ของไดโอดนั้นเปลี่ยนแปลงไป เปอร์

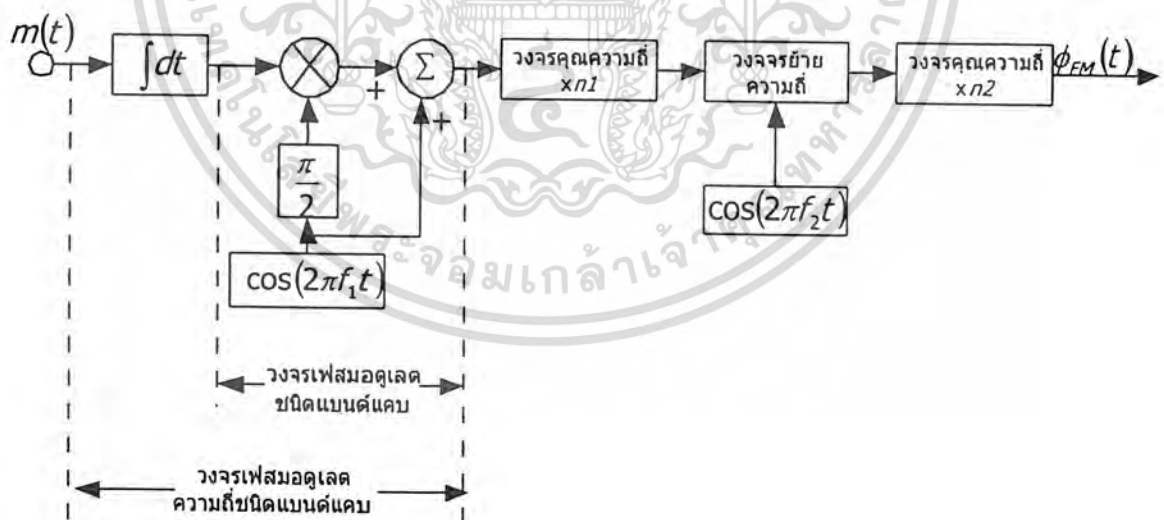
เอกสารนี้เป็นเอกสารที่สงวนไว้สำหรับการใช้งานเพื่อการศึกษาเท่านั้น ไม่อนุญาตให้นำไปใช้ประโยชน์ด้านการค้า ไม่ว่าจะกรณีใดๆ ทั้งสิ้น อีกทั้งห้ามมิให้ตัดแปลงเนื้อหา และต้องอ้างอิงถึงเจ้าของเอกสารทุกครั้งที่มีการนำไปใช้

เซนต์การเปลี่ยนแปลงความถี่ที่เบี่ยงเบนนี้อาจมีค่าค่อนข้างน้อย การเพิ่มค่าเปอร์เซ็นต์ของความถี่ที่เบี่ยงเบนนี้ ทำได้ด้วยการทำออคuletที่ความถี่สูง และใช้การย้ายความถี่ด้วยหลักการเฮเทอโรไดน์ (heterodyne) ลงมาสู่ความถี่ต่ำที่ใช้งานจริง

อีกวิธีหนึ่ง คือ การใช้ควบคุมความถี่ของวงจรรออาร์ซี ออสซิลเลเตอร์ (RC oscillator) ด้วยเอฟอีที (FET) หรืออุปกรณ์ที่มีคุณสมบัติคล้ายกัน วงจรรออสซิลเลเตอร์ใดๆ ก็ตามที่สามารถใช้แรงดันอินพุตมาควบคุมความถี่ของมันได้จะถูกเรียกว่า วงจรรออสซิลเลเตอร์ที่ควบคุมได้ด้วยแรงดัน หรือ วีซีโอ เราสามารถที่จะใช้วีซีโอนี้มาผลิตสัญญาณเอฟเอ็มได้โดยตรง

### 2.3.4.2 การผลิตสัญญาณเอฟเอ็มแบบค้ำว้างโดยทางอ้อม

วิธีการนี้เริ่มต้นด้วยการใช้วงจรมอดูเลตเฟสชนิดแบนด์แคบ ตามรูป 2.3.3(ข) มาเพิ่มวงจรมอดูเลตสัญญาณเข้าไป เพื่อให้ได้วงจรมอดูเลตเอฟเอ็มชนิดแบนด์แคบก่อน แล้วจึงทำการเพิ่มเติมส่วนประกอบอื่นให้กับวงจรเพื่อที่จะให้สามารถผลิตสัญญาณเอฟเอ็มแบบค้ำว้างตามต้องการออกมาในที่สุด ลักษณะ โครงประกอบของวงจรมอดูเลตชนิดนี้ มีดังแสดงในรูปที่ 2.3.4



รูปที่ 2.3.4 ระบบการผลิตสัญญาณเอฟเอ็มโดยอ้อมตามวิธีการอาร์มสตรอง

หลักการทอานของระบบนี้ อธิบายได้โดยเริ่มจากในเบื้องต้นนั้นจะมีสัญญาณเอฟเอ็มแบบค้ำว้างจากมอดูเลตอร์ชนิดแบนด์แคบ ซึ่งจะมีค่าดัชนีการมอดูเลต  $\beta$  ต่ำมาก แต่เมื่อสัญญาณเอกสารนี้เป็นเอกสารที่ส่งวนไว้สำหรับการใช้งานเพื่อการศึกษาเท่านั้น ไม่นอญญาติให้นำไปใช้ประโยชน์ด้านการค้าไม่ว่ากรณีใดๆ ทั้งสิ้น อีกทั้งห้ามมิให้ดัดแปลงเนื้อหา และต้องอ้างอิงถึงเจ้าของเอกสารทุกครั้งที่มีการนำไปใช้

นี้ได้ผ่านเข้าไปในวงจรเพิ่มความถี่หรือวงจรคูณความถี่ (frequency multiplier) ค่า  $\beta$  ใหม่ของสัญญาณเอาต์พุตก็จะเพิ่มขึ้นเท่ากับอัตราการคูณความถี่  $n$  ของวงจรคูณความถี่นั้น ซึ่งคุณสมบัตินี้จะเข้าใจได้เมื่อพิจารณาหลักการคูณความถี่ที่ว่า ถ้าเราทำการเพิ่มความถี่ของสัญญาณด้วยวงจรคูณความถี่ที่มีอัตราการขยายการคูณเท่ากับ  $a$  และให้สัญญาณอินพุตทั้งสองวงจรมีค่าเดียวกัน คือ  $e_i(t)$  แล้วจะได้แรงดันเอาต์พุต  $e_o(t)$  ของวงจรเป็น

$$e_o(t) = ae_i^2(t) \quad (2.3.33)$$

เมื่ออินพุต  $e_i(t)$  คือสัญญาณเอพเอ็มตามสมการ (2.3.13) กล่าวคือ

$$e_i(t) = A_c \cos\{\omega_c t + \beta \sin(\omega_m t)\} \quad (2.3.34)$$

จะทำให้เกิดเอาต์พุต คือ

$$\begin{aligned} e_o(t) &= aA_c^2 \cos^2\{\omega_c t + \beta \sin(\omega_m t)\} \\ &= \frac{aA_c^2}{2} + \frac{aA_c^2}{2} \cos\{2\omega_c t + 2\beta \sin(\omega_m t)\} \end{aligned} \quad (2.3.35)$$

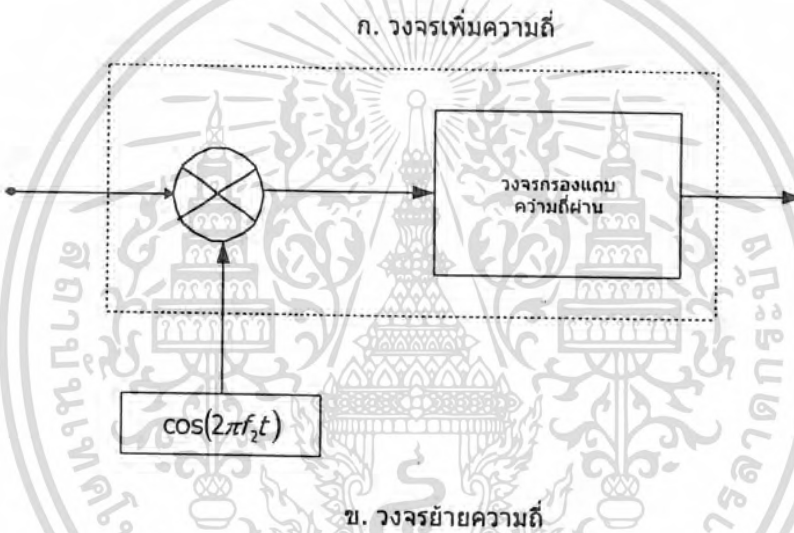
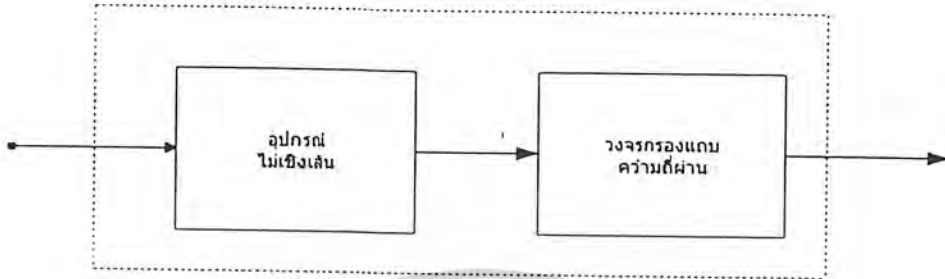
เมื่อขจัดสัญญาณไฟตรงที่ไม่ต้องการออกโดยใช้วงจรกรองความถี่ จะได้เอาต์พุตของวงจรกรองสัญญาณ  $e_o(t)$  เป็น

$$e_o(t) = \frac{aA_c^2}{2} \cos\{2\omega_c t + 2\beta \sin(\omega_m t)\} \quad (2.3.36)$$

จะเห็นว่าสัญญาณ  $e_o(t)$  ตามสมการ(2.3.36) คือ สัญญาณเอพเอ็มที่มีค่าความถี่คลื่นพาห์สูงขึ้นเป็นสองเท่าของสัญญาณอินพุต และมีค่าดัชนีการมอดูเลตเพิ่มขึ้นเป็นสองเท่าด้วย ดังนั้นถ้าเราใช้วงจรคูณความถี่ ซึ่งมีอัตราการคูณความถี่เพิ่มขึ้นเป็น  $n$  เท่าเราก็จะได้สัญญาณเอาต์พุตที่มีค่า  $\beta$  เพิ่มขึ้นเป็น  $n$  เท่าด้วย แต่ก็อาจจะเกิดปัญหาตรงที่ค่าความถี่ของคลื่นพาห์สูงขึ้นมาเป็น  $n$  เท่าด้วย ปัญหาในเรื่องนี้สามารถแก้ไขได้โดยใช้วงจรแปลงความถี่ (frequency convertor) หรือ วงจรย้ายความถี่มาช่วย วงจรแปลงความถี่ทำงานด้วยหลักการเฮเทอโรไดน์ (heterodyne) คือ การเลื่อนความถี่ไปตามต้องการ โดยใช้หลักการของการมอดูเลตแอมพลิจูดที่มีคุณสมบัติในการย้าย

เอกสารนี้เป็นเอกสารที่สงวนไว้สำหรับการใช้งานเพื่อการศึกษาเท่านั้น ไม่อนุญาตให้นำไปใช้ประโยชน์ด้านการค้า ไม่ว่าจะกรณีใดๆ ทั้งสิ้น อีกทั้งห้ามมิให้ตัดแปลงเนื้อหา และต้องอ้างอิงถึงเจ้าของเอกสารทุกครั้งที่มีการนำไปใช้

สเปกตรัมของสัญญาณแอมพลิจูดของวงจรถูกความถี่หรือวงจรเพิ่มความถี่ และวงจรแปลงความถี่ มีดังแสดงในรูปที่ 2.3.5



รูปที่ 2.3.5 แอมพลิจูดของวงจรถูกความถี่ และวงจรถูกความถี่

ควรพิจารณาความแตกต่างของวงจรถูกความถี่ทั้งสองว่า แม้มันจะอยู่บนพื้นฐานเดียวกันแต่วงจรถูกความถี่นั้นจะเกิดจากการคูณกันเองของสัญญาณอินพุตจำนวน  $n$  ครั้ง แต่วงจรถูกความถี่จะทำงานด้วยการคูณกันของสัญญาณอินพุต กับคลื่นรูปไซน์ ( $\cos(2\pi f_2 t)$ ) ที่มีความถี่ที่เหมาะสมกับการย้ายสเปกตรัมของสัญญาณอินพุต

วงจรถูกความถี่ในรูปที่ 2.3.4 ทำหน้าที่ย้ายความถี่ของสัญญาณเอพเอ็มให้ไปอยู่ในตำแหน่งที่เหมาะสม ที่ต้องการให้เป็นหลังจากมีการเพิ่มความถี่ขึ้นอีก  $n_2$  เท่าแล้ว โดยกระบวนการเช่นนี้ สัญญาณเอาต์พุตสุดท้ายที่ได้จะเป็นสัญญาณเอพเอ็มแบนด์กว้างที่มีค่า  $\beta$  และค่าความถี่ของคลื่นพาห้ตามต้องการได้ จากรูปที่ 2.3.4 นี้ ค่าดัชนีการมอดูเลตของสัญญาณเอพเอ็มจะมีค่าสูงขึ้นเป็น  $n_1 n_2$  เท่าของค่าดัชนีการมอดูเลตของสัญญาณเอพเอ็มแบนด์แคบในภาคแรกและคลื่นพาห้เอาต์พุต เอกสารนี้เป็นเอกสารที่สงวนไว้สำหรับการใช้งานเพื่อการศึกษาเท่านั้น ไม่อนุญาตให้นำไปใช้ประโยชน์ด้านการค้า ไม่ว่าจะกรณีใดๆ ทั้งสิ้น อีกทั้งห้ามมิให้ตัดแปลงเนื้อหา และต้องอ้างอิงถึงเจ้าของเอกสารทุกครั้งที่มีการนำไปใช้

จะมีความถี่กึ่งกลางเท่ากับ  $\omega_2(\omega_1 f_1 - f_2)$  เมื่อ  $f_1$  คือ ค่าความถี่กึ่งกลางของสัญญาณเอฟเอ็มแบบแคบภาคแรก และ  $f_2$  คือค่า ความถี่ของออสซิลเลเตอร์ในวงจรขยายความถี่

การสร้างสัญญาณเอฟเอ็มแบบนี้ มีชื่อว่า การสร้างสัญญาณเอฟเอ็มโดยทางอ้อมด้วยวิธีการของอาร์มสตรอง (Armstrong's indirect FM) วิธีการสร้างสัญญาณเอฟเอ็มโดยทางอ้อมนี้นิยมทำกัน เพราะมีข้อดีที่สามารถคุมเสถียรภาพของความถี่ของคลื่นพาห้ที่ได้มาดีกว่าวิธีการสร้างสัญญาณเอฟเอ็มโดยตรง ผู้อ่านควรสังเกตว่าวิธีการทางอ้อมนี้ วงจรออสซิลเลเตอร์จะผลิตความถี่ออกมาเพียงความถี่เดียว จึงทำให้สะดวกในการหามาตรการควบคุมความถี่ให้มีเสถียรภาพได้ง่ายกว่าในกรณีของการสร้างเอฟเอ็มแบบกว้างโดยตรง

### 2.3.5 การดีมอดูเลตสัญญาณเอฟเอ็ม

ในการดีมอดูเลตสัญญาณเอฟเอ็มนั้น อาจทำได้ทั้งวิธีตรง และวิธีอ้อม วิธีตรงคือ วิธีใช้ระบบที่มีคุณสมบัติการเปลี่ยนความถี่ไปเป็นโวลเตจอย่างเชิงเส้น ที่เรียกกันว่า วงจรดิสคริมีเนตความถี่ (frequency discriminator) และวิธีอ้อมที่ใช้เทคนิคการป้อนกลับ (FM demodulator with feedback : FMFB) และการใช้เฟสล็อกลูป (phase-locked loop: PLL) เป็นต้น อย่างไรก็ตาม วัตถุประสงค์ของหนังสือเล่มนี้นั้นต้องการให้ผู้อ่านเข้าใจถึงวิธีการดีมอดูเลตสัญญาณ โดยพื้นฐานเป็นเกณฑ์ ดังนั้นจึงกล่าวถึงวิธีการดีมอดูเลตสัญญาณแบบธรรมดา คือ วิธีการโดยตรงเท่านั้น

วิธีการดีมอดูเลตสัญญาณเอฟเอ็มโดยตรงที่ง่ายที่สุดก็คือ การใช้วงจรทำอนุพันธ์ตามอุดมคติ (ideal differentiator) ร่วมกับวงจรเทกต์กรอบสัญญาณ คุณสมบัติที่เห็นได้ชัดก็คือ ขนาดของ  $H(\omega)$  แปรผันเป็นเชิงเส้น โดยสมมูลกับความถี่ เพราะฉะนั้น ถ้าสัญญาณเอฟเอ็มผ่านวงจรทำอนุพันธ์แล้วก็จะทำให้ได้เอาต์พุตที่มีค่าเปลี่ยนตามความถี่ ซึ่งก็คือได้เอาต์พุตเปลี่ยนแปลงตามขนาดความแรงของสัญญาณข่าวสารนั่นเอง ดังนั้นเมื่อนำสัญญาณเอาต์พุตที่ได้นี้ไปผ่านวงจรดีเทกต์กรอบสัญญาณก็จะได้สัญญาณข่าวสารตามต้องการ

ลักษณะสมการ โดยทั่วไปของคลื่นเอฟเอ็ม ตามสมการ(2.3.5) เมื่อทำการอนุพันธ์แล้วจะได้ผลลัพธ์ คือ

$$\frac{d\phi_{FM}(t)}{dt} = -A_c \{ \omega_c + k_f m(t) \} \sin \left\{ \omega_c t + k_f \int_x m(\tau) d\tau \right\} \quad (2.3.37)$$

ปรกติการมอดูเลตความถี่นั้น จะใช้ค่า  $\omega_c \gg k_f m(t)$  ดังนั้นเอนVELOPE  $E(t)$  ของ (2.3.37) จึงเหมือนกับสัญญาณเอฟเอ็ม คือ

เอกสารนี้เป็นเอกสารที่สงวนไว้สำหรับการใช้งานเพื่อการศึกษาเท่านั้น ไม่อนุญาตให้นำไปใช้ประโยชน์ด้านการค้า ไม่ว่าจะกรณีใดๆ ทั้งสิ้น อีกทั้งห้ามมิให้ตัดแปลงเนื้อหา และต้องอ้างอิงถึงเจ้าของเอกสารทุกครั้งที่มีการนำไปใช้

$$E(t) = A\omega_c \left\{ 1 + \frac{k_f}{\omega_c} m(t) \right\} \quad (2.3.38)$$

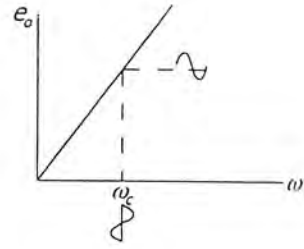
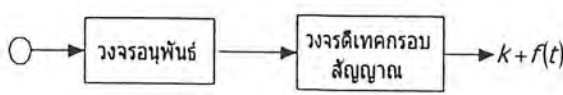
และค่าความถี่ชั่วขณะของคลื่นพาห้ตามสมการ(2.3.37) คือ

$$\omega_i = \omega_c + k_f m(t) \quad (2.3.39)$$

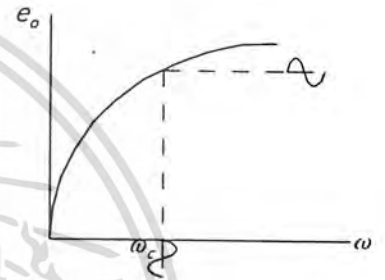
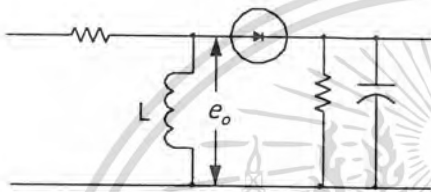
จะเห็นได้ว่าวงจรทำอนุพันธ์ ทำหน้าที่เปลี่ยนคลื่นเอฟเอ็มให้เป็นคลื่นเอเอ็ม ที่มีความถี่ของคลื่นพาห้เปลี่ยนแปลงอยู่บ้างเล็กน้อย ดังนั้นจึงสามารถใช้วงจรดีเทกต์กรอบสัญญาณมาทำการดีเทกต์สัญญาณ  $m(t)$  ออกจากสัญญาณเอาต์พุตของวงจรทำอนุพันธ์สมการ (2.3.37) ได้ ซึ่งรูปที่2.3.6(ก) จะช่วยอธิบายให้เห็นภาพพจน์ของระบบการดีมอดูเลตสัญญาณชนิดนี้ได้เป็นอย่างดี

พฤติกรรมของวงจรอนุพันธ์ตามอุดมคติ อาจจะประมาณโดยวงจรที่ประกอบจากตัวความต้านทานและขดลวดเหนี่ยวนำ (RL) หรือวงจรกรองแถบความถี่ผ่าน ซึ่งเมื่อนำมาต่อกับวงจรดีเทกต์กรอบสัญญาณ จะได้วงจรดีเทกต์ความถี่ ดังแสดงในรูปที่2.3.6 (ข) และ (ค) ตามลำดับ วงจรดีเทกต์ความถี่เหล่านี้ รู้จักกันในนามของวงจรดีเทกต์ความชัน (slope detector) แม้ว่าวงจรดีเทกต์ความชันทั้งสองนี้จะทำได้โดยง่าย แต่มันก็มีข้อจำกัดในการใช้งาน คือ ความเป็นเชิงเส้นของอัตราการแปลงความถี่เป็นแรงดันนั้นมีช่วงแคบมาก การแก้ไขให้ดีขึ้นอาจทำได้โดยการใช้วงจรจูนสามความถี่ ดังแสดงในรูปที่2.3.6(ง) วงจรนี้จะมีคุณสมบัติในการแปลงความถี่เป็นแรงดันที่มีความเป็นเชิงเส้นในย่านความถี่ที่กว้างขึ้น และมีข้อดีที่ค่าเอาต์พุตของวงจรมีค่าเป็นศูนย์ที่ค่าความถี่คลื่นพาห้

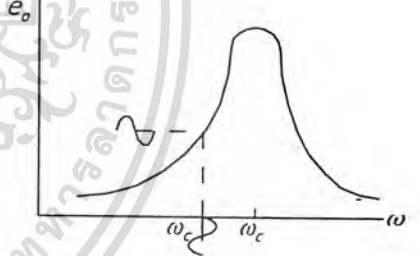
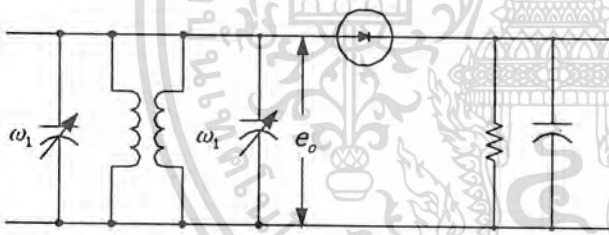
วงจรดีเทกต์ความถี่นั้นสามารถทำได้ในอีกหลายรูปแบบ ซึ่งอาจใช้วิธีการประยุกต์ใช้การตัดข้ามของสัญญาณผ่านค่าศูนย์ (zero crossing) หรือวิธีการเปลี่ยนความถี่เป็นโวลเตจที่ผู้เขียนได้นำเสนอในเอกสารอ้างอิง [36,37] หรือวิธีการใช้หลักการแปลงฮิลเบิร์ต [38,39] ซึ่งมีความแม่นยำสูงก็ได้ หรืออาจใช้การเลียนแบบการมอดูเลตตำแหน่งพัลส์ [40] ก็ได้เช่นกัน อย่างไรก็ตาม อย่างไรก็ดีเรื่องเหล่านี้อยู่พ้นขอบเขตเนื้อหาของหนังสือเล่มนี้ ผู้อ่านที่สนใจสามารถที่จะค้นคว้าเพิ่มเติมได้โดยง่าย



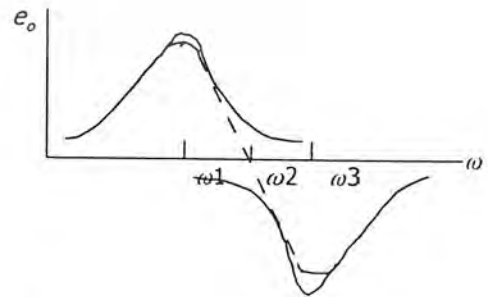
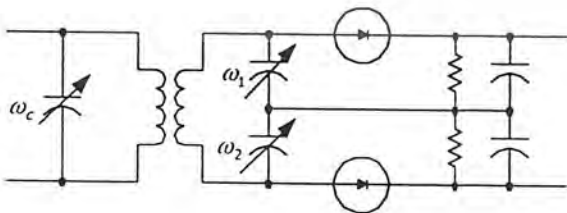
ก. วงจรพื้นฐาน



ข. R-L ดีเทคเตอร์



ค. วงจรจูนเดี่ยว



ง. วงจรจูน 3 ความถี่

รูป 2.3.6 การตีมอดูเลตสัญญาณ เอฟเอ็ม

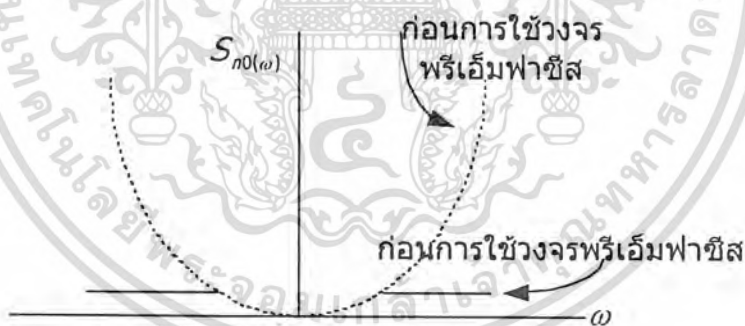
เอกสารนี้เป็นเอกสารที่สงวนไว้สำหรับการใช้งานเพื่อการศึกษาเท่านั้น ไม่อนุญาตให้นำไปใช้ประโยชน์ด้านการค้า ไม่ว่าจะกรณีใดๆ ทั้งสิ้น อีกทั้งห้ามมิให้ตัดแปลงเนื้อหา และต้องอ้างอิงถึงเจ้าของเอกสารทุกครั้งที่มีการนำไปใช้

### 2.3.6 การใช้วงจรถรีเอ็มฟาซิส และวงจรถีเอ็มฟาซิสในระบบเอฟเอ็ม

ในหัวข้อนี้ จะกล่าวถึงพฤติกรรมของสัญญาณรบกวนที่ผ่านวงจรถรีเอ็มฟาซิสในกรณีที่ไว้พอสังเขปก่อนดังต่อไปนี้ คือ เมื่อสมมติว่ามีสัญญาณรบกวนขาวที่มีพีเอสดี คือ  $S_{ni}(\omega) = \eta$  ผ่านวงจรถรีเอ็มฟาซิสในกรณีที่ประกอบด้วยวงจรถำอนุพันธ์สัญญาณนั้น และวงจรถีเอ็มฟาซิส เรา จะพบว่า เพราะค่าฟังก์ชันถ่ายโอนของวงจรถำอนุพันธ์สัญญาณ คือ  $H(\omega) = j\omega$  ดังนั้นจะได้ค่าพีเอสดีของสัญญาณรบกวนที่เอาต์พุตของวงจรถำอนุพันธ์สัญญาณ คือ

$$S_{no}(\omega) = \frac{|H(\omega)|^2 S_{ni}(\omega)}{\eta\omega^2} \quad (2.3.40)$$

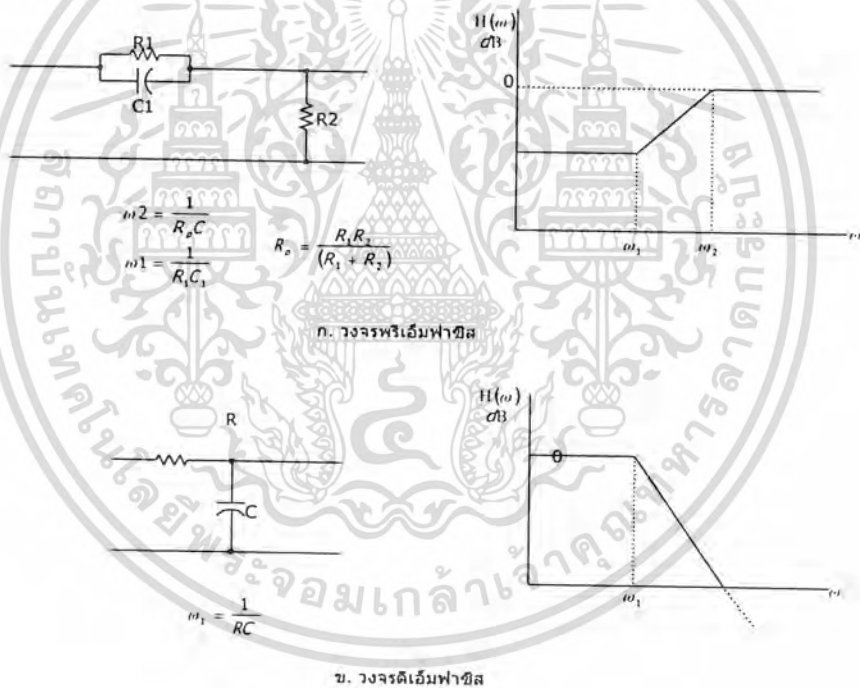
เราจะพบว่า การแจกแจงกำลังของพีเอสดีของสัญญาณรบกวนนั้นมีค่าเพิ่มขึ้น ตามค่ากำลังสองของความถี่ ดังแสดงโดยเส้นประในรูปที่ 2.3.7



รูปที่ 2.3.7 ค่าพีเอสดีของสัญญาณรบกวนในระบบเอฟเอ็มก่อนและหลังการใช้วงจรถรีเอ็มฟาซิส-ดีเอ็มฟาซิส

ดังนั้นจึงเป็นที่คาดได้ว่าค่าเอสเอ็นอาร์ของเอาต์พุตของระบบจะมีค่าแจกแจงที่ความถี่ต่างๆไม่เท่ากันคือที่ความถี่สูงค่าเอสเอ็นอาร์จะมีค่าลดลง เพราะเหตุนี้จึงได้มีการเตรียมแก้พฤติกรรมที่ไม่พึงปรารถนาด้วยการจัดให้มีการสร้างวงจรถำหน้าที่ย้ายสัญญาณองค์ประกอบของสัญญาณข่าวสารที่มีความถี่สูงให้มีค่ามากขึ้นตามค่าความถี่ ทั้งนี้เพื่อใช้ปรับค่าพีเอสดีของสัญญาณข่าวสารขึ้นก่อนที่จะนำไปทำการมอดูเลตความถี่ เพื่อที่จะทำให้ค่าเอสเอ็นอาร์ของสัญญาณข่าวสารเอกสารนี้เป็นเอกสารที่สงวนไว้สำหรับการใช้งานเพื่อการศึกษาเท่านั้น ไม่อนุญาตให้นำไปใช้ประโยชน์ด้านการค้าไม่ว่ากรณีใดๆ ทั้งสิ้น อีกทั้งห้ามมิให้ตัดแปลงเนื้อหา และต้องอ้างอิงถึงเจ้าของเอกสารทุกครั้งที่มีการนำไปใช้

ขึ้นก่อนที่จํานำไปทำการมอดูเลตความถี่ เพื่อที่จะทำให้ค่าแอสเอนอาร์ของสัญญาณภายหลังจากผ่าน การดีมอดูเลตออกมาแล้ว มีค่าประมาณเท่ากันทุกความถี่ข้อมเป็นการแน่นอนว่าเมื่อมีการเตรียม ขยายสัญญาณองค์ประกอบที่ความถี่สูง ทางด้านเครื่องส่งเช่นนี้ ข้อมจะทำให้ค่าพีเอสดีของสัญญาณ ข่าวสารผิดไป ดังนั้นทางด้านเครื่องส่งเช่นนี้ ข้อมจะทำให้ค่าพีเอสดีของสัญญาณข่าวสารผิดไป ดัง นั้นทางด้านเครื่องรับจึงจําเป็นจะต้องมีวงจรที่มีคุณสมบัติตรงกันข้ามกับวงจรที่ใช้ทางด้านเครื่อง ส่ง มาเพิ่มเข้าต่อจากวงจรที่ทำการดีมอดูเลตสัญญาณ เพื่อที่จะใช้แกหรือชดเชยความผิดเพี้ยนของพี เอสดีของสัญญาณให้กลับเหมือนเดิม วงจรที่ใช้ปรับค่าพีเอสดีของสัญญาณทางด้านเครื่องส่งนั้นมี ชื่อเรียกว่า วงจรพรีเอมฟาสีส (pre-emphasis) และวงจรทางด้านเครื่องรับที่ใช้ปรับค่าพีเอสดีของ สัญญาณข่าวสารให้กลับเหมือนเดิมนั้นมีชื่อเรียกว่า วงจรดีเอมฟาสีส (de-emphasis) การใช้วงจรพี



รูป 2.3.8 พรีเอมฟาสีส - ดีเอมฟาสีสที่ใช้ RC และภาพวาดของโบ

เอมฟาสีส และวงจรดีเอมฟาสีสนี้มีผลเทียบเท่ากับ การใช้วงจรที่ช่วยปรับให้ค่าพีเอสดีของสัญญาณ ครอบคลุม  $S_{no}(\omega)$  มีลักษณะดีขึ้น ดังแสดงในรูปที่ 2.3.7 คือ มีการปรับตัวจากที่มีลักษณะเป็นเส้น ประ กลายลงมาเป็นตามเส้นทึบในรูปนั้น

เอกสารนี้เป็นเอกสารที่สงวนไว้สำหรับการใช้งานเพื่อการศึกษาเท่านั้น ไม่อนุญาตให้นำไปใช้ประโยชน์ด้านการค้า ไม่ว่ากรณีใดๆ ทั้งสิ้น อีกทั้งห้ามมิให้ตัดแปลงเนื้อหา และต้องอ้างอิงถึงเจ้าของเอกสารทุกครั้งที่มีการนำไปใช้

ค่าฟังก์ชันถ่ายโอนของวงจรพีเอมพีเอซีที่ควรเป็น คือ ควรมีค่าคงที่ที่บริเวณความถี่ต่ำ และปฏิบัติตัวคล้ายวงจรทำอนุพันธ์ที่ความถี่สูงขึ้นมา ปรกติแล้วในทางปฏิบัติจะใช้วงจรอาร์ซี (RC) ดังแสดงในรูปที่ 2.3.8 ก ซึ่งจะมึรูปแบบของขนาดฟังก์ชันการถ่ายโอนที่เขียนด้วยวิธีการของโบด (Bode's plot) ดังแสดงอยู่รูปข้างเคียงกัน การเลือกค่าความถี่ห้กมม  $\omega_1$  ในทางปฏิบัติ นั้นมักเลือกที่ค่าความถี่ที่มีค่าพีเอสดี ของสัญญาณรบกวนทางอากาศลง 3 เดซิเบล ซึ่งสำหรับในระบบวิทยุกระจายเสียง จะใช้ค่า  $f_1 = 2.1$  กิโลเฮิรตซ์ ( $RC = 75$  ไมโครวินาที) และเลือกค่า  $\omega_2$  ที่ความถี่สูงกว่าความถี่ของเสียงที่นำมามอดูเลต วงจรพีเอมพีเอซีที่ใช้ทางเครื่องรับจะเป็นวงจรอาร์ซีง่าย ๆ ดังแสดงในรูป 2.3.8 ข ซึ่งมีรูปแบบที่เขียนด้วยวิธีการของโบด ดังแสดงอยู่คู่กัน

### 2.3.7 การแทรกสอดในระบบสัญญาณเอฟเอ็ม

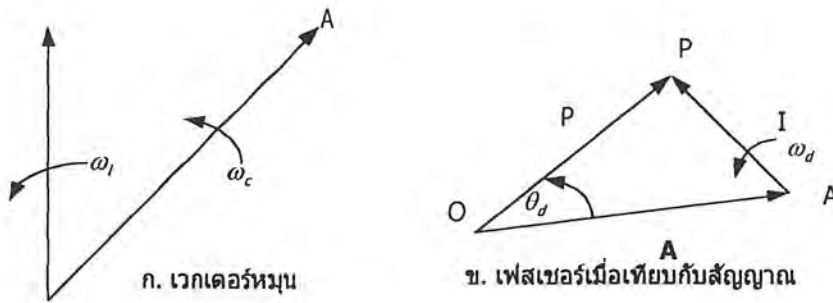
สัญญาณแทรกสอดในระบบสัญญาณเอฟเอ็มนั้นอาจมาจากสถานีวิทยุข้างเคียงที่ใช้ค่าความถี่ของคลื่นพาห้ที่ใกล้เคียงกัน หรือใช้ความถี่ที่ทับกัน ในหัวข้อนี้จะพิจารณาผลของการแทรกสอดดังต่อไปนี้ คือ จะสมมติว่าสัญญาณแทรกสอดนั้นเป็นสัญญาณสถานีอื่น ซึ่งไม่มีการมอดูเลต กล่าวคือ มีแต่คลื่นพาห้เท่านั้น คือ กำหนดให้คลื่นแทรกสอด  $i(t)$  เป็นดังนี้คือ

$$i(t) = I \cos(\omega_c t) \quad (2.3.41)$$

และกำหนดให้สถานีส่งที่ถูกแทรกสอดนั้นใช้คลื่นพาห้ คือ

$$\phi(t) = A \cos(\omega_c t) \quad (2.3.42)$$

โดยการเขียนเวกเตอร์หมุนแทนสัญญาณทั้งสองนี้ จะได้รูปเวกเตอร์เป็นดังแสดงในรูปที่ 2.3.9(ก) สัญญาณแทรกสอดนี้จะตี (beat) กับสัญญาณคลื่นพาห้ด้วยความถี่  $\omega_d = \omega_c - \omega_c$  ซึ่งถ้าตีว่าเวกเตอร์หมุนในแนว OA คือ A เป็นเวกเตอร์อ้างอิงจะทำให้ได้เฟสเวกเตอร์ หรือ เฟเซอร์ดังแสดงในรูปที่ 2.3.9(ข) ซึ่งจะทำให้รู้ค่าเฟเซอร์ลิฟท์ P ในแนว OP ว่าเป็นดังนี้คือ



รูปที่ 2.3.12 การเขียนเวกเตอร์หมุนและเฟสเซอร์แสดงผลที่เกิดจากการแทรกสอดของสัญญาณในระบบเอฟเอ็ม

$$\begin{aligned}\bar{P} &= \bar{A} + \bar{I}e^{j\omega_d t} \\ &= \bar{A} + \bar{I} \cos(\omega_d t) + j\bar{I} \sin(\omega_d t) \\ &= \bar{e}(t)e^{j\theta_d}\end{aligned}\quad (2.3.43)$$

โดยในที่นี้ได้กำหนดให้

$$e(t) = \sqrt{[\bar{A} + \bar{I} \cos(\omega_d t)]^2 + [\bar{I} \sin(\omega_d t)]^2}\quad (2.3.44)$$

และ

$$\theta_d(t) = \tan^{-1} \left[ \frac{\bar{I} \sin(\omega_d t)}{\bar{A} + \bar{I} \cos(\omega_d t)} \right]\quad (2.3.45)$$

จะพบว่า ถ้า  $I \ll A$  จะเป็นผลให้

$$\theta_d(t) \approx \frac{\bar{I}}{\bar{A}} \sin(\omega_d t) = \frac{I}{A} \sin(\omega_d t)\quad (2.3.46)$$

จากสมการของเฟสเซอร์ (2.3.43) จะเขียนแปลงเป็นสมการของคลื่นเอฟเอ็มได้ดังนี้

$$\phi_{FM}(t) = e(t) \cos(\omega_d t + \theta_d)\quad (2.3.47)$$

เอกสารนี้เป็นเอกสารที่สงวนไว้สำหรับการใช้งานเพื่อการศึกษาเท่านั้น ไม่อนุญาตให้นำไปใช้ประโยชน์ด้านการค้า ไม่ว่าจะกรณีใดๆ ทั้งสิ้น อีกทั้งห้ามมิให้ตัดแปลงเนื้อหา และต้องอ้างอิงถึงเจ้าของเอกสารทุกครั้งที่มีการนำไปใช้

ปรกติในการตีเทกต์สัญญาณเอฟเอ็ม การกระเพื่อมของเอนVELOPE  $e(t)$  จะถูกจำกัด โดยวงจร ลิมิตเตอร์ ทำให้คิดได้ว่า  $e(t)$  จะไม่มีผลทำให้เกิดการรบกวนขึ้นกับสัญญาณเอาต์พุต แต่สัญญาณเอาต์พุตจริงๆ จะได้มาจากการทำอนุพันธ์ของ  $\theta_d(t)$  เทียบกับเวลา ตามหลักการในหัวข้อ 2.3.5 ดังนั้น เมื่ออาศัยสมการ(2.3.46) จะรู้ค่าเอาต์พุต  $\theta_d(t)$  ของวงจรดิสคริมีเนตความถี่ว่า คือ

$$\theta_d(t) = \frac{d\theta_d(t)}{dt} = \frac{I\omega_d}{A} \cos(\omega_d t) \quad (2.3.48)$$

ซึ่งค่า  $\theta_d(t)$  นี้คือ ค่าเอาต์พุตที่เกิดจากสัญญาณแทรกสอด  $i(t)$  ดังนั้นสัญญาณ  $\theta_d(t)$  ส่วนนี้จะเป็นส่วนของสัญญาณรบกวนเกิดขึ้นที่เอาต์พุต ซึ่งเราจะเห็นได้ว่าอิทธิพลของสัญญาณแทรกสอด จะมีผลแปรผกผันกลับกับค่าแอมพลิจูดของคลื่นพาห้  $A$  กล่าวคือ ถ้าคลื่นพาห้มีขนาดแรง สัญญาณเอฟเอ็มจะกดค่าสัญญาณแทรกสอดให้ต่ำลงให้หายไป โดยเฉพาะอย่างยิ่งเมื่อสัญญาณแทรกสอดมีความถี่ใกล้เคียงกับสัญญาณเอฟเอ็มมากๆ ( $\omega_d \approx 0$ ) ทั้งนี้เพราะค่าการรบกวนจากการแทรกสอดแปรผันโดยตรงกับ  $\omega_d$  (พิจารณาสมการ(2.3.48) ประกอบ) ปรากฏการณ์เช่นนี้ มีชื่อเรียกว่า แคปเจอร์เอฟเฟกต์ (capture effect) เป็นที่น่าสนใจว่า ถ้าสถานีส่งเอฟเอ็มสองสถานีซึ่งมีความถี่คลื่นพาห้ต่างกันเพียงเล็กน้อย คือ มีความต่างกันอยู่ในย่านของสัญญาณเสียงแล้ว สัญญาณจากสถานีที่มีกำลังส่งมากจะกดสัญญาณเสียงจากสถานีที่มีกำลังส่งน้อยให้ไม่ปรากฏออกมาได้ด้วยผลของแคปเจอร์เอฟเฟกต์ดังกล่าวแล้ว

## 2.4 รายละเอียดโดยสังเขปของ ไอซี SAA 6579

### (Radio Data System (RDS) Demodulator)

SAA 6579 เป็นวงจรรวมแบบ CMOS ใช้สำหรับการดีมอดูเลต(Demodulation)ในระบบ RDS ทำให้สามารถที่จะรับข้อมูลข่าวสารที่ไม่ใช่เสียงจากการกระจายเสียงแบบ เอฟเอ็ม(FM)ได้

สัญญาณเอาท์พุทที่ได้จากวงจรรวมนี้คือสัญญาณข้อมูล(Data Signal) และสัญญาณนาฬิกา(Clock signal) ทั้งนี้เพื่อความสะดวกในการประมวลผลและถอดรหัสด้วยไมโครคอมพิวเตอร์ต่อไป

ภายในของวงจรรวมจะมีแบนด์พาสฟิลเตอร์(Bandpass Filter) ซึ่งจะกรองความถี่ 57 kHz ออกมาและมีดิจิตอลดีมอดูเลเตอร์(Digital demodulator) ในการแยกเอาข้อมูล RDS ออกมาจากสัญญาณมัลติเพลกซ์(Multiplex signal)

#### 2.4.1 ส่วนของฟิลเตอร์(Filter part)

สัญญาณมัลติเพลกซ์จะผ่านฟิลเตอร์แบบแอนติไลซิงฟิลเตอร์ อันดับสอง(2<sup>nd</sup> Order Anti-aliasing filter)และส่งต่อไปที่ 57 kHz แบนด์พาสฟิลเตอร์เป็นฟิลเตอร์อันดับแปดมีความกว้างของย่านความถี่ 3 kHz ) เพื่อที่จะแยกเอาสัญญาณ RDS ฟิลเตอร์นี้ใช้คาปาซิเตอร์สวิทช์เทคนิคมาใช้และใช้สัญญาณนาฬิกาที่มีความถี่ 541.5 kHz ซึ่งได้มาจากผลึกแร่ความถี่ 4.332 MHz หรือ 8.664 MHz เป็นตัวออสซิลเลทจากนั้นสัญญาณจะถูกส่งเข้ามาที่รีคอนสตรักชันฟิลเตอร์(Reconstruction filter) เพื่อให้รูปร่างของสัญญาณที่ได้จากการกรอง(สัญญาณ RDS) มีความสมบูรณ์พอก่อนที่จะส่งออกไปที่ขา 8 ของวงจรรวมและจะมีสัญญาณ เอซีครัปเปิล(AC-Coupled)เป็นสัญญาณเปรียบเทียบอยู่ที่ขา 7 ซึ่งตัวเปรียบเทียบ(Comparator) นี้จะใช้สัญญาณนาฬิกาความถี่ 228 kHz (ซิงโครไนซ์ด้วยสัญญาณความถี่ 57 kHz ของดีมอดูเลเตอร์)

#### 2.4.2 ส่วนของดิจิตอล(Digital part)

วงจรถิงโครไนซ์ดีมอดูเลเตอร์ที่มีการกู้สัญญาณคลื่นพาห้จากการดีมอดูเลทสัญญาณดิจิตอลแล้วส่งผ่านวงจรถึงโครไนซ์ฟิลเตอร์ (Lowpass filter) จะได้ลักษณะของพัลส์(Pulse) ออกมา

เอกสารนี้เป็นเอกสารที่สงวนไว้สำหรับการใช้งานเพื่อการศึกษาเท่านั้น ไม่อนุญาตให้นำไปใช้ประโยชน์ด้านการค้า ไม่ว่าจะกรณีใดๆ ทั้งสิ้น อีกทั้งห้ามมิให้ดัดแปลงเนื้อหา และต้องอ้างอิงถึงเจ้าของเอกสารทุกครั้งที่มีการนำไปใช้

เหมือนกับทางด้านที่ส่งมา ซึ่งในทางอุดมคติแล้วจะต้องเหมือนกันทุกประการเมื่อผ่านวงจรกรองความถี่แล้ว

วงจรรวมอินทิเกรต (Integrate Circuit) และวงจรดั้มพ์ (Dump Circuit) จะทำการรวมสัญญาณภายใต้สัญญาณนาฬิกาผลที่ได้จากการคิมอดูเลทสัญญาณและสัญญาณในรูปแบบของสัญญาณ RDS ที่อยู่ในรูปแบบไบเฟส (Biphase Symbols) ก็คือสัญญาณที่ได้จากวงจรรวมอินทิเกรตและวงจรดั้มพ์และทำที่สุคสัญญาณ RDS ที่เป็นไบเฟสนี้จะถูกถอดรหัส (Decoding)

### 2.4.3 ส่วนของเวลา(Timing)

สามารถกำหนดผลึกแร่ในการอสซิลเลทได้สองความถี่คือ 4.332 MHz และ 8.664 MHz เพื่อให้กำเนิดสัญญาณนาฬิกาของระบบ RDS ที่ความถี่ 1.1875 kHz (ออกมาที่ ขา RDCL ของ SAA 6579) ทำให้ข้อมูล

หมายเหตุ รายละเอียดของ SAA 6579 ทั้งหมดดูได้ที่ภาคผนวกท้ายเล่ม

## บทที่ 3

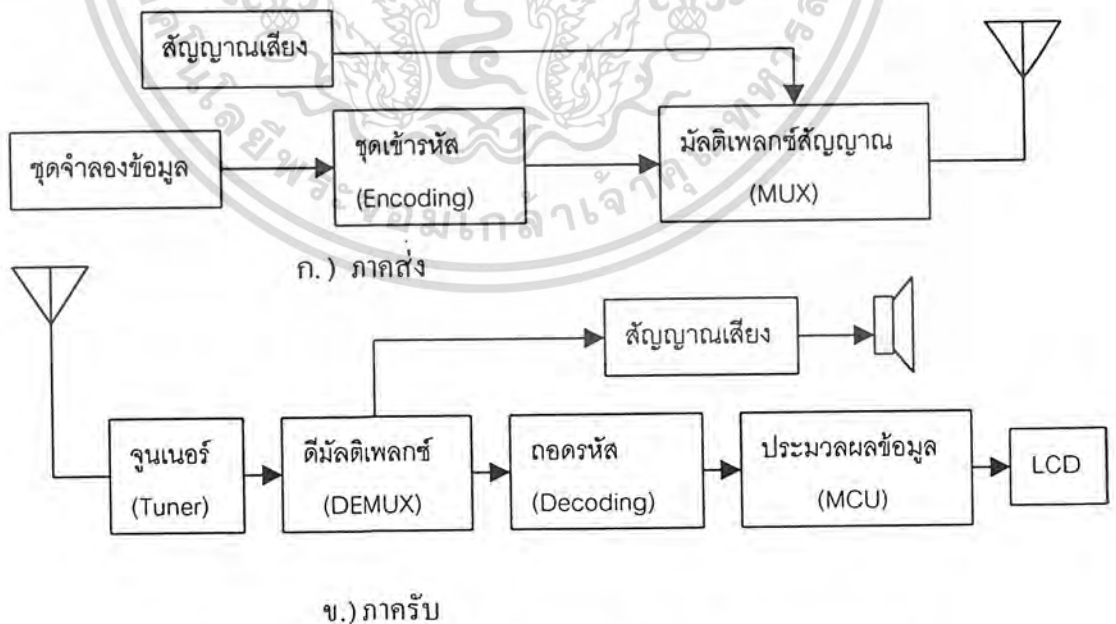
### หลักการและการออกแบบ

#### 3.1 แนวคิดและที่มา

เนื่องด้วยในประเทศไทยตอนนี้ยังไม่มีสถานีส่งในระบบ RDS ดังนั้นจึงได้อาศัยโครงการที่มีอยู่แล้วคือ โครงการเครื่องส่งวิทยุระบบเอฟเอ็มมัลติเพลกซ์ และโครงการเครื่องเข้ารหัสในระบบ RDS ดังนั้นการออกแบบจะต้อง ทำชุดจำลองข้อมูลเพื่อที่จะส่งให้กับชุดเข้ารหัสและทำการมัลติเพลกซ์สัญญาณเพื่อส่งออกอากาศต่อไป

เมื่อได้สัญญาณที่มีการมัลติเพลกซ์กับข้อมูลที่เข้ารหัสในระบบ RDS แล้วจากนั้นจึงทำการออกแบบเครื่องรับวิทยุที่มีการถอดรหัสข้อมูลด้วย โดยอาศัยวงจรรจูนเนอร์ (Tuner Circuit) ของวิทยุเอฟเอ็ม และไอซีคีมอดูเลทของระบบ RDS (SAA 6579) และใช้ไมโครคอนโทรลเลอร์ในการประมวลผลข้อมูล

#### 3.2 ขั้นตอนการออกแบบ



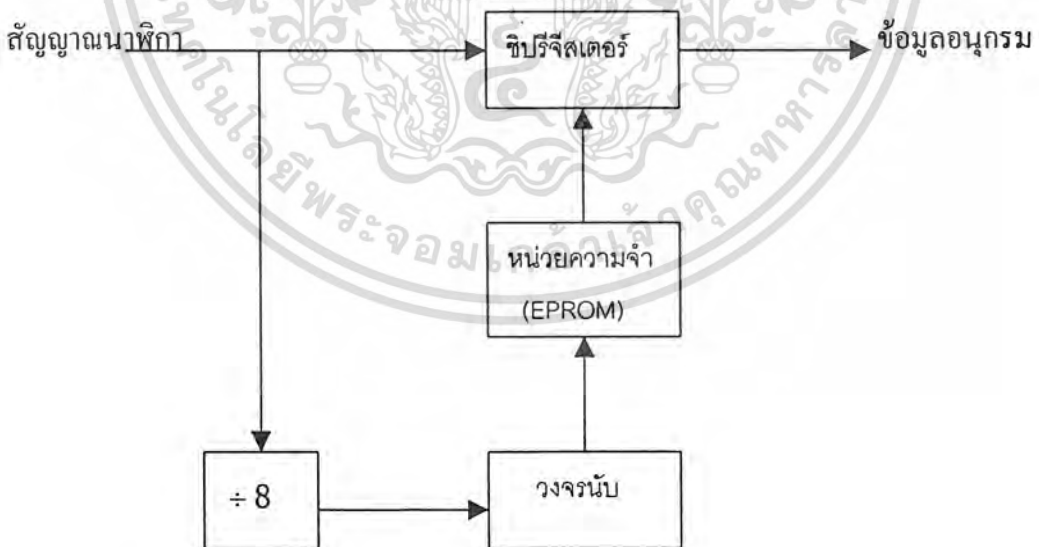
รูปที่ 3.1 (ก.)บล็อกไดอะแกรมภาคส่ง (ข.)บล็อกไดอะแกรมภาครับ

เอกสารนี้เป็นเอกสารที่สงวนไว้สำหรับการใช้งานเพื่อการศึกษาเท่านั้น ไม่อนุญาตให้นำไปใช้ประโยชน์ด้านการค้า ไม่ว่าจะกรณีใดๆ ทั้งสิ้น อีกทั้งห้ามมิให้ตัดแปลงเนื้อหา และต้องอ้างอิงถึงเจ้าของเอกสารทุกครั้งที่มีการนำไปใช้

จากรูป 3.1 จะเป็นบล็อกไดอะแกรมของระบบทั้งหมด แต่ในโครงการนี้จะทำเฉพาะชุดจำลองข้อมูลในภาคส่งและในส่วนของภาครับทั้งหมด ในส่วนของชุดจำลองข้อมูลอาศัยหน่วยความจำชนิดอ่านอย่างเดียว(EPROM)ใช้ AT27C256R เป็นตัวเก็บข้อมูลที่จะใช้ส่ง จากนั้นจะใช้วงจรนับในการเรียกข้อมูลออกมาโดยจะต่ออยู่ที่ขา แอดเดส(Address)ของหน่วยความจำ ในส่วนของภาครับจะอาศัยวงจรจูนเนอร์ของวิทยุเอฟเอ็มและไอซีตีโมคูเลเตอร์ของระบบ RDS (SAA6579) ในการแยกเอาสัญญาณเสียงและข้อมูลออกจากคลื่นพาห่จากนั้นจะนำเอาข้อมูลที่ได้อมาทำการประมวลผลเพื่อที่จะแสดงที่ภาคแสดงผล(LCD)

### 3.2.1 ชุดจำลองข้อมูล

ข้อมูลที่จะใช้นั้นจะเป็นตัวอักษร(Character)ซึ่งจะเป็นรหัสแอสกี(ASCII Code)และรูปแบบในการส่งจะประกอบด้วยบิตเริ่มต้นเป็น FF (ฐานสิบหก)และตามด้วยรหัสแอสกีซึ่งข้อมูลเหล่านี้จะถูกโปรแกรมลงในหน่วยความจำและถูกกวาดออกมาโดยวงจรนับโดยใช้สัญญาณนาฬิกาจากชุดเข้ารหัส จากนั้นข้อมูลผ่านชิปรีจิสเตอร์เพื่อให้ได้ข้อมูลที่เป็นอนุกรม ข้อมูลเหล่านี้จะนำไปป้อนให้กับชุดเข้ารหัส



รูปที่ 3.2 บล็อกไดอะแกรมของชุดจำลองข้อมูล

เอกสารนี้เป็นเอกสารที่สงวนไว้สำหรับการใช้งานเพื่อการศึกษาเท่านั้น ไม่อนุญาตให้นำไปใช้ประโยชน์ด้านการค้า ไม่ว่าจะกรณีใดๆ ทั้งสิ้น อีกทั้งห้ามมิให้ตัดแปลงเนื้อหา และต้องอ้างอิงถึงเจ้าของเอกสารทุกครั้งที่มีการนำไปใช้

### 3.2.2 ภาครับ

#### 3.2.2.1 วงจรจูนเนอร์

อาศัยวงจรจูนเนอร์ที่ได้รับการออกแบบสำหรับเครื่องรับวิทยุเอฟเอ็มสเตอริโอมัลติเพลกซ์ ซึ่งจะได้สัญญาณความถี่กลางของเสียงและสัญญาณ อาร์ดีเอส และนั่นก็เพียงพอที่จะได้สัญญาณเสียงและข้อมูล สัญญาณ อาร์ดีเอส ที่ได้จะถูกส่งไปที่วงจรดีมอดูเลเตอร์ของระบบอาร์ดีเอสเพื่อกู้สัญญาณนาฬิกาและพัลส์ของข้อมูลที่ส่งมาด้วย

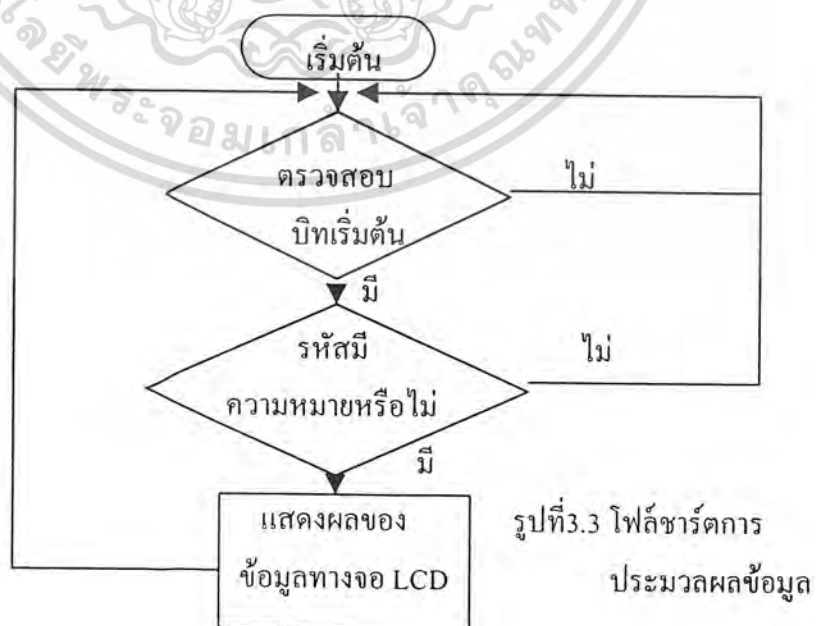
#### 3.2.2.2 วงจรดีมอดูเลเตอร์

วงจรดีมอดูเลเตอร์จะอาศัยไอซี SAA 6579 ซึ่งทำหน้าที่ในการดีมอดูเลตสัญญาณในระบบอาร์ดีเอสสัญญาณที่ได้จากวงจรดีมอดูเลเตอร์คือสัญญาณนาฬิกาของระบบมีความถี่ 1.1875 kHz และพัลส์ของข้อมูลที่มีลักษณะเป็นบิตอนุกรมซึ่งมีอัตราส่วนของข้อมูลสัมพันธ์กับสัญญาณนาฬิกาของระบบ

#### 3.2.2.3 ภาคประมวลผลและแสดงข้อมูล

บอร์ด AVR เวอร์ชัน 2 จะทำหน้าที่ในการประมวลผลและแสดงข้อมูลด้วยจอ LCD ขนาด 16 ตัวอักษร 2 บรรทัด บอร์ดทดลองที่นำมาใช้นี้มี ไมโครคอนโทรลเลอร์เบอร์ AT 90S8535 เป็นตัวประมวลผลและส่งข้อมูลออกมาทาง LCD โมดูลของบอร์ดนี้

ขั้นตอนการทำงานสามารถเขียนเป็นโฟลว์ชาร์ตเพื่อเป็นแนวทางในการออกแบบชุดคำสั่งในการประมวลผลดังนี้



เอกสารนี้เป็นเอกสารที่สงวนไว้สำหรับการใช้งานเพื่อการศึกษาเท่านั้น ไม่อนุญาตให้นำไปใช้ประโยชน์ด้านการค้า ไม่ว่าจะกรณีใดๆ ทั้งสิ้น อีกทั้งห้ามมิให้ตัดแปลงเนื้อหา และต้องอ้างอิงถึงเจ้าของเอกสารทุกครั้งที่มีการนำไปใช้

## บทที่ 4

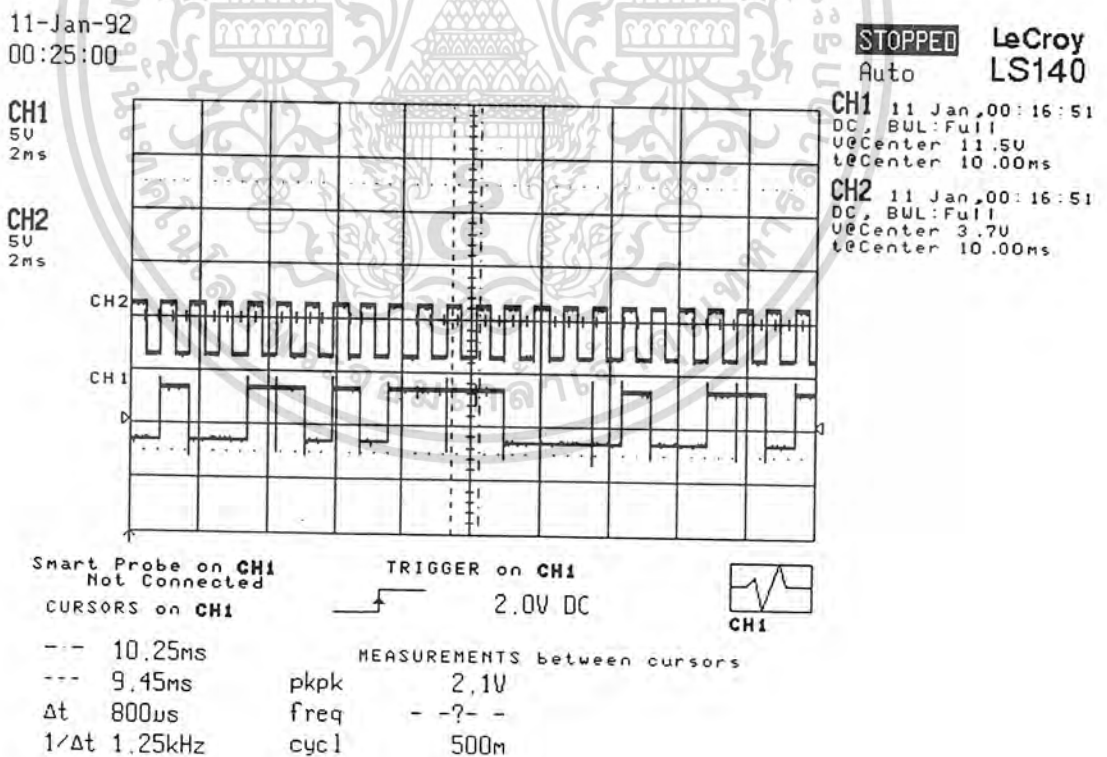
### การทดลอง

หลังจากที่ออกแบบส่วนต่างๆ ในบทที่ 3 แล้ว จะเริ่มทำการทดลองทีละส่วนโดยจะเริ่มจากชุดจำลองข้อมูล ส่วนของวงจรดีมอดูเลเตอร์และภาคประมวลผลและแสดงข้อมูลตามลำดับ

#### 4.1 ขั้นตอนการทดลอง

##### 4.1.1 ชุดจำลองข้อมูล

- 1.) ทำการต่อวงจรชุดจำลองข้อมูลตามวงจรที่ได้ออกแบบไว้
- 2.) นำเอาสัญญาณนาฬิกาจากเครื่องเข้ารหัสระบบ RDS มาต่อในวงจรชุดจำลองข้อมูลที่ได้ออกไว้
- 3.) ใช้ออสซิลโลสโคปวัดสัญญาณเอาต์พุตของวงจรเทียบกับสัญญาณนาฬิกาของเครื่องเข้ารหัสระบบ RDS

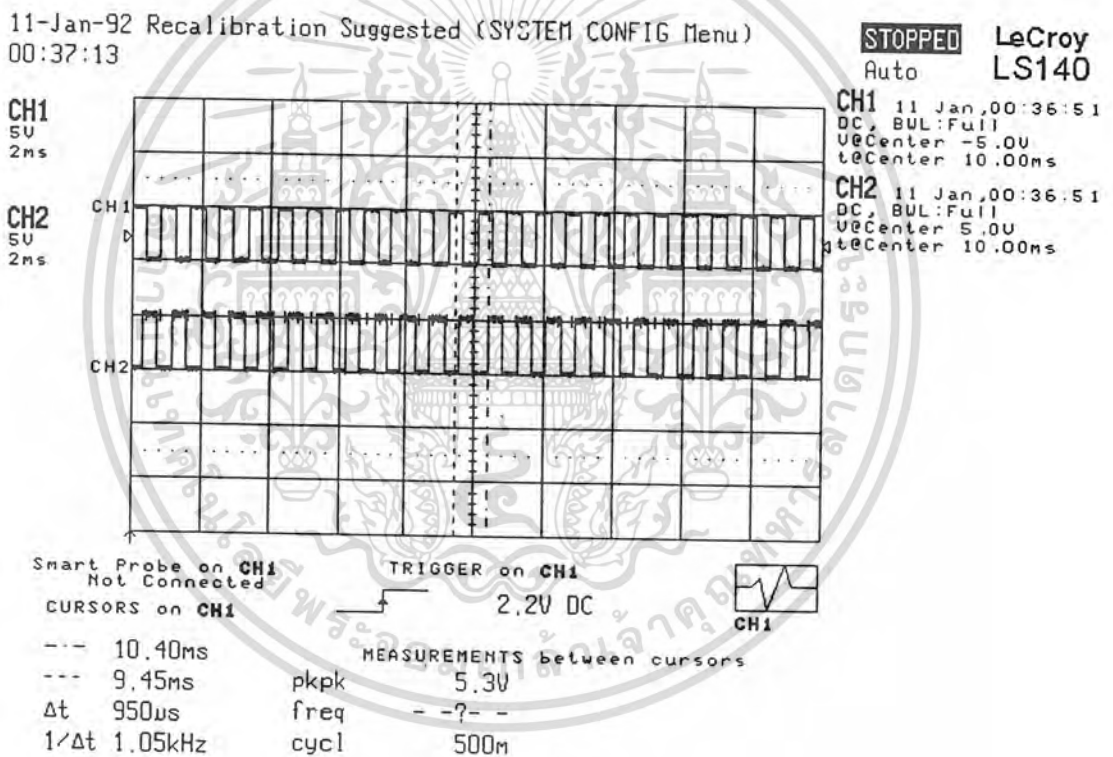


รูปที่ 4.1 รูปสัญญาณจากชุดจำลองข้อมูล(CH1)และสัญญาณนาฬิกา(CH2)

เอกสารนี้เป็นเอกสารที่สงวนไว้สำหรับการใช้งานเพื่อการศึกษาเท่านั้น ไม่อนุญาตให้นำไปใช้ประโยชน์ด้านการค้า ไม่ว่าจะกรณีใดๆ ทั้งสิ้น อีกทั้งห้ามมิให้ตัดแปลงเนื้อหา และต้องอ้างอิงถึงเจ้าของเอกสารทุกครั้งที่มีการนำไปใช้

#### 4.1.2 วงจรดีมอดูเลเตอร์

- 1.) นำเอาเอาท์พุทของชุดจำลองข้อมูลเข้าที่ DATA INPUT ของเครื่องเข้ารหัสระบบ RDS และต่อวงจรดีมอดูเลเตอร์เข้าที่ RDS Signal ดังรูป
- 2.) วัดสัญญาณที่ขา 16 ของไอซี SAA 6579 (สัญญาณนาฬิกาที่ได้กลับมาแล้วจากสัญญาณ RDS (RDS Signal)) เทียบกับสัญญาณนาฬิกาของเครื่องเข้ารหัสระบบ RDS



รูปที่ 4.2 รูปสัญญาณนาฬิกาของเครื่องเข้ารหัส(CH1)และสัญญาณจากขา 16 ของ ไอซี SAA 6579

- 3.) วิเคราะห์และตรวจสอบสัญญาณที่ได้การจากวัดเทียบสัญญาณต้องเหมือนกัน ทั้งสองรูปคลื่นสัญญาณ
- 4.) วัดสัญญาณที่ขา 2 ของไอซี SAA 6579 (สัญญาณข้อมูลที่ได้จากสัญญาณ RDS ) เทียบกับเอาท์พุทของชุดจำลองข้อมูล

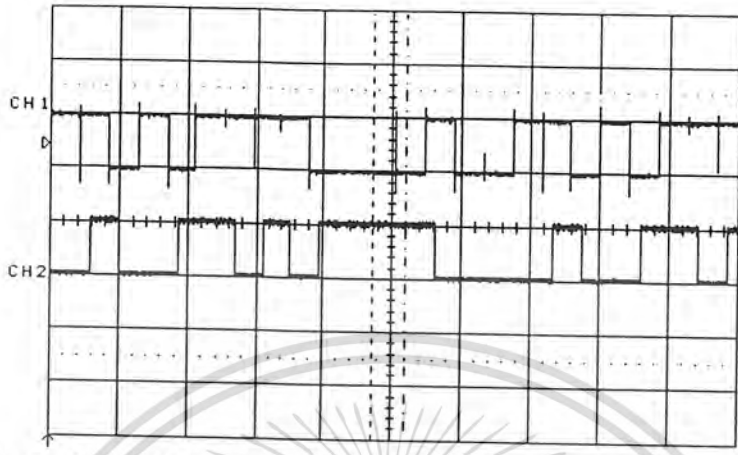
เอกสารนี้เป็นเอกสารที่สงวนไว้สำหรับการใช้งานเพื่อการศึกษาเท่านั้น ไม่อนุญาตให้นำไปใช้ประโยชน์ด้านการค้า ไม่ว่าจะกรณีใดๆ ทั้งสิ้น อีกทั้งห้ามมิให้ตัดแปลงเนื้อหา และต้องอ้างอิงถึงเจ้าของเอกสารทุกครั้งที่มีการนำไปใช้

11-Jan-92  
00:39:29

**STOPPED** LeCroy  
Auto LS140

CH1  
5V  
2ms

CH2  
5V  
2ms



CH1 11 Jan,00:39:02  
DC, BUL:Full  
VCenter: -5.0V  
tCenter: 10.00ms

CH2 11 Jan,00:39:02  
DC, BUL:Full  
VCenter: 5.0V  
tCenter: 10.00ms

Smart Probe on CH1  
Not Connected

CURSORS on CH1

TRIGGER on CH1 2.2V DC

MEASUREMENTS between cursors

--	10.40ms		
---	9.45ms	pkpk	7.8V
Δt	950μs	freq	- ? -
1/Δt	1.05kHz	cycl	500m

CH1

รูปที่ 4.3 รูปสัญญาณของเอาต์พุตชุดจำลองข้อมูล(CH1)และสัญญาณจากขา 2 ของไอซี SAA6579

5.) วิเคราะห์และตรวจสอบสัญญาณที่ได้จากการวัดเทียบสัญญาณต้องเหมือนกัน ทั้งสองรูปคลื่นสัญญาณ

### 4.1.3 ภาคประมวลผลและแสดงข้อมูล

- 1.) นำสัญญาณนาฬิกาและสัญญาณข้อมูลที่ได้จากวงจรคิมอดูเลเตอร์มาต่อเข้ากับ ไมโครคอนโทรลเลอร์เพื่อทำการประมวลผล
- 2.) ทำการออกแบบชุดคำสั่งเพื่อแสดงข้อมูลที่รับมาบนจอ LCD

เอกสารนี้เป็นเอกสารที่สงวนไว้สำหรับการใช้งานเพื่อการศึกษาเท่านั้น ไม่อนุญาตให้นำไปใช้ประโยชน์ด้านการค้า ไม่ว่าจะกรณีใดๆ ทั้งสิ้น อีกทั้งห้ามมิให้ตัดแปลงเนื้อหา และต้องอ้างอิงถึงเจ้าของเอกสารทุกครั้งที่มีการนำไปใช้

## บทที่ 5

### บทสรุปและวิจารณ์

เนื่องด้วยในประเทศไทยยังไม่มีสถานีส่งในระบบ RDS ดังนั้นการทดลองและการออกแบบเครื่องรับวิทยุในระบบนี้จึงเป็นไปอย่างไม่สมบูรณ์นัก แต่ทั้งนี้ได้มีหน่วยงานที่ได้พัฒนาอุปกรณ์เพื่อรองรับระบบนี้อยู่บ้างจึงทำให้การสร้างสะดวกขึ้นอย่างเช่น ไอซีดีมอดูเลเตอร์ในระบบ RDS (SAA 6579) ของบริษัทฟิลลิป เป็นต้น

จากการทดลองในบทที่ 4 จะเห็นได้ว่ารูปสัญญาณของพัลส์ข้อมูลที่ได้จากชุดจำลองข้อมูลกับรูปสัญญาณของพัลส์ข้อมูลที่ได้จากวงจรดีมอดูเลเตอร์จะมีความล่าหลังกันอยู่ เป็นไปได้อย่างมากว่าหากมีการส่งออกอากาศจริงความผิดพลาดของข้อมูลต้องเกิดขึ้นอย่างแน่นอน ทั้งนี้การทดลองที่ได้ปฏิบัตินั้นเป็นเพียงแค่การนำสัญญาณนาฬิกาและสัญญาณอาร์ดีเอสจากเครื่องเข้ารหัสระบบอาร์ดีเอสเท่านั้นผลที่ได้จึงมีความผิดพลาดน้อย

ความผิดพลาดของข้อมูลที่เกิดขึ้นนั้นอาจแก้ไขได้ด้วยการเพิ่มส่วนของวงจรรองความถี่และการตรวจสอบแก้ไขข้อผิดพลาดของข้อมูล(Error collection)

ภายในเครื่องรับวิทยุเอฟเอ็มระบบ RDS จะประกอบด้วยสามส่วนหลักๆคือ

- 1.) ส่วนของภาคจูนเนอร์ซึ่งเป็นจูนเนอร์ของเครื่องรับวิทยุเอฟเอ็มมัลติเพลกซ์ทั่วไป
- 2.) ส่วนของภาคดีมอดูเลชัน ทำหน้าที่ในการกู้สัญญาณนาฬิกาของระบบและข้อมูลที่ส่งมาจากสถานีส่งระบบ RDS
- 3.) ส่วนของภาคประมวลผลและแสดงข้อมูล ในโครงการนี้ใช้ไมโครคอนโทรลเลอร์ในการประมวลผลและใช้ LCD ในการแสดงข้อมูลทั้งนี้อาจใช้ไมโครคอมพิวเตอร์ในการประมวลผลและแสดงข้อมูลก็ได้เช่นกัน

ดังนั้นจึงเห็นได้ว่าสามารถที่จะดัดแปลงเครื่องรับวิทยุเอฟเอ็มมัลติเพลกซ์ทั่วไปให้เป็นเครื่องรับวิทยุเอฟเอ็มในระบบ RDS ได้ โดยอาศัยวงจรดีมอดูเลเตอร์และชุดคำสั่งในการประมวลผลเพื่อแสดงข้อมูลโดยจะใช้ไมโครคอนโทรลเลอร์และจอ LCD หรือจะใช้ไมโครคอมพิวเตอร์ก็ได้

## บรรณานุกรม

1. รศ.ดร. วิวัฒน์ ตีรานนท์ วิศวกรรมกรรมการสื่อสาร อักษรสยามการพิมพ์  
กรุงเทพมหานคร 2540.
2. รศ. ประกิจ ตั้งศิษานนท์ วิศวกรรมกรรมการสื่อสารไฟฟ้า-อิเล็กทรอนิกส์ ภาค  
วิศวกรรมโทรคมนาคม คณะวิศวกรรมศาสตร์ สถาบันเทคโนโลยีพระจอมเกล้าเจ้า  
คุณทหารลาดกระบัง กรุงเทพมหานคร 2539.
3. [www. Philips.com](http://www.Philips.com).



เอกสารนี้เป็นเอกสารที่สงวนไว้สำหรับการใช้งานเพื่อการศึกษาเท่านั้น ไม่อนุญาตให้นำไปใช้ประโยชน์ด้านการค้า  
ไม่ว่ากรณีใดๆ ทั้งสิ้น อีกทั้งห้ามมิให้ตัดแปลงเนื้อหา และต้องอ้างอิงถึงเจ้าของเอกสารทุกครั้งที่มีการนำไปใช้



เอกสารนี้เป็นเอกสารที่สงวนไว้สำหรับการใช้งานเพื่อการศึกษาเท่านั้น ไม่อนุญาตให้นำไปใช้ประโยชน์ด้านการค้า  
ไม่ว่ากรณีใดๆ ทั้งสิ้น อีกทั้งห้ามมิให้ตัดแปลงเนื้อหา และต้องอ้างอิงถึงเจ้าของเอกสารทุกครั้งที่มีการนำไปใช้



เอกสารนี้เป็นเอกสารที่สงวนไว้สำหรับการใช้งานเพื่อการศึกษาเท่านั้น ไม่อนุญาตให้นำไปใช้ประโยชน์ด้านการค้า  
ไม่ว่ากรณีใดๆ ทั้งสิ้น อีกทั้งห้ามมิให้ตัดแปลงเนื้อหา และต้องอ้างอิงถึงเจ้าของเอกสารทุกครั้งที่มีการนำไปใช้

```

ldi r29,0xff
out DDRC,r29
ldi r29,0xff
out PORTC,r29

rcall init_lcd ;init LCD

ldi r21,0x03
rcall goto_lcd
ldi r21,0x52 ;R
rcall wr_lcd
ldi r21,0x44 ;D
rcall wr_lcd
ldi r21,0x53 ;S
rcall wr_lcd
ldi r21,0x20 ;sp
rcall wr_lcd
ldi r21,0x53 ;S
rcall wr_lcd
ldi r21,0x59 ;Y
rcall wr_lcd
ldi r21,0x53 ;S
rcall wr_lcd
ldi r21,0x54 ;T
rcall wr_lcd
ldi r21,0x45 ;E
rcall wr_lcd
ldi r21,0x4D ;M
rcall wr_lcd

```

เอกสารนี้เป็นเอกสารที่สงวนไว้สำหรับการใช้งานเพื่อการศึกษาเท่านั้น ไม่อนุญาตให้นำไปใช้ประโยชน์ด้านการค้า  
ไม่ว่ากรณีใดๆ ทั้งสิ้น อีกทั้งห้ามมิให้ตัดแปลงเนื้อหา และต้องอ้างอิงถึงเจ้าของเอกสารทุกครั้งที่มีการนำไปใช้

```
;**** MAIN
```

```
*****
```

```
main:   sbic  PIND,2
```

```
        rjmp main
```

```
        rcall LCD2
```

```
WAIT:   sbis  PIND,2
```

```
        rjmp WAIT
```

```
        rjmp main
```

```
;**** show data *****
```

```
LCD2:   ldi   temp,0x44
```

```
        ldi  r17,0x0d
```

```
loop1:  mov   r21,temp
```

```
        rcall goto_lcd
```

```
        ldi  r21,0x46 ;F
```

```
        rcall wr_lcd
```

```
        ldi  r21,0x4D ;M
```

```
        rcall wr_lcd
```

```
        ldi  r21,0x20 ;sp
```

```
        rcall wr_lcd
```

```
        ldi  r21,0x31 ;1
```

```
        rcall wr_lcd
```

```
        ldi  r21,0x30 ;0
```

```
        rcall wr_lcd
```

```
        ldi  r21,0x37 ;7
```

```
        rcall wr_lcd
```

เอกสารนี้เป็นเอกสารที่สงวนไว้สำหรับการใช้งานเพื่อการศึกษาเท่านั้น ไม่อนุญาตให้นำไปใช้ประโยชน์ด้านการค้า  
ไม่ว่ากรณีใดๆ ทั้งสิ้น อีกทั้งห้ามมิให้ตัดแปลงเนื้อหา และต้องอ้างอิงถึงเจ้าของเอกสารทุกครั้งที่มีการนำไปใช้

```

ldi r21,0x2E      ;.
rcall wr_lcd
ldi r21,0x35      ;5
rcall wr_lcd
ldi r21,0x20      ;sp
rcall wr_lcd
ldi r21,0x4D      ;M
rcall wr_lcd
ldi r21,0x48      ;H
rcall wr_lcd
ldi r21,0x7A      ;z
rcall wr_lcd
ldi r21,0x20      ;sp
rcall wr_lcd
ldi r21,0x20      ;sp
rcall wr_lcd
ldi r21,0x20      ;sp
rcall wr_lcd
rcall delay
rcall delay
rcall delay
dec temp
dec r17
brnc loop1
rcall sub
ret

```

```

;**** Sub Data ****

```

```

sub: ldi tmp,0x44

```

เอกสารนี้เป็นเอกสารที่สงวนไว้สำหรับการใช้งานเพื่อการศึกษาเท่านั้น ไม่อนุญาตให้นำไปใช้ประโยชน์ด้านการค้า ไม่ว่าจะกรณีใดๆ ทั้งสิ้น อีกทั้งห้ามมิให้ตัดแปลงเนื้อหา และต้องอ้างอิงถึงเจ้าของเอกสารทุกครั้งที่มีการนำไปใช้

```

    ldi r17,0x0d
sub2:  mov r21,temp
    rcall goto_lcd
    ldi r21,0x54 ;T
    rcall wr_lcd
    ldi r21,0x68 ;h
    rcall wr_lcd
    ldi r21,0x69 ;i
    rcall wr_lcd
    ldi r21,0x73 ;s
    rcall wr_lcd
    ldi r21,0x20 ;sp
    rcall wr_lcd
    ldi r21,0x61 ;a
    rcall wr_lcd
    ldi r21,0x72 ;r
    rcall wr_lcd
    ldi r21,0x65 ;e
    rcall wr_lcd
    ldi r21,0x61 ;a
    rcall wr_lcd
    ldi r21,0x20 ;sp
    rcall wr_lcd
    ldi r21,0x69 ;i
    rcall wr_lcd
    ldi r21,0x73 ;s
    rcall wr_lcd
    ldi r21,0x20 ;sp
    rcall wr_lcd
    ldi r21,0x20 ;sp

```

เอกสารนี้เป็นเอกสารที่สงวนไว้สำหรับการใช้งานเพื่อการศึกษาเท่านั้น ไม่อนุญาตให้นำไปใช้ประโยชน์ด้านการค้า ไม่ว่าจะกรณีใดๆ ทั้งสิ้น อีกทั้งห้ามมิให้ตัดแปลงเนื้อหา และต้องอ้างอิงถึงเจ้าของเอกสารทุกครั้งที่มีการนำไปใช้

```

rcall wr_lcd
ldi r21,0x20 ;sp
rcall wr_lcd
rcall delay
rcall delay
rcall delay
dec temp
dec r17
brne sub2
rcall subB
ret

subB: ldi temp,0x44
ldi r17,0x0d
sub3: mov r21,temp
rcall goto_lcd
ldi r21,0x69 ;i
rcall wr_lcd
ldi r21,0x6E ;n
rcall wr_lcd
ldi r21,0x66 ;f
rcall wr_lcd
ldi r21,0x6F ;o
rcall wr_lcd
ldi r21,0x72 ;r
rcall wr_lcd
ldi r21,0x6D ;m
rcall wr_lcd
ldi r21,0x61 ;a
rcall wr_lcd

```

เอกสารนี้เป็นเอกสารที่สงวนไว้สำหรับการใช้งานเพื่อการศึกษาเท่านั้น ไม่อนุญาตให้นำไปใช้ประโยชน์ด้านการค้า ไม่ว่าจะกรณีใดๆ ทั้งสิ้น อีกทั้งห้ามมิให้ตัดแปลงเนื้อหา และต้องอ้างอิงถึงเจ้าของเอกสารทุกครั้งที่มีการนำไปใช้

```

ldi r21,0x74 ;t
rcall wr_lcd
ldi r21,0x69 ;i
rcall wr_lcd
ldi r21,0x6F ;o
rcall wr_lcd
ldi r21,0x6E ;n
rcall wr_lcd
ldi r21,0x20 ;sp
rcall wr_lcd
ldi r21,0x6F ;o
rcall wr_lcd
ldi r21,0x66 ;f
rcall wr_lcd
ldi r21,0x20 ;sp
rcall wr_lcd
rcall delay
rcall delay
rcall delay
dec temp
dec r17
brne sub3
rcall subC
ret

```

```

subC: ldi temp,0x44
ldi r17,0x0d
sub4: mov r21,temp
rcall goto_lcd
ldi r21,0x54 ;T

```

เอกสารนี้เป็นเอกสารที่สงวนไว้สำหรับการใช้งานเพื่อการศึกษาเท่านั้น ไม่อนุญาตให้นำไปใช้ประโยชน์ด้านการค้า ไม่ว่าจะกรณีใดๆ ทั้งสิ้น อีกทั้งห้ามมิให้ตัดแปลงเนื้อหา และต้องอ้างอิงถึงเจ้าของเอกสารทุกครั้งที่มีการนำไปใช้

```

rcall wr_lcd
ldi r21,0x68 ;h
rcall wr_lcd
ldi r21,0x65 ;c
rcall wr_lcd
ldi r21,0x20 ;sp
rcall wr_lcd
ldi r21,0x73 ;s
rcall wr_lcd
ldi r21,0x74 ;t
rcall wr_lcd
ldi r21,0x61 ;a
rcall wr_lcd
ldi r21,0x74 ;t
rcall wr_lcd
ldi r21,0x69 ;i
rcall wr_lcd
ldi r21,0x6F ;o
rcall wr_lcd
ldi r21,0x6E ;n
rcall wr_lcd
ldi r21,0x20 ;sp
rcall wr_lcd
ldi r21,0x20 ;sp
rcall wr_lcd
ldi r21,0x20 ;sp
rcall wr_lcd
ldi r21,0x20 ;sp
rcall wr_lcd
rcall delay

```

เอกสารนี้เป็นเอกสารที่สงวนไว้สำหรับการใช้งานเพื่อการศึกษาเท่านั้น ไม่อนุญาตให้นำไปใช้ประโยชน์ด้านการค้า ไม่ว่าจะกรณีใดๆ ทั้งสิ้น อีกทั้งห้ามมิให้ตัดแปลงเนื้อหา และต้องอ้างอิงถึงเจ้าของเอกสารทุกครั้งที่มีการนำไปใช้

```

rcall delay
rcall delay
dec temp
dec r17
brnc sub4
rcall del
ret

```

```

;**** delate *****

```

```

del:  ldi temp,0x40
      ldi r17,0x0f

del2: mov r21,temp
      rcall goto_lcd

del3: ldi r21,0x20 ;sp
      rcall wr_lcd
      rcall delay

      dec r17
      brnc del3
      ret

```

```

;**** Control LCD *****

```

```

goto_lcd: sbr r21,0x80
          rcall wr_ins
          ret

```

เอกสารนี้เป็นเอกสารที่สงวนไว้สำหรับการใช้งานเพื่อการศึกษาเท่านั้น ไม่อนุญาตให้นำไปใช้ประโยชน์ด้านการค้า ไม่ว่าจะกรณีใดๆ ทั้งสิ้น อีกทั้งห้ามมิให้ตัดแปลงเนื้อหา และต้องอ้างอิงถึงเจ้าของเอกสารทุกครั้งที่มีการนำไปใช้

```

init_lcd: cbi PORTC,1

        ldi r21,0x33      ;set DL = 1 3-time
        rcall wr_ins

        ldi r21,0x32      ;clear DL = 0;1-time
        rcall wr_ins

        ldi r21,0x28      ;Function set
        rcall wr_ins      ;DL = 0 4 bit.N = 1 2 line

        ldi r21,0x0c
        rcall wr_ins

        ldi r21,0x06
        rcall wr_ins

        ldi r21,0x01
        rcall wr_ins

        ret

```

```

;*****
;*      write instruction LCD      *
;*      input : r21                *
;*****

```

```

wr_ins: cbi PORTC,1      ;clear RS_LCD

        mov r22,r21
        andi r21,0xf0
        in r16,PORTC
        andi r16,0x0f
        or r16,r21
        out PORTC,r16    ;send high byte
        rcall en_lcd
        swap r22
        andi r22,0xf0

```

เอกสารนี้เป็นเอกสารที่สงวนไว้สำหรับการใช้งานเพื่อการศึกษาเท่านั้น ไม่อนุญาตให้นำไปใช้ประโยชน์ด้านการค้า ไม่ว่าจะกรณีใดๆ ทั้งสิ้น อีกทั้งห้ามมิให้ตัดแปลงเนื้อหา และต้องอ้างอิงถึงเจ้าของเอกสารทุกครั้งที่มีการนำไปใช้

```

in r16,PORTC
andi r16,0x0f
or r16,r22
out PORTC,r16 ;send low byte
rcall en_lcd
ret

```

```

;*****
;

```

```

;*****
;

```

```

wr_lcd: sbi PORTC,1
mov r22,r21
in r16,PORTC
andi r16,0x0f
andi r21,0xf0
or r16,r21
out portc,r16
rcall en_lcd
swap r22
in r16,PORTC
andi r16,0x0f
andi r22,0xf0
or r16,r22
out PORTC,r16
rcall en_lcd
ret

```

```

;*****
;

```

```

;*****
;

```

เอกสารนี้เป็นเอกสารที่สงวนไว้สำหรับการใช้งานเพื่อการศึกษาเท่านั้น ไม่อนุญาตให้นำไปใช้ประโยชน์ด้านการค้า  
ไม่ว่ากรณีใดๆ ทั้งสิ้น อีกทั้งห้ามมิให้ตัดแปลงเนื้อหา และต้องอ้างอิงถึงเจ้าของเอกสารทุกครั้งที่มีการนำไปใช้

```

en_lcd:  cbi  PORTC,0
          rcall busy
          sbi  PORTC,0
          ret

```

```

;*****
;

```

```

;*****
;

```

```

busy:    ldi  r25,0x10
busy2:   ldi  r26,0xff
busy1:   dec  r26
         brne busy1
         dec  r25
         brne busy2
         ret

```

```

;*****
;

```

```

;*      delay

```

```

;*****
;

```

```

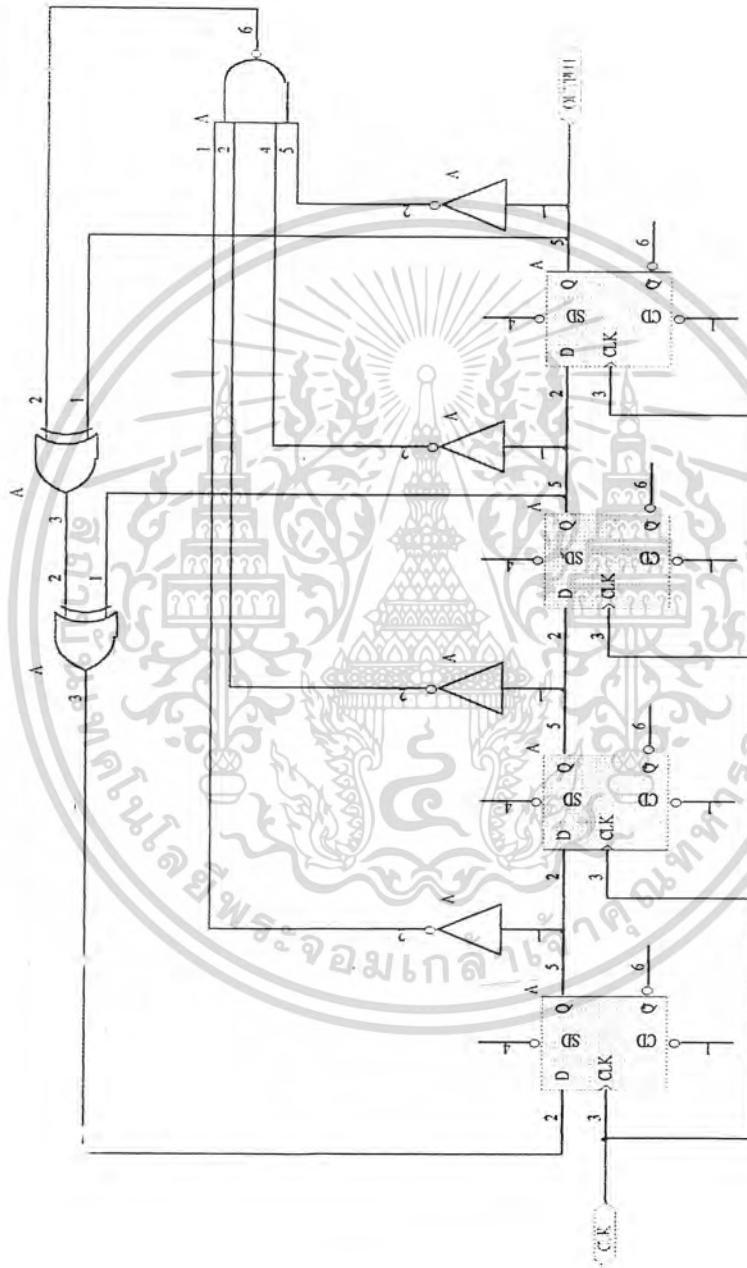
delay:   ldi  r28,0xff
delay2:  ldi  r29,0xff
delay1:  dec  r29
         brne delay1
         dec  r28
         brne delay2
         ret

```

เอกสารนี้เป็นเอกสารที่สงวนไว้สำหรับการใช้งานเพื่อการศึกษาเท่านั้น ไม่อนุญาตให้นำไปใช้ประโยชน์ด้านการค้า ไม่ว่ากรณีใดๆ ทั้งสิ้น อีกทั้งห้ามมิให้ตัดแปลงเนื้อหา และต้องอ้างอิงถึงเจ้าของเอกสารทุกครั้งที่มีการนำไปใช้

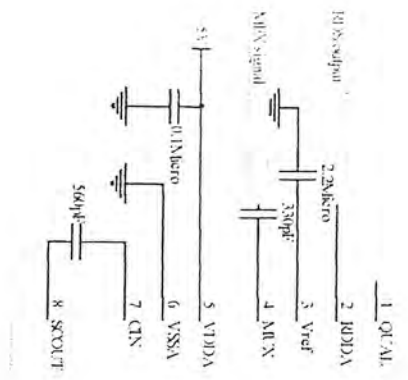


เอกสารนี้เป็นเอกสารที่สงวนไว้สำหรับการใช้งานเพื่อการศึกษาเท่านั้น ไม่อนุญาตให้นำไปใช้ประโยชน์ด้านการค้า  
ไม่ว่ากรณีใดๆ ทั้งสิ้น อีกทั้งห้ามมิให้ดัดแปลงเนื้อหา และต้องอ้างอิงถึงเจ้าของเอกสารทุกครั้งที่มีการนำไปใช้

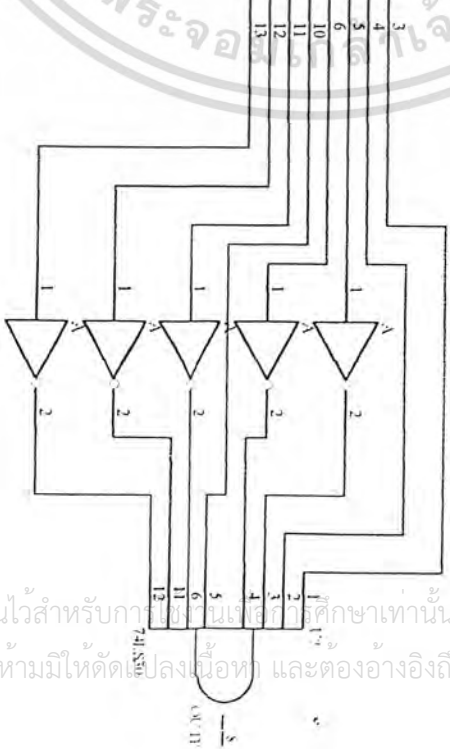
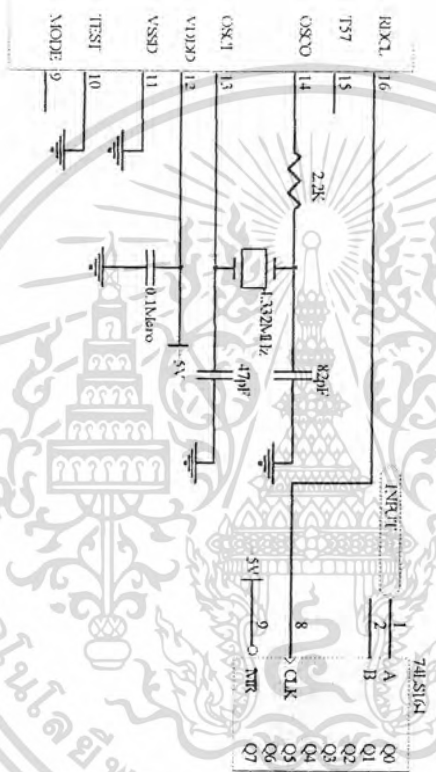


**วงจรจำลองข้อมูลมีเอาต์พุตเป็นบิตอนุกรม**

เอกสารนี้เป็นเอกสารที่สงวนไว้สำหรับการใช้งานเพื่อการศึกษาเท่านั้น ไม่อนุญาตให้นำไปใช้ประโยชน์ด้านการค้า ไม่ว่าจะกรณีใดๆ ทั้งสิ้น อีกทั้งห้ามมิให้ตัดแปลงเนื้อหา และต้องอ้างอิงถึงเจ้าของเอกสารทุกครั้งที่มีการนำไปใช้



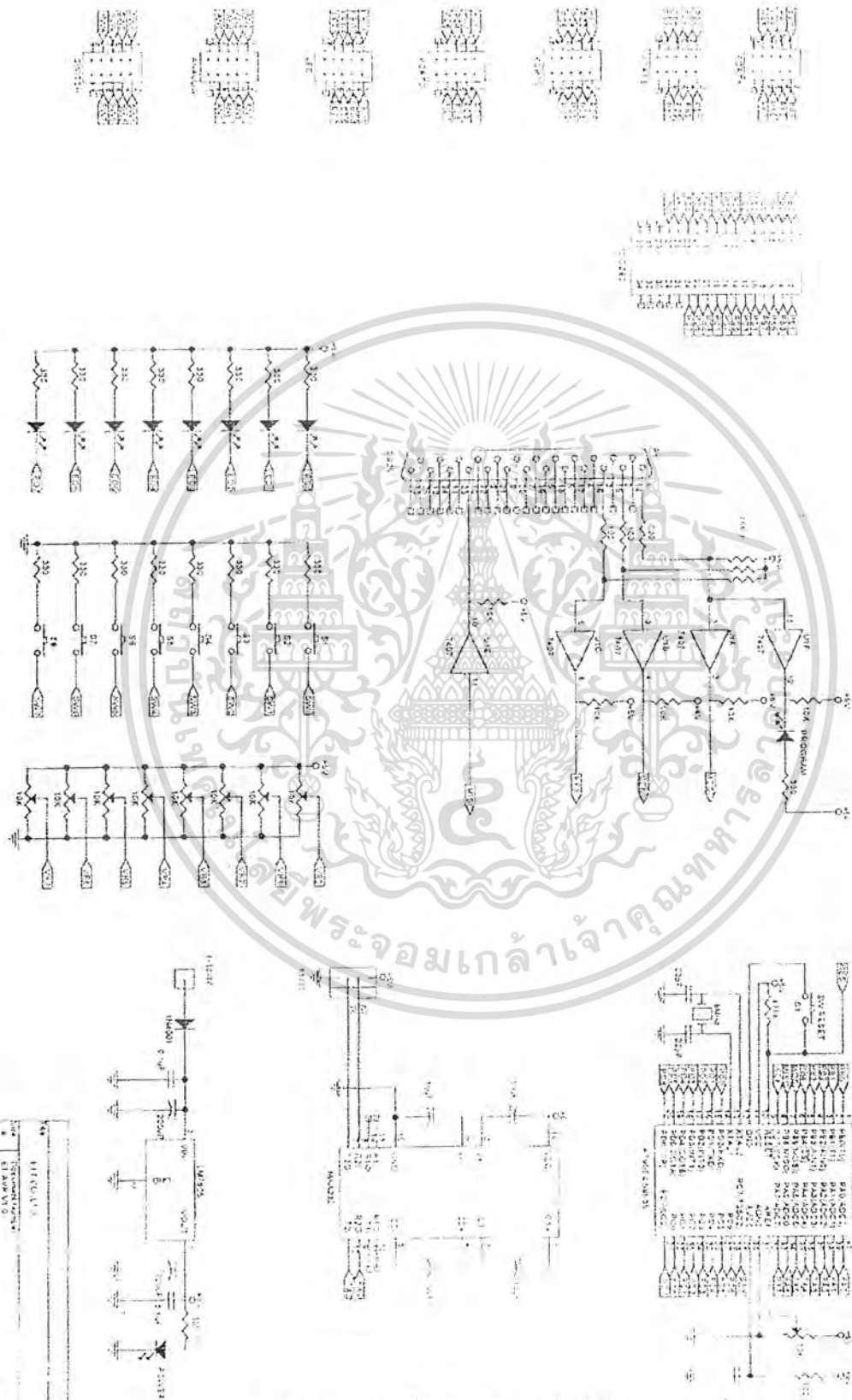
รูปที่ 5.79



วงจรมอดูเลเตอร์

เอกสารนี้เป็นเอกสารที่สงวนไว้สำหรับการใช้ภายในเพื่อการศึกษาเท่านั้น ไม่อนุญาตให้นำไปใช้ประโยชน์ด้านการค้า ไม่ว่าจะกรณีใดๆ ทั้งสิ้น อีกทั้งห้ามมิให้ตัดแปลงเนื้อหา และต้องอ้างอิงถึงเจ้าของเอกสารทุกครั้งที่มีการนำไปใช้





แสดงวงจรของบอร์ด ET-AVR 2.0 (ต่อ)

เอกสารนี้เป็นเอกสารที่สงวนไว้สำหรับการใช้งานเพื่อการศึกษาเท่านั้น เมื่อนุญาตให้นำไปใช้ประโยชน์ด้านการค้า  
ไม่ว่ากรณีใดๆ ทั้งสิ้น อีกทั้งห้ามมิให้ตัดแปลงเนื้อหา และต้องอ้างอิงถึงเจ้าของเอกสารทุกครั้งที่มีการนำไปใช้

# DATA SHEET



## **SAA6579** Radio Data System (RDS) demodulator

Product specification  
Supersedes data of January 1994  
File under Integrated Circuits, IC01

1997 Feb 24

Philips  
Semiconductors



# PHILIPS

เอกสารนี้เป็นเอกสารที่สงวนไว้สำหรับการใช้งานเพื่อการศึกษาเท่านั้น ไม่อนุญาตให้นำไปใช้ประโยชน์ด้านการค้า  
ไม่ว่ากรณีใดๆ ทั้งสิ้น อีกทั้งห้ามมิให้ตัดแปลงเนื้อหา และต้องอ้างอิงถึงเจ้าของเอกสารทุกครั้งที่มีการนำไปใช้

# Radio Data System (RDS) demodulator

SAA6579

## FEATURES

- Anti-aliasing filter (2nd order)
- Integrated 57 kHz band-pass filter (8th order)
- Reconstruction filter (2nd order)
- Clocked comparator with automatic offset compensation
- 57 kHz carrier regeneration
- Synchronous demodulator for 57 kHz modulated RDS signals
- Selectable 4.332/8.664 MHz crystal oscillator with variable dividers
- Clock regeneration with lock on biphas data rate
- Biphas symbol decoder with integrate and dump functions
- Differential decoder
- Signal quality detector
- Subcarrier output.

## GENERAL DESCRIPTION

The integrated CMOS circuit SAA6579 is an RDS demodulator. It recovers the additional inaudible RDS information which is transmitted by FM radio broadcasting.

The data signal RDDA and the clock signal RDCL are provided as outputs for further processing by a suitable decoder (microcomputer).

The operational functions of the device are in accordance with the "CENELEC EN 50067".

## QUICK REFERENCE DATA

SYMBOL	PARAMETER	MIN.	TYP.	MAX.	UNIT
V <sub>DDA</sub>	analog supply voltage (pin 5)	3.6	5.0	5.5	V
V <sub>DDD</sub>	digital supply voltage (pin 12)	3.6	5.0	5.5	V
I <sub>tot</sub>	total supply current	–	6	–	mA
V <sub>i(rms)</sub>	RDS input amplitude (RMS value; pin 4)	1	–	–	mV
V <sub>OH</sub>	HIGH level output voltage for signals RDDA, RDCL, QUAL and T57	4.4	–	–	V
V <sub>OL</sub>	LOW level output voltage for signals RDDA, RDCL, QUAL and T57	–	–	0.4	V
T <sub>amb</sub>	operating ambient temperature	–40	–	+85	°C

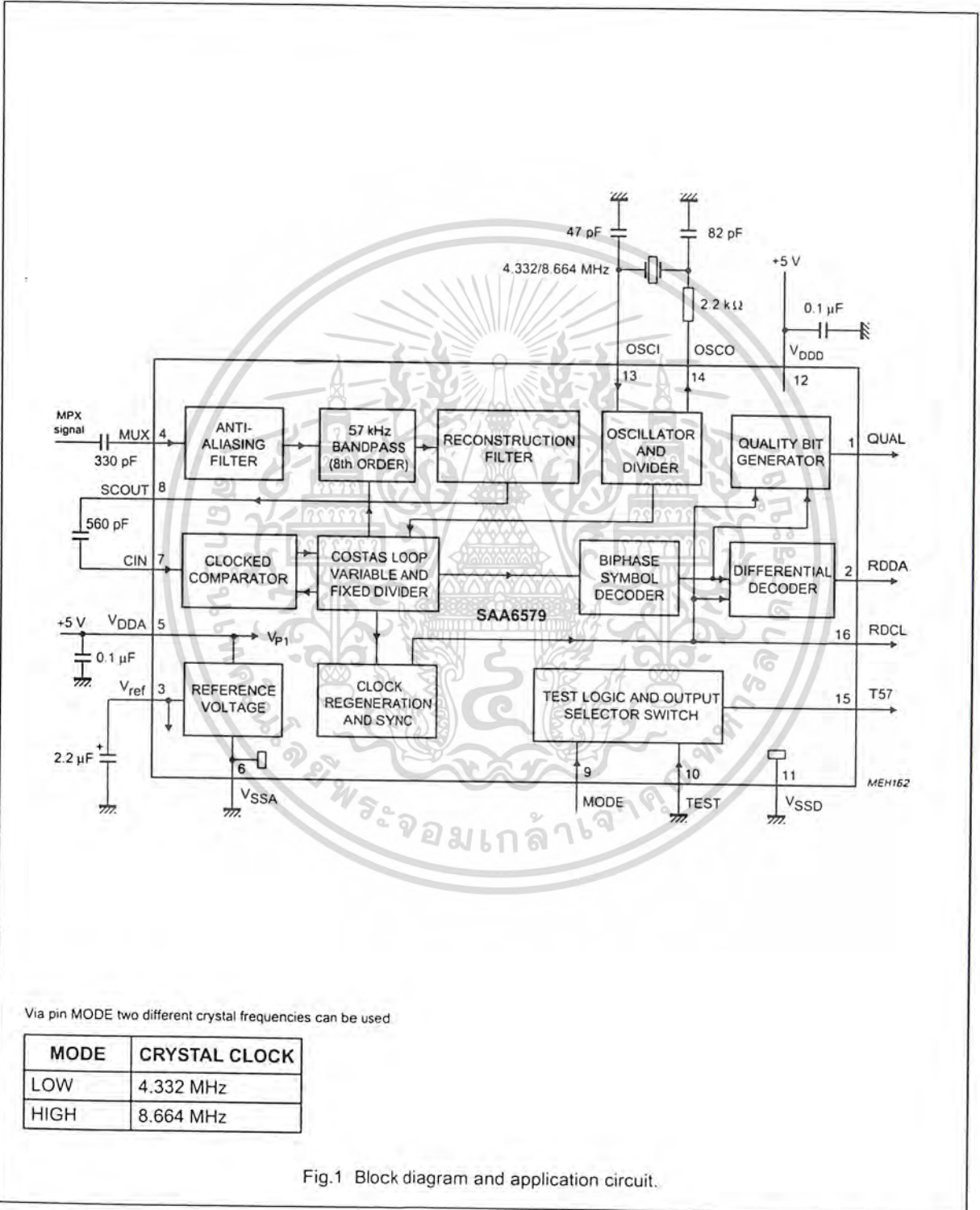
## ORDERING INFORMATION

TYPE NUMBER	PACKAGE		
	NAME	DESCRIPTION	VERSION
SAA6579	DIP16	plastic dual in-line package; 16 leads (300 mil); long body	SOT38-1
SAA6579T	SO16	plastic small outline package; 16 leads; body width 7.5 mm	SOT162-1

Radio Data System (RDS) demodulator

SAA6579

BLOCK DIAGRAM

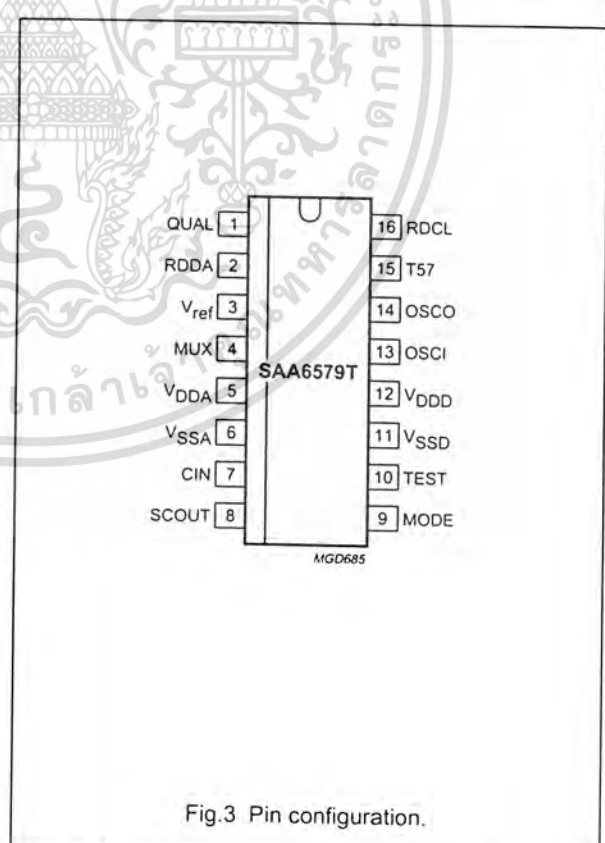
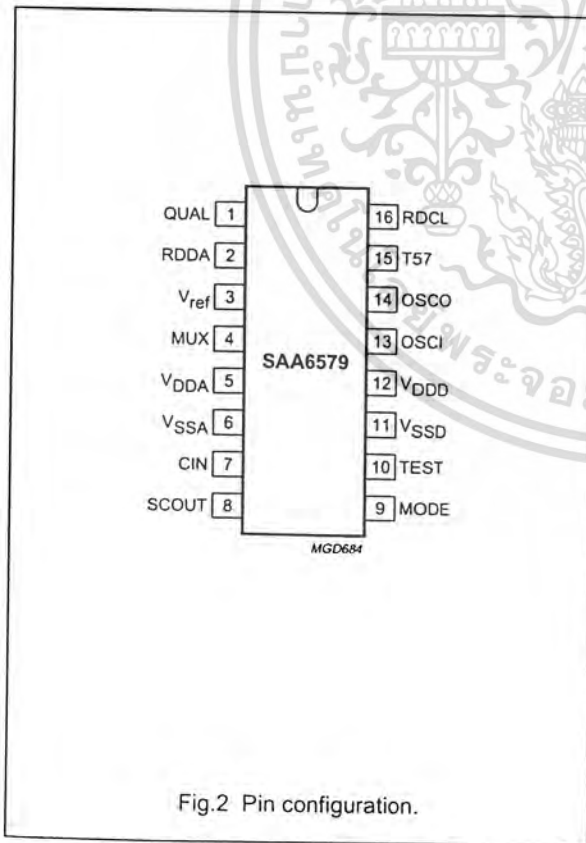


Radio Data System (RDS) demodulator

SAA6579

PINNING

SYMBOL	PIN	DESCRIPTION
QUAL	1	quality indication output
RDDA	2	RDS data output
V <sub>ref</sub>	3	reference voltage output (0.5V <sub>DDA</sub> )
MUX	4	multiplex signal input
V <sub>DDA</sub>	5	+5 V supply voltage for analog part
V <sub>SSA</sub>	6	ground for analog part (0 V)
CIN	7	subcarrier input to comparator
SCOUT	8	subcarrier output of reconstruction filter
MODE	9	oscillator mode/test control input
TEST	10	test enable input
V <sub>SSD</sub>	11	ground for digital part (0 V)
V <sub>DDD</sub>	12	+5 V supply voltage for digital part
OSCI	13	oscillator input
OSCO	14	oscillator output
T57	15	57 kHz clock signal output
RDCL	16	RDS clock output



เอกสารนี้เป็นเอกสารที่สงวนไว้สำหรับการใช้งานเพื่อการศึกษาเท่านั้น ไม่อนุญาตให้นำไปใช้ประโยชน์ด้านการค้า ไม่ว่ากรณีใดๆ ทั้งสิ้น อีกทั้งห้ามมิให้ตัดแปลงเนื้อหา และต้องอ้างอิงถึงเจ้าของเอกสารทุกครั้งที่มีการนำไปใช้

## Radio Data System (RDS) demodulator

SAA6579

## LIMITING VALUES

In accordance with the Absolute Maximum Rating System (IEC 134); ground pins 6 and 11 connected together.

SYMBOL	PARAMETER	CONDITIONS	MIN.	MAX.	UNIT
$V_{DDA}$	analog supply voltage (pin 5)		0	6	V
$V_{DDD}$	digital supply voltage (pin 12)		0	6	V
$V_n$	voltage on all pins; grounds excluded		-0.5	$V_{DDX} + 0.5$	V
$T_{stg}$	storage temperature		-40	+150	°C
$T_{amb}$	operating ambient temperature		-40	+85	°C
$V_{es}$	electrostatic handling for all pins except pins 9 and 10	note 1	±300	–	V
		note 2	+1500	-3000	V

## Notes

- Equivalent to discharging a 200 pF capacitor via a 0  $\Omega$  series resistor.
- Equivalent to discharging a 100 pF capacitor via a 1.5 k $\Omega$  series resistor.

## FUNCTIONAL DESCRIPTION

The SAA6579 is a demodulator circuit for RDS applications. It contains a 57 kHz bandpass filter and a digital demodulator to regenerate the RDS data stream out of the multiplex signal (MPX).

## Filter part

The MUX signal is band-limited by a second-order anti-aliasing-filter and fed through a 57 kHz band-pass filter (8th order band-pass filter with 3 kHz bandwidth) to separate the RDS signals. This filter uses switched capacitor technique and is clocked by a clock frequency of 541.5 kHz derived from the 4.332/8.664 MHz crystal oscillator. Then the signal is fed to the reconstruction filter to smooth the sampled and filtered RDS signal before it is output on pin 8. The signal is AC-coupled to the comparator (pin 7). The comparator is clocked with a frequency of 228 kHz (synchronized by the 57 kHz of the demodulator).

## Digital part

The synchronous demodulator (Costas loop circuit) with carrier regeneration demodulates the internal coupled, digitized signal. The suppressed carrier is recovered from the two sidebands (Costas loop). The demodulated signal is low-pass-filtered in such a way that the overall pulse shape (transmitter and receiver) approaches a cosinusoidal form in conjunction with the following Integrate and dump circuit.

The data-spectrum shaping is split into two equal parts and handled in the transmitter and in the receiver. Ideally, the data filtering should be equal in both of these parts.

The overall data-channel-spectrum shaping of the transmitter and the receiver is approximately 100% roll-off.

The Integrate and dump circuit performs an integration over a clock period. This results in a demodulated and valid RDS signal in form of biphasic symbols being output from the integrate and dump circuit. The final stages of RDS data processing are the biphasic symbol decoding and the differential decoding. After synchronization by data clock RDCL (pin 16) data appears on the RDDA output (pin 2). The output of the biphasic symbol decoder is evaluated by a special circuit to provide an indication of good data (QUAL = HIGH) or corrupt data (QUAL = LOW).

## Timing

Fixed and variable dividers are applied to the 4.332/8.664 MHz crystal oscillator to generate the 1.1875 kHz RDS clock RDCL, which is synchronized by the incoming data. Which ever clock edge is considered (positive or negative going edge) the data will remain valid for 399  $\mu$ s after the clock transition. The timing of data change is 4  $\mu$ s before a clock change. Which clock transition (positive or negative going clock) the data change occurs in, depends on the lock conditions and is arbitrary (bit slip).

During poor reception it is possible that faults in phase occur, then the clock signal stays uninterrupted, and data is constant for 1.5 clock periods. Normally, faults in phase do not occur on a cyclic basis. If however, faults in phase occur in this way, the minimum spacing between two possible faults in phase depends on the data being transmitted. The minimum spacing cannot be less than 16 clock periods. The quality bit changes only at the time of a data change.

## Radio Data System (RDS) demodulator

SAA6579

## CHARACTERISTICS

 $V_{DDA} = V_{DDD} = 5\text{ V}$ ;  $T_{amb} = 25\text{ }^{\circ}\text{C}$  and measurements taken in Fig. 1; unless otherwise specified.

SYMBOL	PARAMETER	CONDITIONS	MIN.	TYP.	MAX.	UNIT
$V_{DDA}$	analog supply voltage (pin 5)		3.6	5.0	5.5	V
$V_{DDD}$	digital supply voltage (pin 12)		3.6	5.0	5.5	V
$I_{tot}$	total supply current	$I_5 + I_{12}$	–	6	–	mA
$V_{ref}$	reference voltage (pin 3)	$V_{DDA} = 5\text{ V}$	–	2.5	–	V
<b>MPX input (signal before the capacitor on pin 4)</b>						
$V_{i\text{MPX}(rms)}$	RDS amplitude (RMS value)	$\Delta f = \pm 1.2\text{ kHz RDS}$ ; $\Delta f = \pm 3.5\text{ kHz ARI}$ ; see Fig.5	1	–	–	mV
$V_{i\text{MPX}(p-p)}$	maximum input signal capability (peak-to-peak value)	$f = 57 \pm 2\text{ kHz}$	200	–	–	mV
		$f < 50\text{ kHz}$	1.4	–	–	V
		$f < 15\text{ kHz}$	2.8	–	–	V
		$f > 70\text{ kHz}$	3.5	–	–	V
$R_{4-6}$	input resistance	$f = 0\text{ to }100\text{ kHz}$	40	–	–	k $\Omega$
$G_{8-4}$	signal gain	$f = 57\text{ kHz}$	17	20	23	dB
<b>57 kHz band-pass filter</b>						
$f_c$	centre frequency	$T_{amb} = -40\text{ to }+85\text{ }^{\circ}\text{C}$	56.5	57.0	57.5	kHz
B	–3 dB bandwidth		2.5	3.0	3.5	kHz
G	stop band gain	$\Delta f = \pm 7\text{ kHz}$	31	–	–	dB
		$f < 45\text{ kHz}$	40	–	–	dB
		$f < 20\text{ kHz}$	50	–	–	dB
		$f > 70\text{ kHz}$	40	–	–	dB
$R_{\alpha(8)}$	output resistance (pin 8)	$f = 57\text{ kHz}$	–	26	–	$\Omega$
<b>Comparator input (pin 7)</b>						
$V_{i(rms)}$	minimum input level (RMS value)	$f = 57\text{ kHz}$	–	1	10	mV
$R_i$	input resistance		70	110	150	k $\Omega$
<b>Oscillator input (pin 13)</b>						
$V_{IH}$	HIGH level input voltage	$V_{DDD} = 5.0\text{ V}$	4.0	–	–	V
$V_{IL}$	LOW level input voltage	$V_{DDD} = 5.0\text{ V}$	–	–	1.0	V
$I_i$	input current	$V_{DDD} = 5.5\text{ V}$	–	–	$\pm 1$	$\mu\text{A}$

## Radio Data System (RDS) demodulator

SAA6579

SYMBOL	PARAMETER	CONDITIONS	MIN.	TYP.	MAX.	UNIT
<b>Digital demodulator and outputs QUAL, RDDA, T57, OSCO and RDCL (pins 1, 2, 14, 15 and 16)</b>						
V <sub>OH</sub>	HIGH level output voltage	I <sub>Q</sub> = -20 $\mu$ A; V <sub>DD</sub> = 4.5 V	4.4	-	-	V
V <sub>OL</sub>	LOW level output voltage	I <sub>Q</sub> = 3.2 mA; V <sub>DD</sub> = 5.5 V	-	-	0.4	V
f <sub>RDCL</sub>	nominal clock frequency RDCL		-	1187.5	-	Hz
$\Delta t_{RDCL}$	jitter of RDCL		-	-	18	$\mu$ s
f <sub>T57</sub>	nominal subcarrier frequency T57	note 1	-	57.0	-	kHz
I <sub>O</sub>	output current OSCO (pin 14)	V <sub>DD</sub> = 4.5 V; V <sub>14</sub> = 0.4 V	1.5	-	-	mA
		V <sub>DD</sub> = 4.5 V; V <sub>14</sub> = 4.1 V	-1.6	-	-	mA
	output current QUAL, RDDA, T57, RDCL (pins 1, 2, 15 and 16)	V <sub>DD</sub> = 4.5 V; V <sub>14</sub> = 0.4 V	5.9	-	-	mA
		V <sub>DD</sub> = 4.5 V; V <sub>14</sub> = 4.1 V	-5.3	-	-	mA
<b>4.332 MHz crystal parameters</b>						
f <sub>0</sub>	XTAL frequency		-	4.332	-	MHz
$\Delta f_{max}$	maximum permitted tolerance		-	$\pm 50$	-	10 <sup>-6</sup>
$\Delta f_0$	adjustment tolerance of f <sub>0</sub>	T <sub>amb</sub> = 25 °C	-	-	$\pm 20$	10 <sup>-6</sup>
		T <sub>amb</sub> = -40 to +85 °C	-	-	$\pm 25$	10 <sup>-6</sup>
C <sub>L</sub>	load capacitance		-	30	-	pF
R <sub>xtal</sub>	resonance resistance		-	-	60	$\Omega$
<b>8.664 MHz crystal parameters</b>						
f <sub>0</sub>	XTAL frequency		-	8.664	-	MHz
$\Delta f_{max}$	maximum permitted tolerance		-	$\pm 50$	-	10 <sup>-6</sup>
$\Delta f_0$	adjustment tolerance of f <sub>0</sub>	T <sub>amb</sub> = 25 °C	-	-	$\pm 30$	10 <sup>-6</sup>
		T <sub>amb</sub> = -40 to +85 °C	-	-	$\pm 30$	10 <sup>-6</sup>
C <sub>L</sub>	load capacitance		-	30	-	pF
R <sub>xtal</sub>	resonance resistance		-	-	60	$\Omega$

**Note**

- The signal T57 has a phase lead of 123° ( $\pm 180^\circ$ ) relative to the ARI carrier at output SCOUT.

# Radio Data System (RDS) demodulator

SAA6579

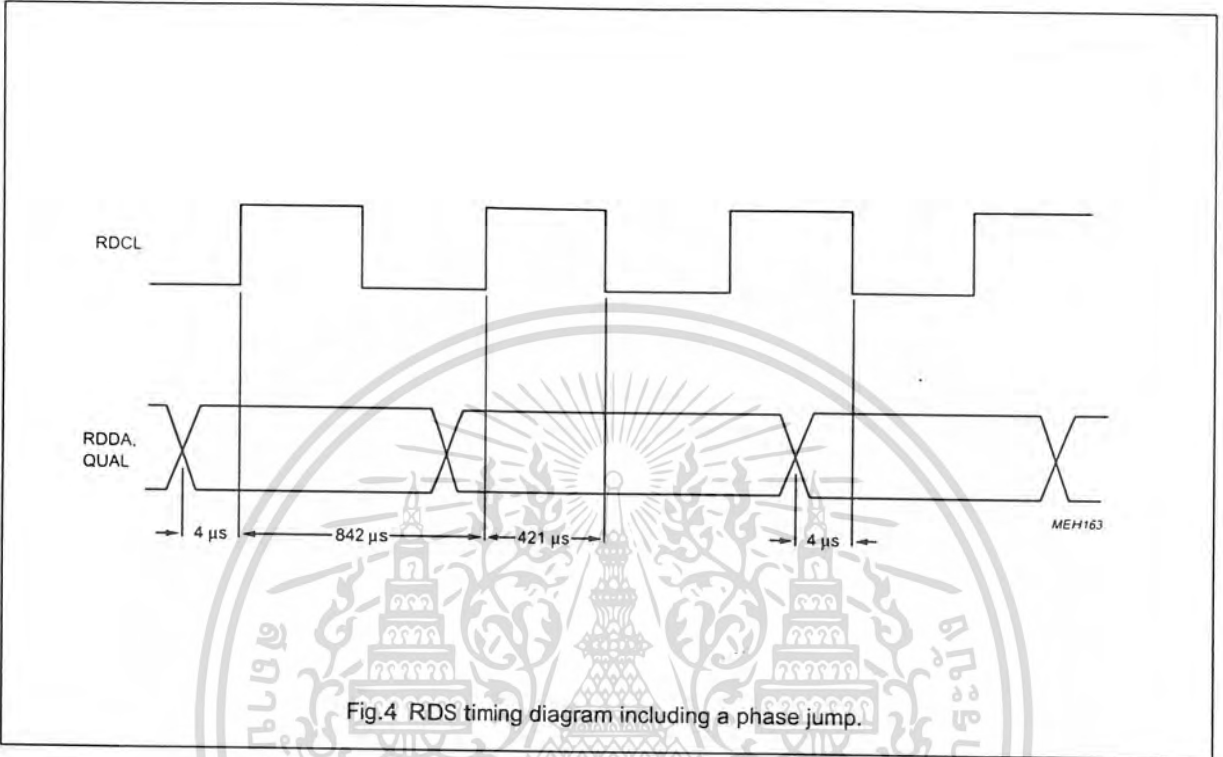


Fig.4 RDS timing diagram including a phase jump.

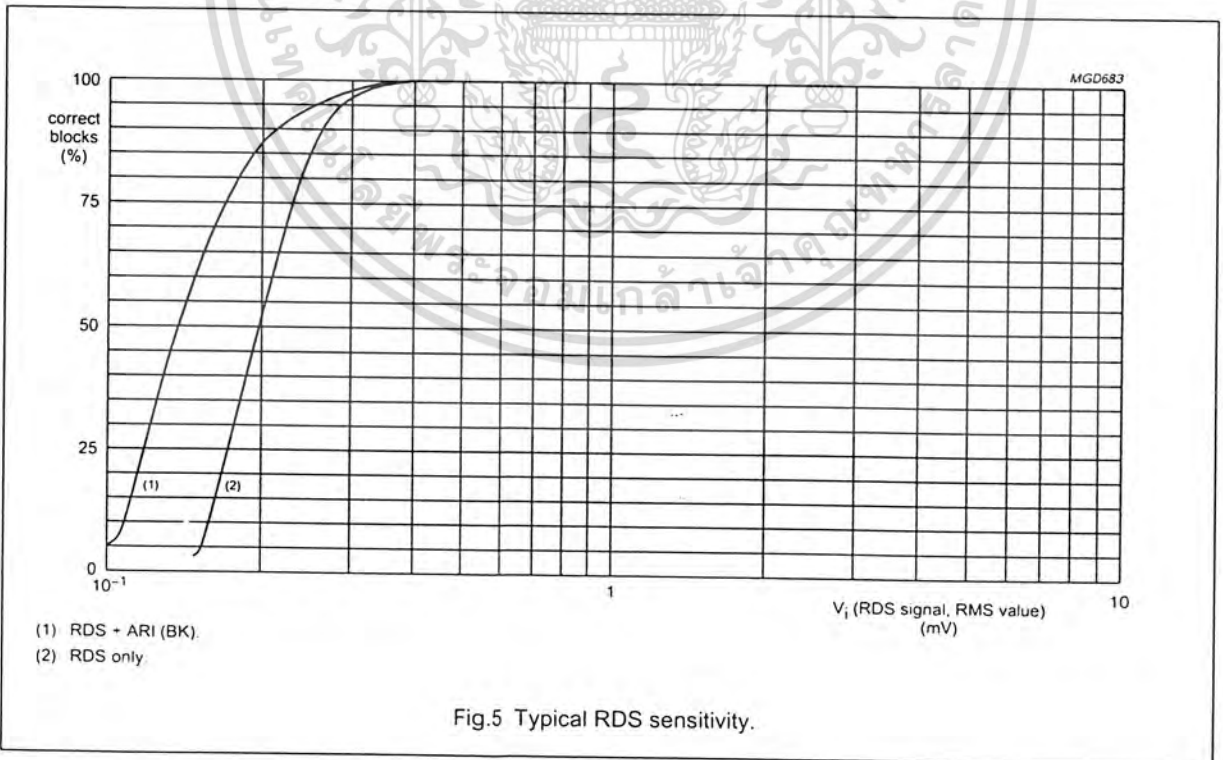


Fig.5 Typical RDS sensitivity.

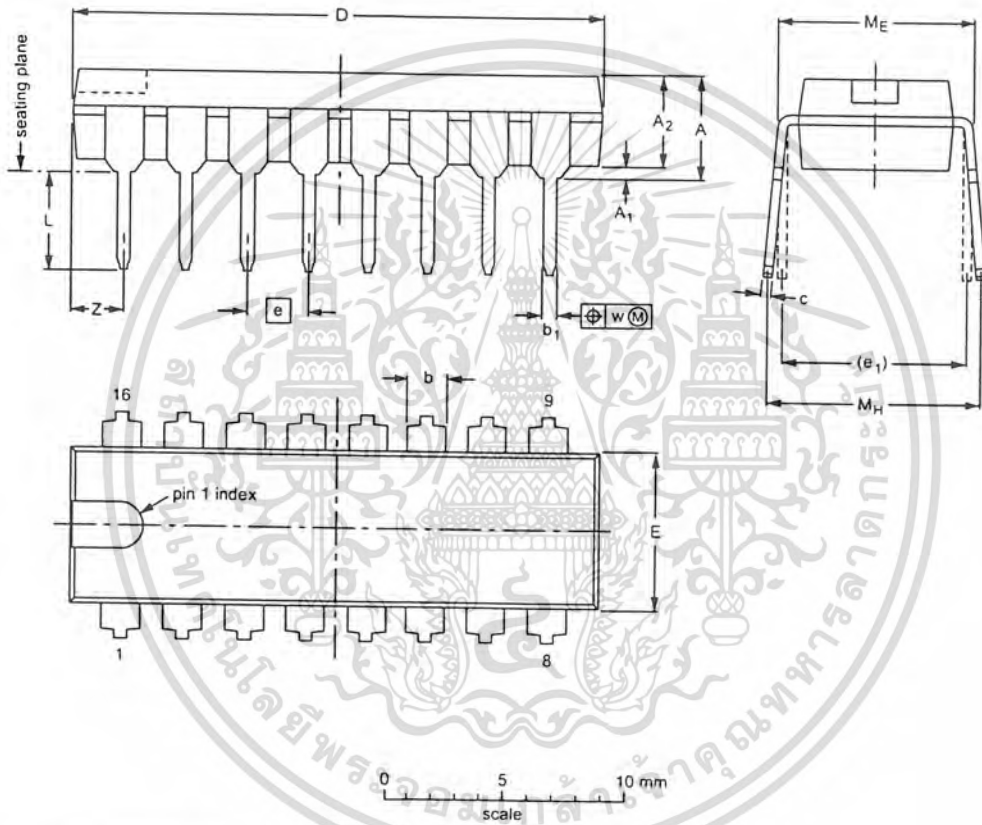
Radio Data System (RDS) demodulator

SAA6579

PACKAGE OUTLINES

DIP16: plastic dual in-line package; 16 leads (300 mil); long body

SOT38-1



DIMENSIONS (inch dimensions are derived from the original mm dimensions)

UNIT	A max.	A1 min.	A2 max.	b	b1	c	D <sup>(1)</sup>	E <sup>(1)</sup>	e	e1	L	ME	MH	w	Z <sup>(1)</sup> max.
mm	4.7	0.51	3.7	1.40 1.14	0.53 0.38	0.32 0.23	21.8 21.4	6.48 6.20	2.54	7.62	3.9 3.4	8.25 7.80	9.5 8.3	0.254	2.2
inches	0.19	0.020	0.15	0.055 0.045	0.021 0.015	0.013 0.009	0.86 0.84	0.26 0.24	0.10	0.30	0.15 0.13	0.32 0.31	0.37 0.33	0.01	0.087

Note

1. Plastic or metal protrusions of 0.25 mm maximum per side are not included.

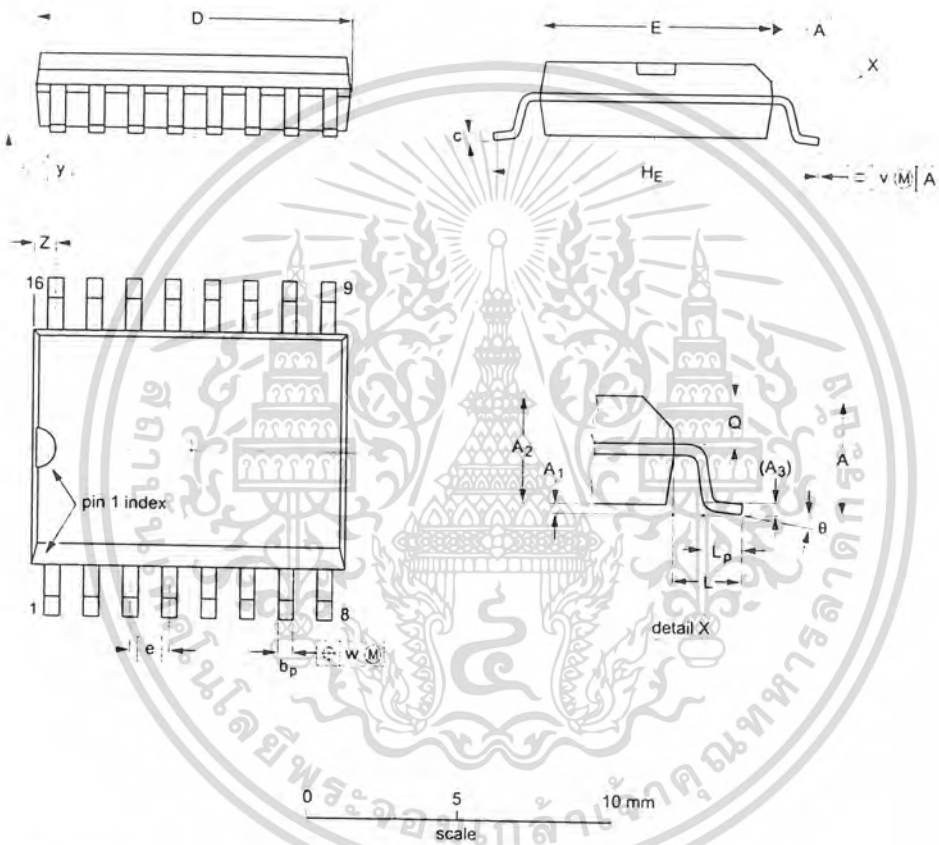
OUTLINE VERSION	REFERENCES				EUROPEAN PROJECTION	ISSUE DATE
	IEC	JEDEC	EIAJ			
SOT38-1	050G09	MO-001AE				92-10-02 95-01-19

Radio Data System (RDS) demodulator

SAA6579

SO16: plastic small outline package; 16 leads; body width 7.5 mm

SOT162-1



DIMENSIONS (inch dimensions are derived from the original mm dimensions)

UNIT	A max.	A <sub>1</sub>	A <sub>2</sub>	A <sub>3</sub>	b <sub>p</sub>	c	D <sup>(1)</sup>	E <sup>(1)</sup>	e	H <sub>E</sub>	L	L <sub>p</sub>	Q	v	w	y	Z <sup>(1)</sup>	θ
mm	2.65	0.30 0.10	2.45 2.25	0.25	0.49 0.36	0.32 0.23	10.5 10.1	7.6 7.4	1.27	10.65 10.00	1.4	1.1 0.4	1.1 1.0	0.25	0.25	0.1	0.9 0.4	8° 0°
inches	0.10	0.012 0.004	0.096 0.089	0.01	0.019 0.014	0.013 0.009	0.41 0.40	0.30 0.29	0.050	0.42 0.39	0.055	0.043 0.016	0.043 0.039	0.01	0.01	0.004	0.035 0.016	

Note  
1. Plastic or metal protrusions of 0.15 mm maximum per side are not included.

OUTLINE VERSION	IEC	JEDEC	REFERENCES	EIAJ	EUROPEAN PROJECTION	ISSUE DATE
SOT162-1	075E03	MS-013AA				92-11-17 95-01-24

เอกสารนี้เป็นเอกสารที่สงวนไว้สำหรับการใช้งานเพื่อการศึกษาเท่านั้น ไม่อนุญาตให้นำไปใช้ประโยชน์ด้านการค้า ไม่ว่ากรณีใดๆ ทั้งสิ้น อีกทั้งห้ามมิให้ตัดแปลงเนื้อหา และต้องอ้างอิงถึงเจ้าของเอกสารทุกครั้งที่มีการนำไปใช้

## Radio Data System (RDS) demodulator

SAA6579

**SOLDERING****Introduction**

There is no soldering method that is ideal for all IC packages. Wave soldering is often preferred when through-hole and surface mounted components are mixed on one printed-circuit board. However, wave soldering is not always suitable for surface mounted ICs, or for printed-circuits with high population densities. In these situations reflow soldering is often used.

This text gives a very brief insight to a complex technology. A more in-depth account of soldering ICs can be found in our "IC Package Databook" (order code 9398 652 90011).

**DIP****SOLDERING BY DIPPING OR BY WAVE**

The maximum permissible temperature of the solder is 260 °C; solder at this temperature must not be in contact with the joint for more than 5 seconds. The total contact time of successive solder waves must not exceed 5 seconds.

The device may be mounted up to the seating plane, but the temperature of the plastic body must not exceed the specified maximum storage temperature ( $T_{stg\ max}$ ). If the printed-circuit board has been pre-heated, forced cooling may be necessary immediately after soldering to keep the temperature within the permissible limit.

**REPAIRING SOLDERED JOINTS**

Apply a low voltage soldering iron (less than 24 V) to the lead(s) of the package, below the seating plane or not more than 2 mm above it. If the temperature of the soldering iron bit is less than 300 °C it may remain in contact for up to 10 seconds. If the bit temperature is between 300 and 400 °C, contact may be up to 5 seconds.

**SO****REFLOW SOLDERING**

Reflow soldering techniques are suitable for all SO packages.

Reflow soldering requires solder paste (a suspension of fine solder particles, flux and binding agent) to be applied to the printed-circuit board by screen printing, stenciling or pressure-syringe dispensing before package placement.

Several techniques exist for reflowing; for example, thermal conduction by heated belt. Dwell times vary between 50 and 300 seconds depending on heating method. Typical reflow temperatures range from 215 to 250 °C.

Preheating is necessary to dry the paste and evaporate the binding agent. Preheating duration: 45 minutes at 45 °C.

**WAVE SOLDERING**

Wave soldering techniques can be used for all SO packages if the following conditions are observed:

- A double-wave (a turbulent wave with high upward pressure followed by a smooth laminar wave) soldering technique should be used.
- The longitudinal axis of the package footprint must be parallel to the solder flow.
- The package footprint must incorporate solder thieves at the downstream end.

During placement and before soldering, the package must be fixed with a droplet of adhesive. The adhesive can be applied by screen printing, pin transfer or syringe dispensing. The package can be soldered after the adhesive is cured.

Maximum permissible solder temperature is 260 °C, and maximum duration of package immersion in solder is 10 seconds, if cooled to less than 150 °C within 6 seconds. Typical dwell time is 4 seconds at 250 °C.

A mildly-activated flux will eliminate the need for removal of corrosive residues in most applications.

**REPAIRING SOLDERED JOINTS**

Fix the component by first soldering two diagonally-opposite end leads. Use only a low voltage soldering iron (less than 24 V) applied to the flat part of the lead. Contact time must be limited to 10 seconds at up to 300 °C. When using a dedicated tool, all other leads can be soldered in one operation within 2 to 5 seconds between 270 and 320 °C.

## Radio Data System (RDS) demodulator

SAA6579

## DEFINITIONS

<b>Data sheet status</b>	
Objective specification	This data sheet contains target or goal specifications for product development.
Preliminary specification	This data sheet contains preliminary data; supplementary data may be published later.
Product specification	This data sheet contains final product specifications.
<b>Limiting values</b>	
Limiting values given are in accordance with the Absolute Maximum Rating System (IEC 134). Stress above one or more of the limiting values may cause permanent damage to the device. These are stress ratings only and operation of the device at these or at any other conditions above those given in the Characteristics sections of the specification is not implied. Exposure to limiting values for extended periods may affect device reliability.	
<b>Application information</b>	
Where application information is given, it is advisory and does not form part of the specification.	

## LIFE SUPPORT APPLICATIONS

These products are not designed for use in life support appliances, devices, or systems where malfunction of these products can reasonably be expected to result in personal injury. Philips customers using or selling these products for use in such applications do so at their own risk and agree to fully indemnify Philips for any damages resulting from such improper use or sale.

### Features

- For FM IF Amplifier Applications in High-Fidelity, Automotive, and Communications Receivers
- Includes: IF Amplifier, Quadrature Detector, AF Pre-amplifier, and Specific Circuits for AGC, AFC, Muting (Squelch), and Tuning Meter
- Exceptional Limiting Sensitivity at -3dB Point. . . . . 12 $\mu$ V (Typ)
- Low Distortion: (with Double-Tuned Coil). . . . . 0.1% (Typ)
- Single-Coil Tuning Capability
- High Recovered Audio. . . . . 400mV (Typ)
- Provides Specific Signal for Control of Interchannel Muting (Squelch)
- Provides Specific Signal for Direct Drive of a Tuning Meter
- Provides Delayed AGC Voltage for RF Amplifier
- Provides a Specific Circuit for Flexible AFC
- Internal Supply-Voltage Regulators

### Description

Intersil CA3089 is a monolithic integrated circuit that provides all the functions of a comprehensive FM-IF system. The block diagram shows the CA3089 features, which include a three-stage FM-IF amplifier/limiter configuration with level detectors for each stage, a doubly-balanced quadrature FM detector and an audio amplifier that features the optional use of a muting (squelch) circuit.

The advanced circuit design of the IF system includes desirable deluxe features such as delayed AGC for the RF tuner, and AFC drive circuit, and an output signal to drive a tuning meter and/or provide stereo switching logic. In addition, internal power supply regulators maintain a nearly constant current drain over the voltage supply range of +8.5V to +16V.

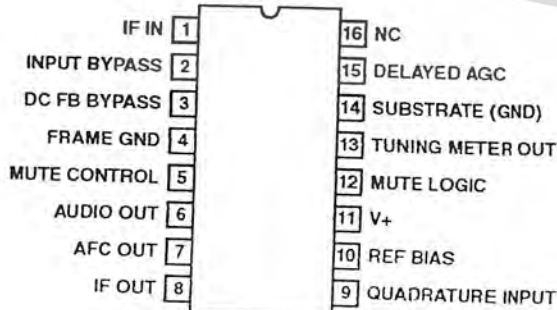
The CA3089 is ideal for high-fidelity operation. Distortion in a CA3089 FM-IF System is primarily a function of the phase linearity characteristic of the outboard detector coil.

### Ordering Information

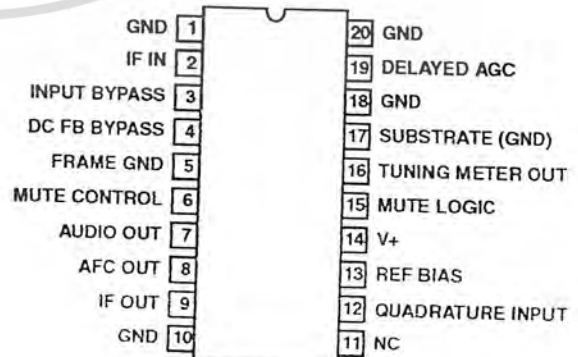
PART NUMBER (BRAND)	TEMP. RANGE (°C)	PACKAGE	PKG. NO.
CA3089E	-40 to 85	16 Ld PDIP	E16.3
CA3089M1 (3089M)	-40 to 85	20 Ld SOIC	M20.3

### Pinout

CA3089 (PDIP) TOP VIEW



CA3089 (SOIC) TOP VIEW



**Absolute Maximum Ratings**

Supply Voltage	
Between V+ and Frame GND	16V
Between V+ and Substrate GND	16V
DC Current (Out of Delayed AGC)	2mA

**Operating Conditions**

Temperature Range	-40°C to 85°C
-------------------	---------------

**Thermal Information**

Thermal Resistance (Typical, Note 1)	$\theta_{JA}$ (°C/W)
PDIP Package	90
SOIC Package	80
Maximum Junction Temperature (Plastic Package)	150°C
Maximum Storage Temperature Range	-65°C to 150°C
Maximum Lead Temperature (Soldering 10s)	300°C (SOIC - Lead Tips Only)

*CAUTION: Stresses above those listed in "Absolute Maximum Ratings" may cause permanent damage to the device. This is a stress only rating and operation of the device at these or any other conditions above those indicated in the operational sections of this specification is not implied.*

**NOTE:**

1.  $\theta_{JA}$  is measured with the component mounted on an evaluation PC board in free air.

**Electrical Specifications** V+ = 12V (See Figures 3 and 4)

(NOTE 3) PARAMETER	TEST CONDITIONS	TEMP. (°C)	MIN	TYP	MAX	UNITS
<b>DC CHARACTERISTICS</b>						
Quiescent Circuit Current	No signal input, Non muted	25	16	23	30	mA
DC Voltages	Terminal 1 (IF Input)	25	1.2	1.9	2.4	V
	Terminal 2 (AC Return to Input)	25	1.2	1.9	2.4	V
	Terminal 3 (DC Bias to Input)	25	1.2	1.9	2.4	V
	Terminal 6 (Audio Output)	25	5.0	5.6	6.0	V
	Terminal 10 (DC Reference)	25	5.0	5.6	6.0	V
<b>DYNAMIC CHARACTERISTICS</b>						
Input Limiting Voltage (-3dB point), $V_1$ (lim)	-	25	-	12	25	$\mu$ V
AM Rejection (Terminal 6), AMR	$V_{IN} = 0.1V$ , AM Mod. = 30%	25	45	55	-	dB
Recovered AF Voltage (Terminal 6) $V_O$ (AF)	$V_{IN} = 0.1V$	25	300	400	500	mV
Total Harmonic Distortion, THD (Note 2)	Single Tuned (Terminal 6)	25	-	0.5	1.0	%
	Double Tuned (Terminal 6)	25	-	0.1	-	%
Signal Plus Noise to Noise Ratio (Terminal 6)	-	25	60	67	-	dB

**NOTES:**

2. THD characteristics are essentially a function of the phase characteristics of the network connected between Terminals 8, 9, and 10.
3. Terminal numbers refer to 16 Lead PDIP.

**Application Information**

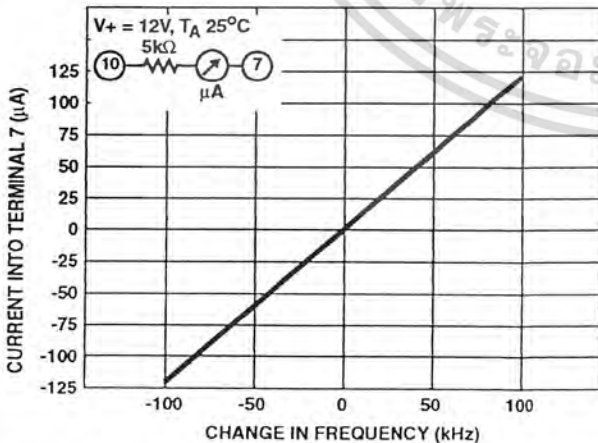


FIGURE 1. AFC CHARACTERISTICS (CURRENT AT TERMINAL 7) vs CHANGE IN FREQUENCY. (SEE TEST CIRCUIT FIGURE 3.)

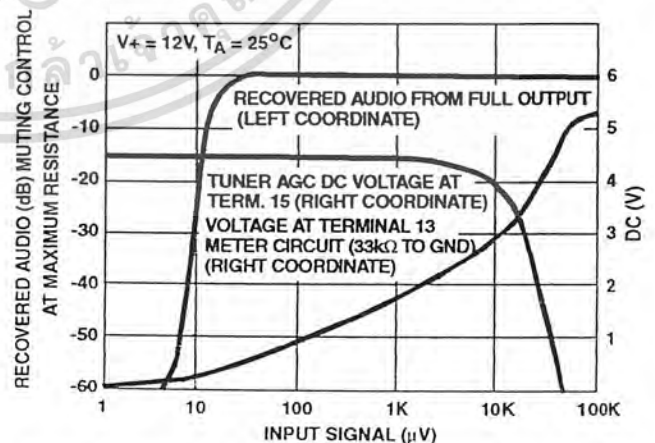
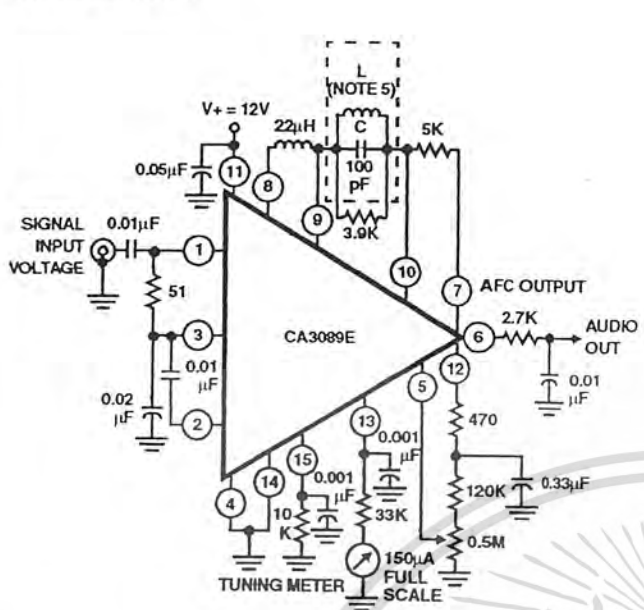


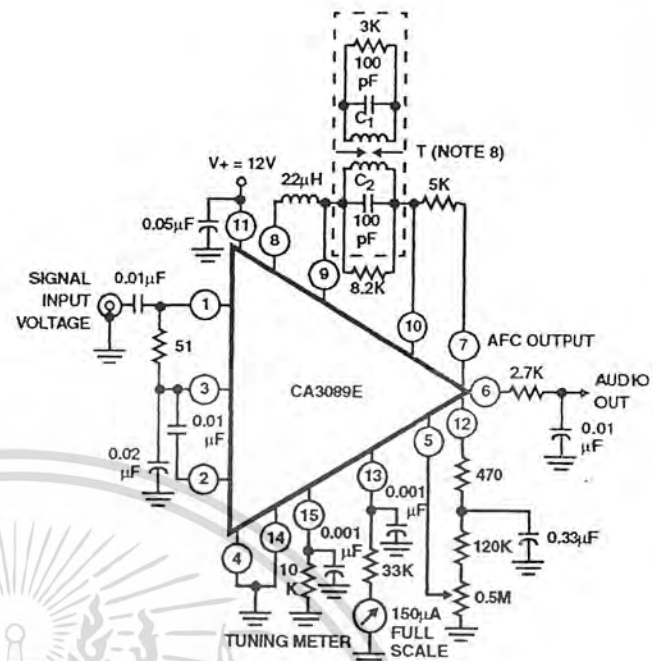
FIGURE 2. MUTING ACTION, TUNER AGC, AND TUNING METER OUTPUT vs INPUT SIGNAL VOLTAGE. (SEE TEST CIRCUIT FIGURE 3.)

Test Circuits



NOTES:

4. All resistance values are in ohms.
5. L tunes with 100pF (C) at 10.7MHz.
6.  $Q_0$  (unloaded)  $\cong 75$  (G.I. Automatic Mfg. Div. EX22741 or equivalent).



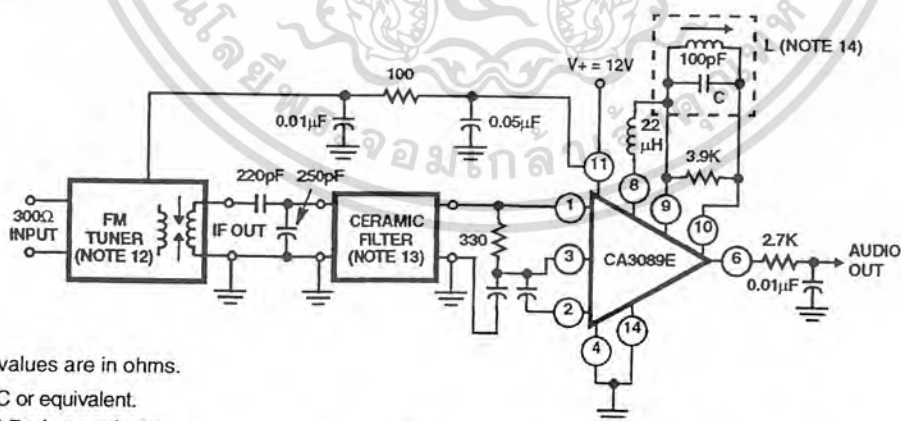
NOTES:

7. All resistance values are in ohms.
  8. T PRI. -  $Q_0$  (unloaded)  $\cong 75$  (tunes with 100pF ( $C_1$ ) 20 $\uparrow$  of 34e on 7/32" dia. form).
  9. SEC. -  $Q_0$  (unloaded)  $\cong 75$  (tunes with 100pF ( $C_2$ ) 20 $\uparrow$  of 34e on 7/32" dia. form).
  10. kQ (percent of critical coupling)  $\cong 70\%$ .  
(Adjusted for coil voltage  $V_C$ ) = 150mV.
- Above values permit proper operation of mute (squench) circuit "E" type slugs, spacing 4mm.

FIGURE 3. TEST CIRCUIT FOR CA3089E USING A SINGLE-TUNED DETECTOR COIL

FIGURE 4. TEST CIRCUIT FOR CA3089E USING A DOUBLE-TUNED DETECTOR COIL

Typical Applications



NOTES:

11. All resistance values are in ohms.
12. Waller 4SN3FIC or equivalent.
13. Murata SFG 10.7mA or equivalent.
14. L tunes with 100pF (C) at 10.7MHz  $Q_0$  unloaded  $\cong 75$  (G.I. EX22741 or equivalent).

Performance Data at  $f_0 = 98\text{MHz}$ ,  $f_{\text{MOD}} = 400\text{Hz}$ , Deviation =  $\pm 75\text{kHz}$ :

-3dB Limiting Sensitivity	.....	2µV (Antenna Level)
20dB Quieting Sensitivity	.....	1µV (Antenna Level)
30dB Quieting Sensitivity	.....	1.5µV (Antenna Level)

FIGURE 5. TYPICAL FM TUNER USING THE CA3089E WITH A SINGLE TUNED DETECTOR COIL